

Депозитарий

В. В. ПОДАРЕВ,

профессор Петровской С.-Х. Академии

ff 626
14:

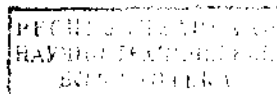


ГИДРОТЕХНИЧЕСКИЕ СООРУЖЕНИЯ

I

ПЛОТИНЫ

Выпуск I



Издательство Наркомзема „НОВАЯ ДЕРЕВНЯ”

Москва — 1923

1305535 №12395

ПРЕДИСЛОВИЕ.

Настоящий курс предназначается, главным образом, служить пособием для студентов мелиоративной секции Инженерного Отделения Петровской Сельско-Хозяйственной Академии при проектировании ими основных гидротехнических сооружений—плотин и каналов.

Часть курса, относящуюся к плотинам, предполагается разделить на шестнадцать глав, которые будут выходить четырьмя отдельными выпусками, а описанию и проектированию сооружений на каналах будет уделено шесть глав в двух последних выпусках.

Таким образом весь материал курса разбит на шесть выпусков с подразделением на 22 нижеследующих, самостоятельных и вполне законченных глав:

1. Задвижные плотинные затворы с поступательным движением.
2. Поворотные затворы с горизонтальной осью вращения.
3. Затворы прочих типов.
4. Автоматические затворы.
5. Механизмы для маневрирования затворами.
6. Деревянные шлюзы.
7. Каменные "
8. Железобетонные."
9. Шлюзы с подвижными промежуточными опорами (системы *Поаре* и *Тавернье*).
10. Деревянные плотины.
11. Земляные "

12. Каменные плотины.
13. Железобетон. „
14. Общее расположение составных частей плотин; рыбопроходы в плотинах.
15. Стоимость устройства плотин.
16. Выбор конструкции плотины.
17. Открытые каналы с укрепленными откосами.
18. „ „ с укрепленным дном; перепады на каналах.
19. Открытые каналы с укрепленными откосами и дном; акведуки на каналах.
20. Трубопроводы на каналах.
21. Тоннели на каналах.
22. Стоимость устройства каналов и выбор конструкции.

Числа 5, 10, 25, 50, 100, 250 и т. д., поставленные около номеров чертежей в атласе, выражают, в какую долю натуральной величины вычерчен соответствующий чертеж, а для обозначения метров, как в атласе, так и в тексте курса, принят значек —

Считаю своим приятным долгом выразить глубокую благодарность за содействие изданию курса: Опытно-мелиоративному Отделу Управления Водного Хозяйства и Мелиораций Наркомзема, Книгоиздательству студентов Петровской Сельско-Хозяйственной Академии и преподавателю Академии при кафедре общей гидротехники инженер-агроному К. В. Попову, принимающему деятельное участие в подготовке издания.

Константином Викторовичем выполнено большинство чертежей, помещенных в тексте книги, и под его руководством произведен расчет 2 типовых конструкций, приводимых в виде примеров в первом выпуске курса.

Проф. В. Подарев.

Москва.
Петровско-Разумовское.
Сентябрь 1921 г.

ПЛОТИНЫ.

Название плотины дается в курсе всякому сооружению в виде стены из того или другого материала, поставленной поперек естественного или искусственного русла водного потока для того, чтобы поднимать уровень воды в потоке на определенную высоту и поддерживать его на этой высоте в течение более или менее продолжительного промежутка времени.

Плотины, устроенные, главным образом, для образования водохранилищ, называются водоудержательными, а для подъема уровня воды—водоподъемными.

Плотины устраиваются:

- 1) с пропускными целями;
- 2) на осушительных каналах;
- 3) для водоснабжения населенных местностей;
- 4) для работы водяных двигателей;
- 5) с судоходными целями;

Водопропускные отверстия в плотине с затворами для регулирования расхода воды в потоке называются шлюзами.

Плотина без водопропускных отверстий называется глухой.

Конструкция плотинных затворов не зависит от материала и способа устройства остальных частей плотины, а потому изложение курса возможно начать с рассмотрения этих, очень важных и по большей части самых сложных, притом более поддающихся статическим расчетам, а потому наиболее разработанных частей гидroteхнических сооружений, при чем в первой главе курса описываются конструкции и расчет задвижных затворов.

I. Задвижные плотинные затворы.

Задвижные затворы делаются из дерева, железа или стали и чугуна.

Деревянные затворы применяются в виде щитов из сплошных между собою горизонтальных брусьев или досок, упирающихся концами в пазы или четверти, устроенные в боковых ограничениях плотинных водопропускных отверстий. Хотя давление воды на отдельные доски возрастает к низу щита и верхние доски могли бы быть тоньше, чем нижние, но обыкновенно щиты делаются из досок или брусьев одной и той же толщины по высоте щита, потому что при таком устройстве удешевляется работа, вследствие упрощения конструкции, хотя материала идет больше, чем для изготовления затвора из досок, точно рассчитанных по приходящему на них давлению воды.

При расчетном пролете щита = l метр., напоре воды над нижней кромкой щита = h метров, ширине доски = b метр. и весе 1 куб. мет. воды = Δ тонны, давление воды на нижнюю доску щита будет $P = h \cdot b \cdot l \cdot \Delta$, и наибольший изгибающий момент для доски, рассматриваемой как балка, свободно лежащая на двух опорах, будет по середине пролета $M = \frac{P \cdot l}{8} = \frac{h \cdot b \cdot l^2 \cdot \Delta}{8}$ и так как $M = k \cdot W$, где k —допускаемое напряжение на изгиб для материала доски, в тоннах на кв. м., и W —момент сопротивления доски, равный $\frac{b \cdot e^2}{6}$, в куб. мет., где e толщина доски в мет., то $\frac{h \cdot b \cdot l^2 \cdot \Delta}{8} = \frac{k \cdot b \cdot e^2}{6}$; откуда $4 \cdot k \cdot e^2 = 3 \cdot h \cdot l^2 \cdot \Delta$ и $e = l \sqrt{\frac{3 \cdot h \cdot \Delta}{4 \cdot k}}$; при $\Delta = 1$ тонне, а $k = 60$ кил. на кв. сант. = 600 тонн на кв. мет. (сосна), получим $e = \frac{l \sqrt{h}}{28}$.

Для плотинных затворов деревянные доски тоньше 5 сант. не применяются.

Сила P , необходимая для подъема или опускания вертикального задвижного затвора весом Q , находящегося под давлением воды F , определяется по формуле $P = F \cdot f + Q$, где f —коэффициент трения скольжения и знак + относится к случаю подъема затвора, а знак — опускания.

Так как для трения железа по железу f принимается равным 0,5, между тем как для трения дерева по дереву $f=0,7$, то для уменьшения силы P деревянные скользящие затворы оббивают по концам железом (ч.ч. 2, 5, 6, 12, 19 и 20).

Кроме того, самое сплачивание деревянных щитов производится при помощи железных полос в виде обойм, парных скваток и т. п. (ч.ч. 2—21).

Ч. 1. Из трех досок, шириной 0,27⁻, толщиной 0,05⁻, соединенных в шпунт и скрепленных при помощи двух планок шириной 0,15⁻, толщиной 0,03⁻, оканчивающихся вверху ручками для подъема щита.

Ч. 2. Из восьми досок шириной 0,29⁻, толщиной 0,065⁻, обшитых по концам листовым железом толщиной 0,007⁻, загнутым по обе стороны щита на 0,075⁻, и усиленных посередине пролета парной скваткой из железных полос шириной 0,12⁻, толщиной 0,007⁻, к которым сверху при помощи двух накладок прикреплена подъемная тяга из круглого железа диаметром 0,06⁻.

Ч. 3. Три доски шириной 0,30⁻, толщиной 0,06⁻, соединенные в закрой, скреплены с верховой стороны двумя шпонками и, кроме того, двумя железными полосами, соединяющимися вверху в одну полосу, сбояченную с подъемною тягою из брускового железа 0,05⁻×0,035⁻.

Ч. 4. Три доски средней шириной 0,23⁻, толщиной 0,08⁻ соединены в закрой и скреплены с верховой стороны щита двумя шпонками и парой железных полос 0,06⁻×0,013⁻, врезанных в доски и загнутых концами по другую сторону щита. Каждая полоса кончается вверху кольцом для подъемной цепи.

Ч. 5. Четыре доски 0,25⁻×0,075⁻, на шипах, скреплены с верховой стороны парой наклонных железных полос 0,07⁻×0,01⁻, соединенных вверху, посередине пролета, в виде скобы для подъемной цепи, а с низовой двумя вертикальными уголками 0,080⁻×0,080⁻×0,010⁻ по краям щита (система Булл).

Ч. 6. Щит состоит из шести досок 0,23⁻×0,075⁻, соединенных шипами и скрепленных с верховой стороны двумя уголками 0,087⁻×0,076⁻×0,013⁻, продолжающимися вверх в виде тяг для подъема затвора, и окаймлен с низовой стороны полосовым железом 0,10⁻×0,013⁻.

Ч. 7. Щит сплочен из трех досок $0,20 \times 0,05$ при помощи пары планок и двух наклонных железных полос, оканчивающихся вверху, посередине пролета, проушиной для прикрепления подъемной тяги.

Ч. 8. Щит из семи досок, сплоченных при помощи двух пар наклонных схваток из железных полос, соединенных наверху, посередине пролета, с подъемной тягой, и двух планок по краям щита с прикрепленными к ним кольцами для подъемных цепей.

Ч. 9. Верхняя часть затвора шарнирно соединена с нижней и, благодаря особому устройству пазов, выйдя из воды, откладывается вниз, вследствие чего возможно уворотить винтовой стержень, посредством которого производится подъем и опускание затвора.

Ч. 10. Щит состоит из бруса $0,20 \times 0,20$, скошенного для плотного закрывания затвора, соответственно скосу у выступа каменной кладки шлюза над водопропускным отверстием, и семи досок $0,34 \times 0,13$, соединенных между собою шипами и скрепленных двумя наклонными железными полосами $0,12 \times 0,03$, сходящимися вверху посередине пролета и сбоченными с широкой обоймой (1), к которой прикреплена подъемная тяга (2) из круглого железа $d = 0,05$. По краям затвора кольца (3,3), скрепленные со щитом узкими обоймами из полосового железа $0,08 \times 0,013$, высотою по $0,54$.

Ч. 11. Верхняя часть затвора соединяется с нижней при помощи двух штырей, вставляемых в соответствующие проушины; когда для пропуска воды достаточно поднять только верхний щит, то вынимают штыри из их гнезд. Каждый щит состоит из трех досок $0,26 \times 0,04$, скрепленных двумя обоймами из полосового железа.

Ч. 12. Четыре доски $0,25 \times 0,08$, соединенных шипами, оббиты по концам полосовым железом и, кроме того, скреплены изогнутой железной полосой с проушиной наверху, посередине пролета, для прикрепления подъемной тяги.

Ч. 13. Из четырех брусьев $0,23 \times 0,14$, соединенных в закрой и скрепленных у каждого края щита шпонкой и железной полосой, оканчивающейся крюком для подъемной цепи.

Ч. 14. По краям щита имеются захваты для подъемных цепей, как в осевой продольной плоскости (1—1), так и с

обеих сторон от нее, для облегчения подъема затвора в случае его перекашивания.

Ч. 15. Затвор состоит по высоте из двух частей, сплачиваемых при помощи шарнирных захватов (1,1); обыкновенно поднимают только верхнюю часть затвора, оставляя нижнюю часть на месте, на дне шлюза, для того чтобы удерживать наносы от проникновения в канал, в голове которого находится шлюз. Верхний щит состоит из бруса (2) $0,20 \times 0,12$, скосенного, для плотного закрывания водопропускного отверстия, соответственно скосу в брусе (3), прикрепленном к лицевой стене шлюза, и шести досок $0,38 \times 0,06$, соединенных попарно шипами и скрепленных с верховой стороны тремя вертикальными брусками (4, 4, 4) $0,15 \times 0,08$ и двумя парами наклонных скваток (5,5) из полосового железа $0,07 \times 0,01$, сходящихся вверху, посередине пролета, где они при помощи накладки (6) скреплены с подъемной тягою (7) из полосового железа, $0,10 \times 0,025$; кроме того, по краям затвора имеется по кольцу (8) для подъемной цепи, прикрепленному к щиту при помощи обоймы (9) из полосового железа $0,06 \times 0,025$, высотой по $0,48$. Щит обрамлен железной полосой $0,06 \times 0,01$, станутой в двух местах по высоте щита поперечными полосами, пропущенными в стыках между досками.

Нижний щит, из двух досок, устроен подобным же образом.

Ч. 16. Затвор состоит по высоте из двух частей, могущих двигаться независимо одна от другой в особых пазах, при чем для пропуска малых расходов воды может работать как водослив, при опущенном верхнем щите; каждый щит состоит из трех досок $0,32 \times 0,075$, сплоченных при помощи обойм из полосового железа и планок.

Ч. 17. Из двух слоев досок, уложенных в одном слое горизонтально и в другом вертикально и усиленных посередине щита парой наклонных железных полос, скрепленных с подъемной тягой, и по краям двумя более короткими вертикальными железными полосами, каждая из которых оканчивается кольцом для подъемной цепи.

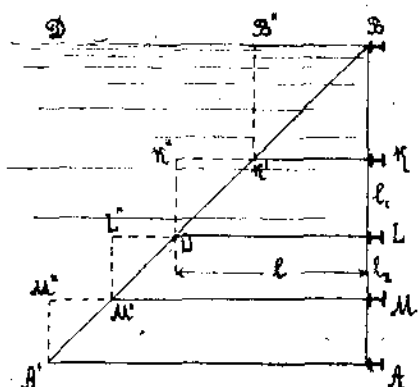
Ч. 18. Из пяти досок $0,26 \times 0,15$, соединенных в закрой и скрепленных двумя планками и парой железных по-

лос, каждая из которых оканчивается вверху крюком для подъемной цепи.

Ч. 19. Щит из восьми брусьев толщиной 0,14" и средней шириной 0,26", соединенных шипами и скрепленных шестью парами схваток из полосового железа 0,10" \times 0,013", из которых две средние, наклонно сходящиеся вверху посредние пролета, кончаются кольцом для подъемной цепи и по бокам у смежных схваток имеется еще по кольцу.

Ч. 20. Деталь обделки железом края деревянного щита и паза в стене каменного шлюза для уменьшения трения при подъеме затвора.

Ч. 21. Из шести брусьев 0,24 \times 0,10", соединенных вставными по длине досок шипами и скрепленных двумя парами схваток из полосового железа 0,07" \times 0,01", с болтахенных с подъемными тягами.



Черт. 1.

Железные затворы состоят из горизонтальных ребер, прикрепленных концами к вертикальным стойкам, и обшивки из листового железа, приклепанного к полкам ребер или, при большем расстоянии между последними, к промежуточным стойкам, скрепленным с ребрами.

Считая промежуточные стойки с обшивкой разрезанными балками, давление воды на отдельные ребра можно определить приближенно (что допустимо при малых расстояниях между ребрами), заменяя нагрузку на затвор AB по площади треугольника ABA' (BD) — уровень воды; Δ — вес одной кубической единицы воды принят равным единице; AB — вертикальна; $AA' \perp AB$ и $= AB$ (см. ч. 1 текста) нагрузкой по пунктирной ступенчатой линии

$$A'M''M'L''L'K''K'B''B,$$

при чем на каждое ребро придется $\frac{1}{2}$ нагрузки на два смежных пролета.

Точнее значение для давления на какое-нибудь ребро L равно сумме нагрузок L' и L'' , приходящихся на долю ребра L от нагрузок по трапециям $LKK'L'$ и $LMM'L'$ на пролеты $LK = l_1$ и $LM = l_2$.

Обозначив напор $BL = LL'$ через l , получим, беря момент силы L' и площади $LKK'L'$ относительно плоскости KK' :

$$L' = \frac{\frac{l_1 l_2 l_1}{2} - \frac{l_1^2 l_1}{6}}{l_1} = \frac{l_1(3l - l_1)}{6}$$

и подобным же образом

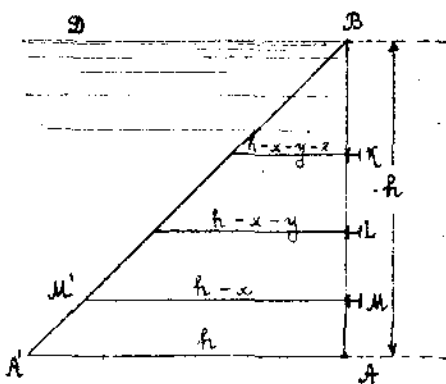
$$L'' = \frac{\frac{(l+l_2) l^2 l_2}{2} - \frac{l^2 l_2}{3}}{l_2} = \frac{l_2(3l + 3l_2 - 2l_1)}{6} = \frac{l_2(3l + l_2)}{6}.$$

Для упрощения конструкции затворов обычно берут все ребра одинакового размера по высоте щита, располагая их на таком расстоянии друг от друга, чтобы давление на возможно большее число ребер были равны между собою.

Для затвора без окаймляющих ребер (см. ч. 2 текста) можно подобрать расстояния между ребрами так, чтобы давления на все ребра были одинаковы.

Положим, что давление воды на вертикальный затвор AB высотою h , при уровне воды BD наравне с верхом затвора, желательно распределить поровну между тремя ребрами K , L и M .

На единицу длины каждого ребра должно передаваться: $\frac{h^2 \Delta}{2 \cdot 3} = (\text{при } \Delta = 1) \frac{h^2}{6} = T$. Помещаем нижнее ребро M на таком расстоянии x от A , чтобы площадь M_2 трапеции AA^1M^1M равнялась $z \cdot T$, где $z = \text{около } \frac{1}{2}$; расстояние $x = AM$ определится из условия: $h \cdot x - \frac{x^2}{2} = M_2$; от пролета LM на



Черт. 2.

ребро M должна передаваться нагрузка $M_1 = T - M_2$ и расстояние $LM = y$ между ребрами L и M определяется из уравнения

$$\frac{(h-x)y \cdot y}{2} - \frac{y^2}{2} \cdot \frac{y}{3} = M_1 y$$

откуда:

$$\frac{(h-x)y \cdot y}{2} - \frac{y^2}{6} = M_1.$$

На ребро L от пролета LM передается нагрузка

$$L_2 = (h-x)y - \frac{y^2}{2} - M_1$$

и от пролета KL на ребро L должна передаваться нагрузка $L_1 = T - L_2$, так что расстояние z между ребрами K и L должно удовлетворять условию

$$(h-x-y) \cdot z - \frac{z^2}{2} - \frac{z^2}{3} = L_1 \cdot z;$$

откуда:

$$\frac{(h-x-y)z - z^2}{2} - \frac{z^2}{6} = L_1;$$

от пролета KL на ребро K передается нагрузка

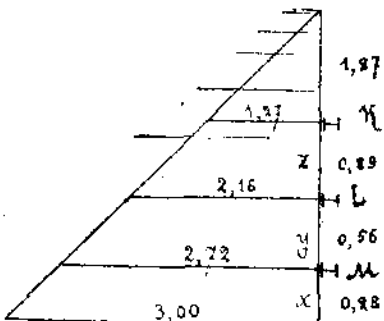
$$K_2 = (h-x-y) \cdot z - \frac{z^2}{2} - L_1$$

и, при верности вычислений, $K_2 + \frac{(h-x-y-z)^2}{2}$ должно равняться T .

Например, при вертикальном затворе высотою $h = 3,00$ и уровне воды наравне с верхом затвора, давление воды

на один метр длины щита $= \frac{h^2}{2} = 4,5$ тонны (см. ч. 3 текста).

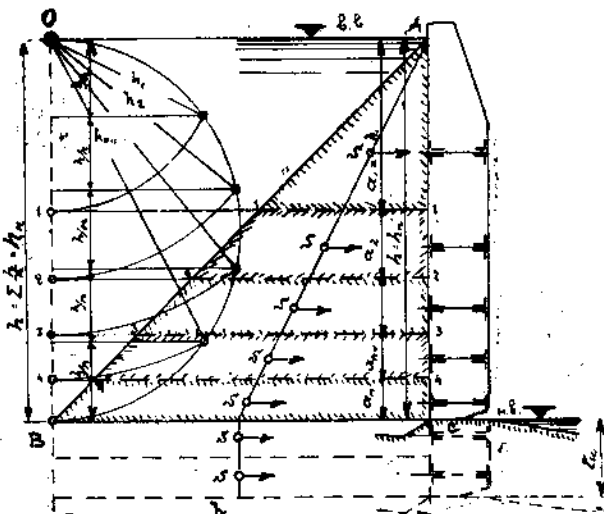
При трех ребрах $T = \frac{4,5}{3} = 1,5t$; принимаем $M_2 = w = 0,8t$; $3x - \frac{x^2}{2} = 0,80$; $x^2 - 6x + 1,60 = 0$; $x = 3,00 - \sqrt{9,00 - 1,60} = 3,00 - \sqrt{7,40} = 3,00 - 2,72 = 0,28$; $M_1 = 1,50 - 0,80 = 0,70$;



Черт. 3.

$$\begin{aligned} \frac{2,72y}{2} - \frac{y^2}{6} &= 0,70; y^2 - 8,16y + 4,20 = 0; y = 4,08 - \sqrt{16,65 - 4,20} = \\ &= 4,08 - \sqrt{12,45} = 4,08 - 3,52 = 0,56; L_2 = (2,72 - 0,28) 0,56 = \\ &= 0,70 = 2,44 \times 0,56 - 0,70 = 1,37 - 0,70 = 0,67; L_1 = 1,50 - \\ &- 0,67 = 0,83; 2,16 \cdot \frac{z}{2} - \frac{z^2}{6} = 0,83; z^2 - 6,48 \cdot z + 4,98 = 0; \\ z &= 3,24 - \sqrt{10,50 - 4,98} = 3,24 - \sqrt{5,52} = 3,24 - 2,35 = 0,89. \\ K_2 &= (2,16 - 0,45) 0,89 - 0,83 = 1,71 \times 0,89 - 0,83 = 1,52 - \\ &- 0,83 = 0,69; K_1 = \frac{1,27^2}{2} = \frac{1,61}{2} = 0,80; K_1 + K_2 = 0,80 + 0,69 = \\ &= 1,49 = 1,50. \end{aligned}$$

Другой способ решения задачи заключается в том, что ребра помещают против центров тяжести равновеликих пло-



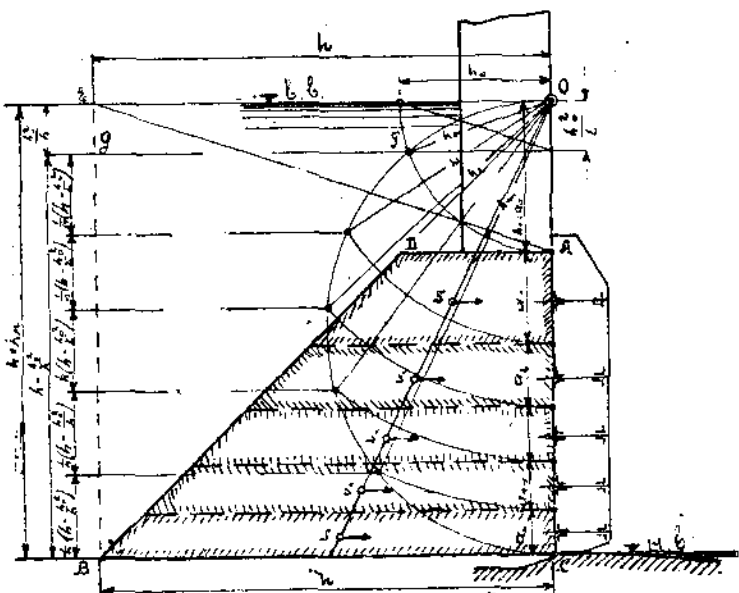
Черт. 4.

щадей, на которые разбивают площадь треугольника или трапеции, соответствующих полному давлению воды на затвор (см. ч. 4 текста).

Если $AC = h$ есть напор, под которым находится вертикальный затвор, то при BC , перпендикулярном к AC и равном AC , площадь треугольника ABC представит давление воды на щит, у которого должно быть, положим, n равно напряженных ребер. Отложим на перпендикуляре к BC отрезок $BO = AC$ и разделим его на n равных частей; из точек деления восставим перпендикуляры к BO до встречи с

полуокружностью, описанной на BO , как на диаметре, и засечем этот диаметр из точки O радиусами, равными хордам h_1, h_2, \dots, h_n ; перпендикуляры $11, 22, 33$, восставленные к OB из точек засечек, разделят площадь треугольника ABC на n равновеликих частей, потому что по свойству хорды — быть средней пропорциональной между всем диаметром и прилегающим отрезком, $h_1^2 = h \times \frac{h}{n} = \frac{h^2}{n}$ и площадь треугольника $A11$, равная $\frac{h_1^2}{2} = \frac{h^2}{2n} = \frac{h^2}{2n}$, т.-е. одной n -ой доли площади треугольника ABC . Площадь треугольника

$$A\ 22 = \frac{h_2^2}{2} = \frac{h \times \frac{2h}{n}}{2} = \frac{2h^2}{2n},$$



Черт. 5.

т.-е. двум n -ым долям площади треугольника ABC , так что площадь трапеции 1122 тоже равна одной n -ой доли площади треугольника ABC и т. д.

Если давление воды на вертикальный затвор AC выражается площадью трапеции $ACBD$ при уровне воды в OE (см. ч. 5 текста), то, описав на OC , как на диаметре, полуокружность, засекаем ее из O радиусом $OA = h_0$ в точке F .

опускаем из F перпендикуляр FG на линию BE , параллельную CO и разделив за тем отрезок $BG = BE - FG = h - \frac{h_0^2}{h}$ на n равных частей, далее поступаем по предыдущему.

По этому способу, предполагающему обшивку щита как бы разрезанной по линиям 11, 22... раздела давлений, результаты получаются иные, чем по вышеизложенному способу. Например, при высоте затвора в 3 метра и трех ребрах расстояния для них от верха затвора получаются: по первому способу 1,27 \pm , 2,16 \pm , 2,72 \pm , а по только что изложенному: 1,15 \pm , 2,11 \pm , 2,74 \pm .

Если давление воды на 1 погонный метр ребра $= P$ и пролет ребра $= l$, то наибольший изгибающий момент по средине пролета будет $\frac{Pl^2}{8}$ и соответствующее поперечное сечение ребра определится по формуле $k \cdot W = \frac{Pl^2}{8}$, где k — допускаемое напряжение на растяжение и сжатие при изгибе, а W — момент сопротивления.

При переменном сечении ребра его размеры определяются по соответствующим моментам.

Для ребер берется: угловое железо (ч. 23), тавровое (ч. 23), двутавровое (ч. ч. 24, 45, 46, 50), зетовое (ч. ч. 25, 47), корытное (ч. ч. 25, 28, 47), клепанные двутавровые балки из 4-х уголков и листа (ч. ч. 26, 50), или из 4-х уголков и сквозной стенки (ч. ч. 27, 51, 52).

Опорные стойки делаются: из корытного железа (ч. ч. 23, 25, 27, 28, 40), из двутаврового железа (ч. ч. 45—50), из зетового (ч. 47), из листа и 2-х уголков (ч. ч. 24, 26, 46).

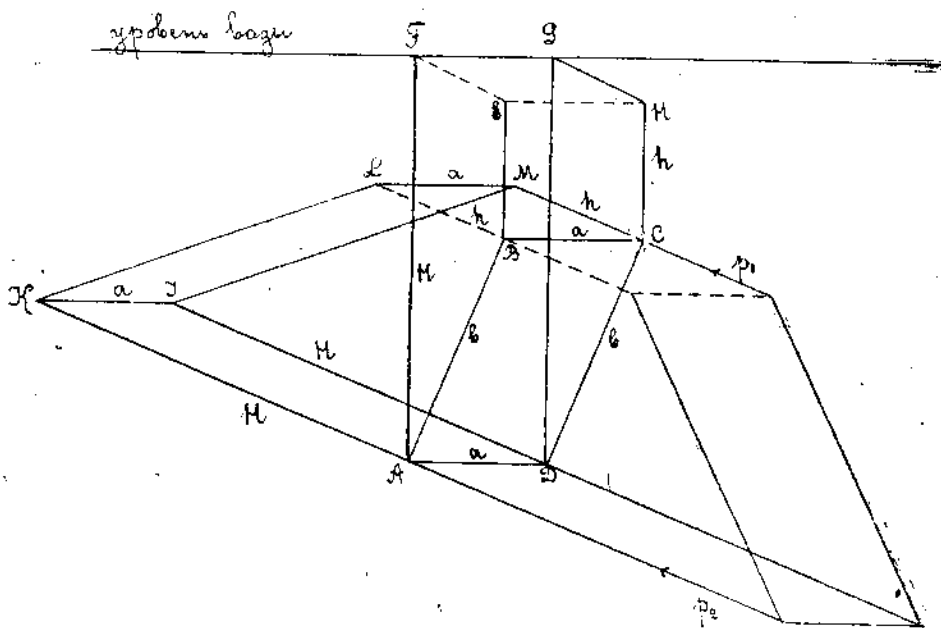
Для промежуточных стоек берется: корытное железо (ч. ч. 48, 50), тавровое (ч. 46), угловое (ч. 41).

Промежуточные стойки рассчитываются, смотря по конструкции, или как неразрезные балки (ч. 43), или как балки одним концом заделанные, или же как балки с полузаделанными концами.

Обшивка обыкновенно устраивается из листового железа и рассчитывается или как неразрезная балка с ступенчатой нагрузкой (см. ч. 1 текста), или как плита, равномерно нагруженная, по формуле:

$$c = \sqrt{\frac{\omega \cdot b^2 \cdot f}{2 k (1 + m^2)}},$$

где e толщина плиты, $m = \frac{b}{a}$, где b и a стороны плиты, k — допускаемое напряжение материала плиты на растяжение и сжатие при изгибе, p давление воды на 1 кв. единицу $\pi \varphi = 0,56 - 0,75$ для полного закрепления краев плиты и $\varphi = 1,13$ для свободно-лежащей плиты, и, наконец, как плита с нагрузкой по площади трапеции, не принимая во внимание закрепления заклепками, по формуле *Baum*, которая выводится следующим образом:



Черт. 6.

При ширине AD плиты $ABCD$ равной a , высоте AB равной b , напоре воды над верхней кромкой плиты H и нижней — h , давление воды P на плиту выразится весом водяной призмы $ABCDIKLM$: $\frac{(a \cdot b)(H + h)}{2}$, где π — вес единицы объема воды (см. ч. 6 текста).

Обозначив реакцию верхней кромки плиты на единицу длины a через p_1 и нижней — через p_2 (см. ч. 7 текста) и предположив, что реакции горизонтальных кромок плиты постоянны по длине их (по ширине плиты), а реакции верти-

кальных кромок (боковых) возрастают по закону прямой, увеличиваясь от верха до низа плиты, получим, приравнивая сумму реакций, действующих перпендикулярно к плите сил, полному давлению P на плиту.

$$p_1 a + p_2 a + \frac{(p_1 + p_2)b}{2} + \frac{(p_1 + p_2)b}{2} = \frac{(H + h)b}{2} \cdot a. \Delta$$

или:

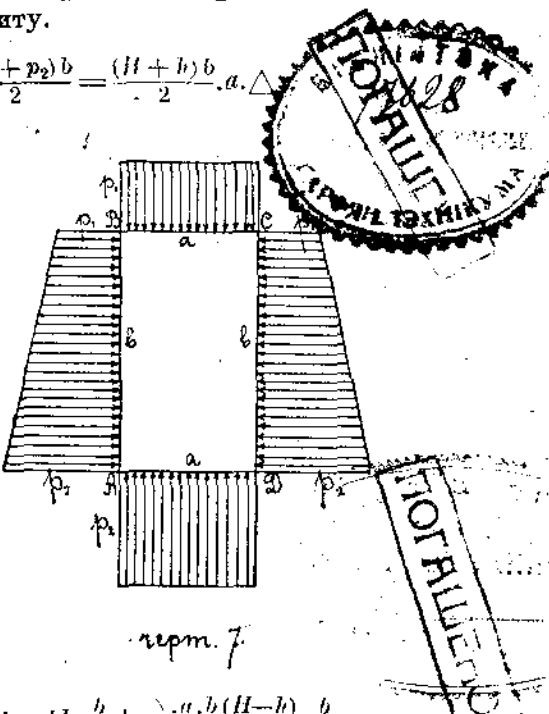
$$\begin{aligned} p_1 a + p_2 a + (p_1 + p_2)b &= \\ &= \frac{(H + h)b}{2} \cdot a. \Delta; \end{aligned}$$

или:

$$\begin{aligned} 2p_1(a+b) + 2p_2(a+b) &= \\ &= \Delta \cdot ab \cdot H + \Delta abh; \end{aligned}$$

преобразовывая, получим:

$$\begin{aligned} p_1(2a+2b) + p_2(2a+2b) &= \\ &= \Delta \cdot a \cdot b \cdot H + \Delta \cdot a \cdot b \cdot h. \dots (1). \end{aligned}$$



черт. 7

Беря моменты относительно нижней кромки всех сил, действующих на плиту, получим:

$$p_1 ab + 2 \cdot p_1 b \cdot \frac{b}{2} + \frac{2(p_2 - p_1)b}{2} \cdot \frac{b}{3} = \Delta abh \cdot \frac{b}{2} + \frac{\Delta \cdot a \cdot b(H-h)}{2} \cdot \frac{b}{3},$$

или, сокращая на b и освобождаясь от дробей, будем иметь:

$$p_1 \cdot 6a + p_1 \cdot 6b + p_2 \cdot 2b - p_1 \cdot 2b = 3 \Delta abh + \Delta abH - \Delta abh$$

или:

$$p_1(6a + 4b) + p_2 \cdot 2b = \Delta \cdot abH + 2 \Delta \cdot ab \cdot h. \dots (2).$$

Решая уравнения (1) и (2) относительно p_1 и p_2 , найдем:

$$p_1(2a+2b) + p_2(2a+2b) = \Delta \cdot a \cdot b \cdot H + \Delta abh \dots \dots \dots (-b)$$

$$p_1(6a+4b) + p_2 \cdot 2b = \Delta abH + 2 \Delta abh \dots \dots \dots (a+b)$$

$$p_1(6a^2 + 4ab + 6ab + 4b^2 - 2ab - 2b^2) = \Delta \cdot ab(aH + 2ah + bH + 2bh - bH - bh)$$

или:

$$p_1(6a^2 + 8ab + 2b^2) = \Delta \cdot ab(aH + 2ah + bh);$$

Подарен. Курс гидротехн. сооружений.

Так как трехчлен:

$$6a^2 + 8ab + 2b^2 = 2(3a^2 + 4ab + b^2) = 2(H + b)(3a + b),$$

то

$$p_1 = \frac{\Delta ab(H + 2ah + bh)}{2(a + b)(3a + b)},$$

Подставляя значение p_1 в уравнение (1), получим:

$$\begin{aligned} p_1 + p_2 &= \frac{\Delta abH + \Delta abh}{2(a + b)}; \\ p_2 &= \frac{\Delta abH + \Delta abh}{2(a + b)} - p_1 = \frac{\Delta abH + \Delta abh}{2(a + b)} - \frac{\Delta ab(H + 2ah + bh)}{2(a + b)(3a + b)} = \\ &= \frac{\Delta ab(H + h)(3a + b) - \Delta ab(H + 2ah + bh)}{2(a + b)(3a + b)} = \\ &= \frac{\Delta ab[(H + h)(3a + b) - (aH + 2ah + bh)]}{2(a + b)(3a + b)} = \\ &= \frac{\Delta ab[3aH + 3ah + bH + bh - aH - 2ah - bh]}{2(a + b)(3a + b)}, \end{aligned}$$

или:

$$p_2 = \frac{\Delta ab(2aH + bH + ah)}{2(a + b)(3a + b)}.$$

Предположим, что наибольшее напряжение будет испытывать диагональное сечение AC . Найдем момент всех сил относительно этого сечения. Реакция S_1 на кромку (см. черт. 8 текста) AD приложена посередине кромки в точке O_1 и равна ap_2 ; плечо ее O_1K_1 относительно AC определится из подобия треугольников AO_1K_1 и ACD ; $O_1K_1 : O_1A = CD : AC$ или:

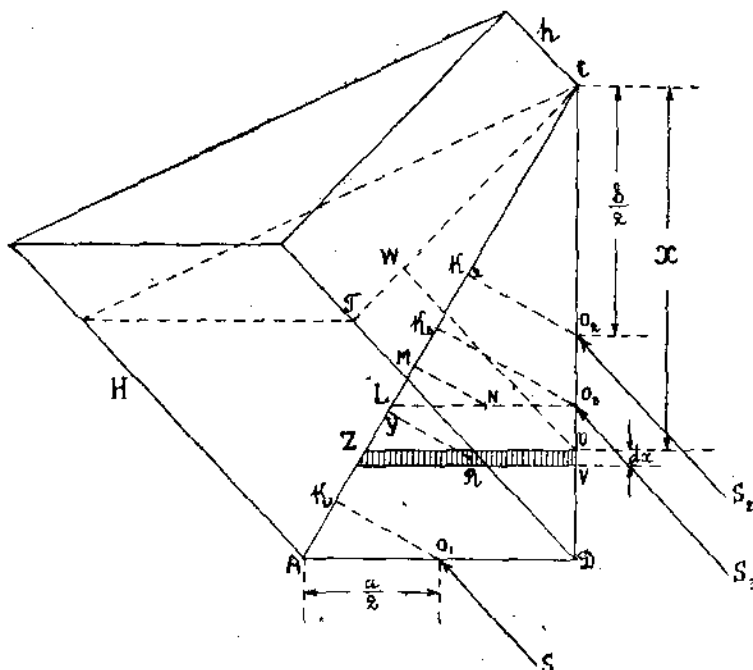
$$O_1K_1 : \frac{a}{2} = b : \sqrt{a^2 + b^2};$$

откуда:

$$O_1K_1 = \frac{ab}{2\sqrt{a^2 + b^2}}.$$

Момент силы S_1 относительно $AC = \frac{p_2 \cdot ab \cdot b}{2\sqrt{a^2 + b^2}}$

Реакцию на вертикальную кромку CD разложим на две составляющие силы: одну $S_2 = p_1b$, приложенную в средине O_2 кромки, и другую $S_3 = \left(\frac{p_1 + p_2}{2}\right) \cdot b$, приложенную в точке O_3 на расстоянии $\frac{b}{3}$ от кромки AD . Плечо O_2K_2 силы S_2 относительно AC определится из подобия треугольников



Черт. 8.

$CO_2K_2 : CAD; O_2K_2 : CO_2 = AD : AC; O_2K_2 : \frac{b}{2} = a : \sqrt{a^2 + b^2}$ отсюда:

$$O_2K_2 = \frac{ab}{2\sqrt{a^2 + b^2}}$$

Момент силы S_2 относительно $AC = \frac{p_1 ab^2}{2\sqrt{a^2 + b^2}}$.

Плечо O_3K_3 силы S_3 относительно AC определяется из подобия треугольников CO_3K_3 и CAD ; $O_3K_3 : CO_3 = AD : AC$ или:

$$O_3K_3 : \frac{2b}{3} = a : \sqrt{a^2 + b^2};$$

отсюда получим:

$$O_3K_3 = \frac{2ab}{3\sqrt{a^2 + b^2}}$$

Момент силы S_3 относительно плеча AC будет $= \frac{(p_2 - p_1)ab^2}{3\sqrt{a^2 + b^2}}$.

Сумма моментов сил S_1 , S_2 и S_3 относительно $AC =$

$$= \frac{ab(3ap_2 + 3bp_1 + 2bp_2 - 2bp_1)}{6\sqrt{a^2+b^2}} = \\ = \frac{ab[bp_1 + p_2(3a + 2b)]}{6\sqrt{a^2+b^2}},$$

Подставляя вместо p_1 и p_2 их значения, получим:

$$\begin{aligned} & \triangle a^2b^2(abH + 2abh + b^2h + 6a^2H + 3abH + 3a^2h + 4abH + 2b^2H + 2abh) \\ & = \frac{12(a+b)(3a+b)\sqrt{a^2+b^2}}{\triangle a^2b^2(8abH + 6a^2H + 2b^2H + 4abH + 3a^2h + b^2h)} \\ & = \frac{12(a+b)(3a+b)\sqrt{a^2+b^2}}{\frac{\triangle a^2b^2(3a^2 + 4ab + b^2)(2H + h)}{12(a+b)(3a+b)\sqrt{a^2+b^2}}} \\ & = \frac{\triangle a^2.b^2.(2H+h)}{12\sqrt{a^2+b^2}}. \end{aligned}$$

Нагрузку на треугольник ACD разобьем на две части: одну равномерно распределенную и другую увеличивающуюся по закону прямой от точки C до кромки плиты AD . Равнодействующая первой нагрузки равна $\frac{\triangle a.b.h}{2}$ и приложена в центре тяжести N треугольника ACD ($O_3L \parallel AD$ и $LN = NO_3$); плечо MN этой силы относительно AC определяется из подобия треугольников

$$LMN \sim ACD; MN:LN = CD:AC; MN:\frac{a}{3} = b:\sqrt{a^2+b^2};$$

откуда:

$$MN = \frac{ab}{3\sqrt{a^2+b^2}}.$$

Момент этой силы относительно AC будет $\frac{\triangle a^2.b^2.h}{6\sqrt{a^2+b^2}}$.

Для определения момента от нагрузки второй части, рассмотрим отрезок шириной $UV = dx$, взятый на расстоянии $CI = x$ от точки C ; здесь единичное давление равно UW . \triangle и определяется из подобия треугольников CUW и CDT :

$$UW:CU = DT:CD; UW:x = (H-h):b; UW = \frac{x(H-h)}{b};$$

длину отрезка UZ определим из подобия треугольников

$$CUZ \text{ и } ACD; UZ:CU = AD:CD; UZ:x = a:b; UZ = \frac{a^2}{b};$$

нагрузка на весь отрезок шириной dx выразится

$$\frac{\Delta \cdot ax^2 (H-h) dx}{b^2},$$

плечо RY этой нагрузки относительно AC найдем из подобия треугольников RYZ и ACD ; $RY:RZ = CD:AC$;

$$RY: \frac{ax}{2b} = b: \sqrt{a^2 + b^2};$$

$$\text{откуда имеем, что } RY = \frac{a \cdot x \cdot b}{2b \cdot \sqrt{a^2 + b^2}} = \frac{ax}{2\sqrt{a^2 + b^2}}.$$

Элементарный момент второй части будет =

$$= \frac{\Delta \cdot a^2 x^3 (H-h) dx}{2b^2 \sqrt{a^2 + b^2}},$$

полный момент второй части будет =

$$\int_0^b \frac{\Delta \cdot a^2 x^3 (H-h)}{2b^2 \sqrt{a^2 + b^2}} dx = \frac{\Delta \cdot a^2 b^4 (H-h)}{8b^2 \sqrt{a^2 + b^2}} = \frac{\Delta \cdot a^2 b^2 (H-h)}{8 \sqrt{a^2 + b^2}}.$$

Таким образом, полный изгибающий момент относительно AC от нагрузки на треугольник ACD будет:

$$\begin{aligned} & \frac{\Delta \cdot a^2 b^2 h}{6 \sqrt{a^2 + b^2}} + \frac{\Delta \cdot a^2 b^2 (H-h)}{8 \sqrt{a^2 + b^2}} = \\ & = \frac{\Delta \cdot a^2 b^2 (4h + 3H - 3h)}{24 \sqrt{a^2 + b^2}} = \\ & = \frac{\Delta \cdot a^2 b^2 (3H + h)}{24 \sqrt{a^2 + b^2}}. \end{aligned}$$

Момент всех сил, действующих на треугольник ACD относительно AC будет =

$$\begin{aligned} & = \frac{\Delta \cdot a^2 b^2 (2H + h)}{12 \sqrt{a^2 + b^2}} - \frac{\Delta \cdot a^2 b^2 (3H + h)}{24 \sqrt{a^2 + b^2}} = \\ & = \frac{\Delta \cdot a^2 b^2 (4H + 2h - 3H - h)}{24 \sqrt{a^2 + b^2}} = \frac{\Delta \cdot a^2 b^2 (H + h)}{24 \sqrt{a^2 + b^2}}. \end{aligned}$$

Если обозначим толщину обшивки через e , то момент сопротивления W плиты по диагонали будет:

$$\frac{\sqrt{a^2 + b^2} \cdot e^2}{6}$$

и так как $M_{max} = k \cdot W$, где k — допускаемое напряжение обшивки на изгиб, то имеем:

$$\frac{\Delta \cdot a^2 b^2 (H + h)}{24 \sqrt{a^2 + b^2}} = \frac{c^2 \cdot \sqrt{a^2 + b^2}}{6} \cdot k;$$

откуда:

$$c^2 = \frac{\Delta \cdot a^2 b^2 (H + h)}{4k(a^2 + b^2)} \text{ и } c = 0,5ab \sqrt{\frac{\Delta(H+h)}{k(a^2+b^2)}}.$$

При $k = 1000$ кил. на кв. сант. и $\Delta = 0,001$ кил. в 1 кубич. сант., получим, что

$$c = 0,0005ab \sqrt{\frac{H+h}{a^2+b^2}}.$$

К полученной величине прибавляют 1 миллим. в запас на ржавление железа, и окончательно для толщины обшивки получим формулу:

$$e = 0,1 + 0,0005ab \sqrt{\frac{H+h}{a^2+b^2}}.$$

Все величины в формуле выражены в сантиметрах.

При уменьшении числа горизонтальных ребер отдельные части затворов получаются более солидных размеров, вследствие чего они могут лучше сопротивляться ударам льдин и ржавлению, не говоря уже о том, что расчет конструкции значительно упрощается, становясь вполне определенным для затворов с двух ребрах.

Для уменьшения силы, необходимой для маневрирования железными затворами, применяются бронзовые полосы, прикрепляемые к самим затворам, или к пазам в стенах водопропускных отверстий (ч. ч. 24, 27), так как коэффициент трения железа по бронзе = 0,3, между тем как для железа по железу он = 0,5.

Ч. 22. Переносный затвор для небольших оросительных канал, состоящий из листа в виде полукруга диаметром 0,80⁻, толщиной 0,025⁻, усиленного сверху двумя планками 0,07⁻ × 0,015⁻, к которым прикреплена ручка для подъема щита.

Ч. 23. Окаймляющие ребра щита из уголков 0,090⁻ × 0,090⁻ × 0,010⁻, а остальные — из тавров 0,110⁻ × 0,080⁻ × 0,010⁻; опорные стойки из двутаврового железа 0,120⁻ × 0,080⁻ × 0,010⁻. Обшивка из листового железа толщиной 0,010⁻, приклепанного к полкам ребер и стоек.

Ч. 24. Ребра (1) из двутаврового железа $0,300 \times 0,140 \times 0,010$ приклепаны при помощи коротких уголков (2) размерами $0,055 \times 0,055 \times 0,010$ к опорным стойкам, состоящим из листа (3) $0,340 \times 0,010$ и (4) двух уголков $0,070 \times 0,070 \times 0,010$. Обшивка из $0,010$ листового железа (5) направляющий ролик. Для уменьшения силы трения при подъеме затвора к опорным стойкам, усиленным с низовой стороны листом (6), прикреплена стальная полоса (7), а к пазу — в каменной стене шлюза — соответственной величины бронзовая полоса (8).

Ч. 25. К двум опорным стойкам из корытного железа $0,100 \times 0,050 \times 0,006$, обращенного полками в наружу затвора, приклепаны при помощи коротких уголков $0,140 \times 0,140 \times 0,012$ восемь ребер, из которых два крайних из корыт $0,080 \times 0,045 \times 0,006$, а шесть средних из зетов $0,080 \times 0,050 \times 0,006$, усиленных с низовой стороны затвора двумя раскосами из полосового железа $0,070 \times 0,006$ длиною по $1,70$; обшивка из листового железа в $0,006$ толщиною. Тяга из круглого железа диаметром в $0,06$ проходит через пять верхних ребер и закреплена у каждого двумя штырями по обе стороны.

Ч. 26. Водопропускное отверстие закрывается двумя щитами, расположеннымими один над другим с особыми пазами для каждого. У верхнего затвора четыре ребра, состоящих каждое из горизонтального листа толщиной в $\frac{1}{4}$ " и шириной посередине в $7\frac{1}{4}$ " и по концам в 5", обращенного выпуклостью к низовой воде, и двух или четырех уголков, а именно — первое сверху ребро из двух $2\frac{1}{2}'' \times 2\frac{1}{2}'' \times \frac{1}{4}$ "; второе — из четырех $2\frac{1}{2}'' \times 2\frac{1}{2}'' \times \frac{1}{4}$ "; третье и четвертое из четырех $2\frac{1}{2}'' \times 2\frac{1}{2}'' \times \frac{3}{8}$ ". Каждая из опорных стоек состоит из вертикального листа, толщиной $\frac{1}{4}$ " и шириной 5" и двух уголков $2\frac{1}{2}'' \times 2\frac{1}{2}'' \times \frac{3}{8}$ ", обращенных полками во внутрь затвора, и усиlena с низовой стороны вертикальным листом шириной в $1'6$ ", идущим во всю высоту затвора. Обшивка из трех полос листового железа, толщиной $\frac{1}{4}$ " с накладками изнутри затвора на вертикальных стыках, расположенных в разбежку. Два верхних ребра, через которые по обе стороны оси затвора на расстоянии 0,47 проходит по болту диаметром $1\frac{1}{4}$ ", кончающимся кольцом для подъ-

емной цепи, усилены каждый горизонтальным листом длиною по 1,35⁻, толщиною 1^{1/4}".

У нижнего затвора каждая опорная стойка состоит из вертикального листа 5" × 1^{1/4}" и двух уголков 2^{1/2}" × 2^{1/2}" × 3^{3/8}" и усиlena с низовой стороны вертикальным листом шириной 1'6", идущим во всю высоту затвора и вверху изнутри щита коротким вертикальным листом, скрепленным с шарниром подъемной тяги. Верхнее ребро — горизонтальный лист, шириной: по концам 5" и 8^{1/4}" посередине пролета, где он для прикрепления подъемной цепи усилен коротким листом; два уголка 2^{1/2}" × 2^{1/2}" × 1^{1/2}", обращенных полками внутрь затвора, и вертикальный лист 3" × 1^{1/2}" с низовой стороны. Второе ребро состоит из горизонтального листа таких же размеров, как у верхнего, усиленного посередине пролета четырьмя поперечными короткими уголками, из четырех уголков 2^{1/2}" × 2^{1/2}" × 1^{1/2}" и вертикального листа 5^{1/4}" × 3^{3/8}" с низовой стороны. У нижнего ребра четыре уголка 2^{1/2}" × 2^{1/2}" × 3^{3/8}", вертикальный лист 5^{1/4}" × 1^{1/4}" с низовой стороны и горизонтальный лист таких же размеров и с таким же усилением посередине пролета, как у второго ребра.

Обшивка из двух полос листового железа толщиной 5/16" и 3/8". Нижний затвор обращен выпуклостью к верховой воде.

Ч. 27. Обшивка из двух продольных полос листового железа, толщиной 0,010⁻ и шириной вверху 0,930⁻ и внизу 1,200⁻ с соответствующей накладкой, приклепана к шести горизонтальным ребрам, отстоящим одно от другого, считая снизу на: 0,350⁻, 0,400⁻, 0,410⁻, 0,510⁻ и 0,410⁻, при чем верхнее и нижнее ребра состоят каждое из сплошного горизонтального листа толщиной 0,010⁻ и двух уголков размерами 0,080⁻ × 0,080⁻ × 0,010⁻, обращенных во внутрь затвора, а четыре средних ребра из четырех уголков 0,080⁻ × 0,080⁻ × 0,010⁻, двух горизонтальных листов, толщиной 0,010⁻ и длиною 0,733⁻ по концам, и решетки из восьми раскосов полосового железа 0,080⁻ × 0,010⁻ по середине. Ребра в плане криволинейного очертания с верховой стороны, при высоте посередине пролета = 0,325⁻ и по концам по 0,180⁻, приклепаны при помощи коротких уголков 0,140⁻ × 0,140⁻ × 0,014⁻ к двум опорным стойкам, высотою по 2,150⁻ из

корытного железа $0,180 \times 0,070 \times 0,08$ — усиленного с низовой стороны вертикальным листом во всю высоту затвора, шириной $0,250$ — снабженным бронзовой полосой для уменьшения силы трения при перемещении затвора. По обоим концам, на расстоянии $1,023$ от оси, к затвору приклепано по два корытных железа $0,160 \times 0,065 \times 0,0075$ — высотою с низовой стороны $2,30$ и с верховой $0,50$ — для прикрепления подъемных цепей, при чем каждая пара корыт усиlena сверху двумя уголками (1,1), приклепанными нормально к плоскости затвора как к корытам, так и к верхнему ребру затвора.

Ч. 28. К двум опорным стойкам из корытного железа $0,200 \times 0,075 \times 0,0085$ — приклепаны при помощи уголков, $0,070 \times 0,070 \times 0,009$ — длиною по $0,180$, пять ребер из таких же корыт, сплоченных обшивкой из двух продольных полос листового железа толщиною $0,010$ — шириной по $0,815$ — приклепанных с верховой стороны затвора к полкам ребер и стоек и, кроме того, соединенных накладкой $0,170 \times 0,010$. С обоих концов, для прикрепления подъемной цепи на расстоянии $0,970$ от края, к затвору приклепано по четыре полосы $0,080 \times 0,010$ — доходящие с низовой стороны до низа щита, а с верховой до низа второго ребра и скрепленных сверху двумя корытами $0,200 \times 0,075 \times 0,0085$ — высотой по $0,200$ — приклепанными при помощи коротких уголков $0,070 \times 0,070 \times 0,009$ — к верхнему ребру затвора и усиленными с их сторон, обращенными одна к другой, вертикальными листами (1,1).

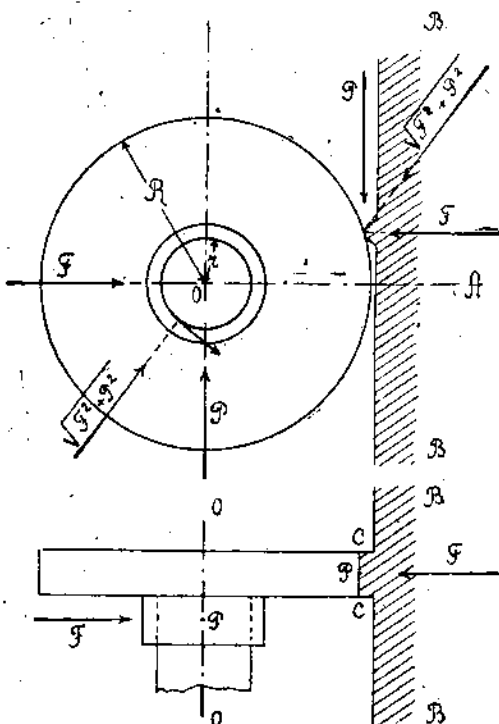
Для уменьшения силы трения при передвижении затвора к стойкам с низовой стороны прикреплены бронзовые полосы (2). Для уплотнения затвора снизу служит деревянный брус (3), прикрепленный к нижнему ребру.

Чугунные затворы состоят из плит без ребер или с ребрами, при чем при большой высоте затвора свинчиваются из нескольких плит (ч. 32). Расчет затворов производится обычным способом, как плит, опирающихся по всему периметру или только по концам, принимая во внимание усиление ребрами.

Ч. 29. Чугунная плита толщиной $0,03$ привинчена к подъемной тяге диаметром $0,06$ двумя обоймами при помощи болтов.

Ч. 30. Чугунная плита толщиною 0,04⁻, усиленная двумя диагональными ребрами, прикреплена к подъемной тяге диаметром 0,08⁻ тремя болтами.

Ч. 31. Чугунная плита толщиною 0,03⁻ усилена двумя вертикальными и четырьмя горизонтальными ребрами и скреплена при помощи четырех гаек с винтовой подъемной тягой диаметром 0,08⁻ проходящей через два верхних ребра.



Черт. 9.

напором воды, кроме того еще промежуточным ребром.

Колесные и катковые затворы. Сиду, необходимую для перемещения шлюзовых затворов, можно значительно уменьшить, устраивая вместо скользящих задвижки затворы на колесах, и еще более понизить—применяя катки.

Обозначая через F давление воды на затвор, приходящееся на долю одного колеса, через P соответствующую движущую силу, нормальную к плоскости OA (см. ч. 9 текста), проходящей через F и ось OO колеса, и параллельную плоскости BB катания колеса, через m коэффициент трения

Ч. 32. Затвор состоит из трех чугунных плит, толщиной по 0,03⁻ с трубчатыми утолщениями по концам для прохождения болтов, скрепляющих плиту в одно целое и прикрепленных к подъемным цепям.

Каждая плита усилена тремя вертикальными ребрами и двумя горизонтальными по краям, а нижняя, как находящаяся под большим

оси в подшипнике, через t коэффициент трения катания колеса, т.-е. расстояние линии CC соприкосновения колеса с плоскостью катания от плоскости OA и через R и r радиусы колеса и подшипника, найдем, что, не принимая во внимание веса затвора, который обычно уравновешивается противовесом, для равновесия двух пар сил, действующих на колесо нормально к OO :

$$\sqrt{F^2 + P^2}; \sqrt{F^2 + P^2}; m \cdot \sqrt{F^2 + P^2}; m \cdot \sqrt{F^2 + P^2},$$

необходимо, чтобы сумма моментов этих сил относительно OO была равна нулю, т.-е., чтобы

$$P \cdot R - F \cdot t - m \cdot \sqrt{F^2 + P^2} \cdot r = 0;$$

откуда:

$$P = \frac{(F \cdot t + m \cdot \sqrt{F^2 + P^2} \cdot r)}{R},$$

или приближенно, так как P мало в сравнении с F ,

$$P = \frac{F \cdot (t + m \cdot r)}{R}.$$

Полагая:

$$m = 0,2; t = 0,0005^-; R = 0,175^- \text{ и } r = 0,04^-,$$

как в затворах Силезской плотины *Маркисса* в Германии (ч. 45), найдем: $P = 0,05 \cdot F$.

Оставляя для каткового затвора те же обозначения F, P, t, R и предполагая, что вес затвора уравновешен противовесом, найдем, что для равновесия пары сил $\sqrt{F^2 + P^2}$; $\sqrt{F^2 + P^2}$, действующих на каток, необходимо, чтобы сумма моментов этих сил относительно оси OO катка была равна нулю, т.-е.

$$P \cdot R + P \cdot R - F \cdot t - F \cdot t = 0, \text{ или } P \cdot R - F \cdot t = 0;$$

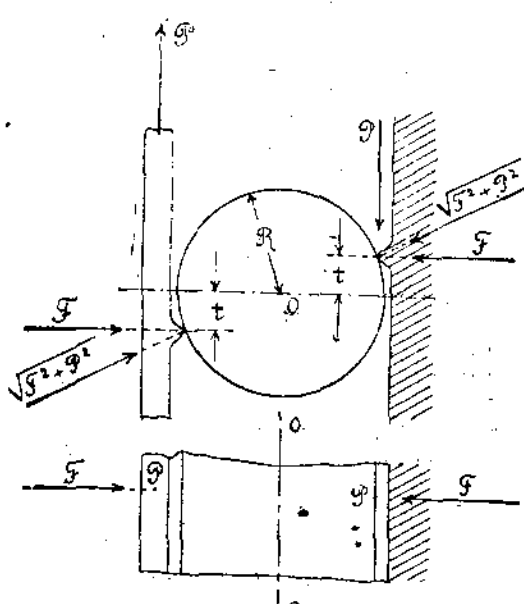
откуда:

$$P = \frac{F \cdot t}{R}.$$

Полагая $t = 0,0005^-$ и $R = 0,10^-$, как в затворах плотины *Шевр* на реке Роне в Швейцарии, получим, что

$$P = 0,005 \cdot F.$$

Так как для железного скользящего затвора, не принимая во внимание его веса, $P = 0,5 \cdot F$, то для каткового затвора подъемная сила в 100 раз меньше, а для колесного



Черт. 10.

в 10 раз меньше. При неблагоприятных условиях работы, например, если затвор может примерзать к пазам, или можно ожидать заедания его напоследок, коэффициенты f , t и m даются значительно большие значения, чем вышеприведенные 0,5, 0,0005— и 0,2.

Подшипники колес, расположенных на таком расстоянии друг от друга, чтобы они были одинаково напряжены, прикрепляются

обыкновенно к опорным стойкам затворов.

Для уплотнения колесных затворов с боков применяются: пеньковые канаты (A) (ч. 39), кожаные каймы (B) (ч. 37, 42), резиновые накладки (C) (ч. ч. 35) и прокладки (D), (ч. 34), деревянные бруски (E) (ч. 43) и металлические пружинные пластины (F) (ч. ч. 38, 44, 47).

В катковых затворах, называемых также Стонеевскими по имени их изобретателя, английского инженера Стона, катки (1) (ч. 49) размещаются на таком расстоянии друг от друга, чтобы на каждый каток приходилось одно и то же давление, и вращаются около осей с такими же устройствами опорами в планках (2, 2), стянутых при помощи распорок (3) в раму, снабженную сверху щитком (4), около которого обогнули канат (5), одним концом прикрепленный к верху затвора и другим — к перекрытию водопропускного отверстия.

Так как при таком устройстве путь, проходимый катковой рамой, вдвое меньше пути, проходимого затвором, то в каждый момент движения при вращении катка около мгновенного центра A , дуга, описанная точкой B соприкоснения окружности катка с затвором, вдвое больше дуги,

описанной центром O окружности, и, следовательно, катание катка по неподвижной плоскости паза и по затвору совершается без скольжения (см. ч. 11 текста). Для уплотнения катковых затворов с боков обыкновенно применяют металлические, по большей части, медные или бронзовые, как не ржавеющие, прутья (ч.ч. 49, 51, 53, 54), прикрепленные шарнирно к затвору с его верховой стороны таким образом, что они легко зажимаются от давления воды в зазор между обшивкою затвора и рамою, окаймляющей водопропускное отверстие, или деревянные бруски, заложенные между двумя балками корытного сечения (ч. 52), из которых одна прикреплена к обшивке затвора, а другая к нише в стенке водопропускного отверстия, или же, наконец, пружинящие металлические пластинки, прикрепленные к затвору и прижимаемые водою к нише (ч. 50).

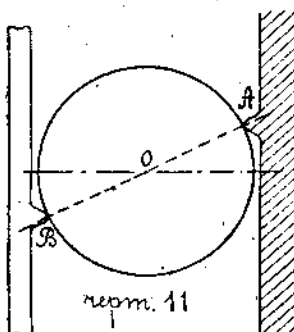
Для уплотнения затворов снизу обыкновенно служит деревянный брус, прикрепленный к затвору (ч.ч. 50, 52).

Колеса и катки рассчитываются на сжатие по формуле Герца

$$k = O, 418 \cdot \sqrt{\frac{p \cdot E}{R}}$$

где R — радиус колеса или катка, E — модуль упругости на сжатие, p — давление на погонную единицу линии касания колеса или катка с плоскостью и k — напряжение на сжатие, которое для лучшей стали не должно быть более 7000 килогр. на 1 кв. см.

Благодаря легкости маневрирования стоеевскими щитами, этот тип затворов применяется широко на реках с сильными и быстрыми колебаниями уровня воды и сильными ледоходами, при чем размеры щитов достигают внушительных размеров. Так, на р. Рейне, в плотине Аугст-Вилен в Швейцарии, катковые затворы при площади в 144,00 кв. мет. (ширина 16,00⁻, высота 9,0⁻) весят по 43 тонны (0,3 тонны



черт. 11

на 1 кв. мет.) (черт. 52). На реке Роне, в плотине Шевр в Швейцарии, затворы при площади 96, 90 кв. мет. (ширина 11,4⁻, высота 8,5⁻) весят по 50 тонн (черт. 51). В Глазовской плотине в Англии затворы 26,0⁻ × 3,7⁻ = 96,20 кв. мет. Но чем больше затвор, тем сложнее его устройство.

Так как при поднятом затворе катковые рамы выступают из-под него на половину высоты подъема, то должны быть приняты меры для предохранения катков от ударов воды, расстраивающих все сооружение, и наносов, истирающих как катки, так и их оси и подшипники, что, обыкновенно, достигается постановкой струеотклоняющих щитов (*H* и *K*) (ч. ч. 51, 53, 54), или же значительным уширением водопропускного отверстия с низовой стороны затвора (ч. 52), а для уменьшения сотрясения катковых рам от ударов воды применяют конструкцию по чертежу б), т.-е. устраивают раму с направляющими обоймами.

При больших пролетах затворов применяют вертикальные шарниры для нормальной передачи давления на катки при изгибе щита (ч. ч. 52, 54).

Для того, чтобы катки не примерзали к пазам, применяют иногда прогревание их отработавшим паром, пускаемым по трубам, заложенным в кладку стен шлюза вблизи пазов.

Черт. 33. Подшипники осей двух пар колес прикреплены к опорным стойкам, скрепленным тремя горизонтальными ребрами: верхнее ребро из корытного железа 0,160⁻ × 0,065⁻ × 0,0075⁻ × 0,0105⁻, нижнее, расположенное на 0,300⁻ от низа затвора, из зета 0,160⁻ × 0,070⁻ × 0,0085⁻ × 0,011⁻ и среднее из корыта 0,120⁻ × 0,055⁻ × 0,007⁻ × 0,009⁻ и двух 0,050⁻ × 0,050⁻ × 0,009⁻ уголков; каждая опорная стойка состоит из корытного железа 0,160⁻ × 0,065⁻ × 0,0075⁻ × 0,0105⁻ и двух уголков 0,060⁻ × 0,060⁻ × 0,010⁻. Обшивка между верхним и нижним ребром из листового железа толщиной 0,009⁻ и внизу из листового железа толщиной 0,009⁻, усиленного тремя таврами 0,120⁻ × 0,120⁻ × 0,013⁻, прикрепленными к нижнему ребру.

Уплотнение затвора достигается при помощи стальных брусков, окаймляющих со всех сторон затвор и плотно прижимающихся к таким же брускам, прикрепленным к раме водопропускного отверстия, после того, как колеса в конце своего хода войдут в соответственные углубления в пазах.

Ч. 34. Затвор в виде закрытого со всех сторон железного ящика, перекатывающегося на четырех колесах по двум рельсам, поверхность которых кверху несколько склоняется от вертикальной плоскости, по которой обделана рама водопроводного отверстия. Затвор окаймлен со всех сторон желобком, в котором помещается резиновая прокладка (*C*), покрытая медным или бронзовым тавром, высота которого подбрана таким образом, что, когда затвор находится в конце своего хода, резина, сплюснувшись под давлением воды, прижимает тавр плотно к раме, закрывая зазор между рамой и затвором.

Ч. 35. У колес, перекатывающихся по рельсам, расположенным как с низовой, так и с верховой стороны затвора, подшипники на катках. *C* — резиновые накладки для уплотнения затвора с боков.

Ч. 36. Деталь прикрепления стальных колес, диаметром 0,43", к деревянному щиту. Два варианта устройства подшипников на шариках (диаметром 0,075"). Бронзовые направляющие ролики диаметром 0,25".

Ч. 37. При закрытом водопроводном отверстии затвор упирается концами в передние уступы (1) пазов, а по задним (2), при перемещении затвора, перекатываются ролики (3), связанные в одно целое рамами (4), по одной на паз, шарниро скрепленными с затвором короткими поводками (5), при чем степень удаления роликов от щита регулируется рычагами (6). Кожаные каймы *B* служат для лучшего уплотнения затвора с боков.

Ч. 38. Деталь прикрепления осей колес к опорным стойкам затвора. *F* — прижимные металлические пластинки для уплотнения затвора с боков.

Ч. 39. Деталь прикрепления оси колеса к опорной стойке затвора. *A* — пеньковый канат для уплотнения затвора с боков.

Ч. 40. Обшивка из листового железа, приклепанного к шести горизонтальным ребрам из корытного железа, скрепленным в свою очередь с двумя опорными стойками, состоящими каждая из листа и двух уголков. К стойкам прикреплены подшипники осей двух пар колес и по два стальных бруска, книзу сближающихся между собой клинообразно и, при закрытом затворе, прижимающихся к стальным бру-

скам, прикрепленным к раме водопропускного отверстия. Уплотнение затвора сверху достигается при помощи двух пар несколько скосленных стальных брусков, прикрепленных соответственно к затвору и раме, а снизу с помощью деревянного бруса сболоченного с двумя нижними ребрами, помещенными вплотную одно около другого.

Ч. 41. Затвор состоит из шести горизонтальных ребер из корытного железа, при чем два верхние ребра из корыт № 14 по германскому нормальному сортаменту, а четыре нижних из корыт № 20, двух опорных стоек из корыт № 20, доходящих внизу до второго ребра снизу, шести промежуточных стоек из уголков $0,090 \times 0,090 \times 0,010$, и обшивки из трех вертикальных полос листового железа, толщиной $0,010$, приклепанных к уролкам. Два верхних колеса меньшего диаметра, чем два нижних, перекатываются по особому кривому пути, устроенному таким образом, что затвор в конце своего хода ложится горизонтально под мост, перекрывающий водопропускное отверстие.

Ч. Ч. 42—44. Детали устройства колес. В—кошаные каймы, Е—деревянный прижимный брусков, прикрепленный к затвору пружинящими металлическими пластинками Е¹, F—прижимная металлическая пластина для уплотнения затворов с боков.

Ч. 45. Затвор перекатывается по рельсам на шести колесах, подшипники которых прикреплены к двум опорным стойкам из двутаврового железа № 20 по германскому нормальному сортаменту, приклепанным к четырем ребрам из двутаврового железа № 25, скрепленным между собой, кроме того, еще двумя промежуточными стойками из двутаврового железа № 20. Обшивка из $0,010$ листового железа.

Ч. 46. Обшивка из пяти полос листового железа, толщиной $0,012$; $0,012$; $0,012$; $0,011$ и $0,010$, приклепанных к шести горизонтальным ребрам из двутаврового железа № 22 по германскомуциальному сортаменту, приклепанным концами к опорным стойкам, каждая из которых состоит из вертикального листа $0,510 \times 0,010$ и двух уголков $0,055 \times 0,055 \times 0,010$.

Ребра, кроме того, скреплены тремя промежуточными стойками из таврового железа $0,100 \times 0,100 \times 0,010$ и усилены с низовой стороны фасонными листами железа,

шириною у ребер 0,400", посередине пролета между ребрами 0,075", приклепанными к полкам ребер и соответственных уголков опорных стоек.

Ч. 47. Верхнее ребро из корытного железа, остальные также, как и опорные стойки, из зетов. *F* — металлическая прижимная пластиинка для уплотнения затвора с боков, а снизу, для той же цели, к затвору прикреплен деревянный брус.

Ч. 48. Затвор состоит: 1) из двух горизонтальных ребер — верхнего, в виде прокатного двутаврового железа № 40, по германскому нормальному сортаменту, и нижнего — из двутавровой балки, склеенной из четырех уголков 0,100" \times 0,100" \times 0,010" и горизонтального листа толщиной 0,010" и шириной посередине пролета 0,550" и по концам 0,400" и усиленной, посередине пролета, с низовой стороны, вертикальным листом длиной 1,75", высотой 0,210" и толщиной 0,010", скрепленных; 2) промежуточными стойками из корытного железа № 10, продолжающимися до низа затвора, и приклепанных по концам к: 3) двум опорным стойкам к обрачтого сечения, внутри которых помещено: 4) по два колеса диаметром 0,425", несколько выдающихся из-за стоек и могущих перекатываться по рельсам, расположенным как с низовой, так и с верховой стороны затвора и 5) из обшивки из стальных листов толщиной 0,010", приклепанных с верховой стороны к расположенным в одной плоскости полкам стоек и горизонтальных балок. Затвор подвешен к двум галлесским цепям.

Ч. 49. Затвор состоит из двух опорных стоек из двутаврового железа высотою 18", весом 55 фунтов в 1 погон. футе, девяти горизонтальных ребер из двутаврового железа, высотою 15", весом 42 фунта в 1 погон. футе, приклепанных к стойкам при помощи коротких уголков и усиленных с низовой стороны двумя наклонными полосами и, скользящими вверху, посередине затвора, где прикреплено кольцо для подъемной цепи, и обшивки из железных листов толщиной $3/8$ ". В затворе имеется щитовое окно, которое открывают перед подъемом затвора для того, чтобы поднять уровень воды с низовой стороны затвора и тем облегчить его подъем.

Уплотнение затвора с боков достигается при помощи прижимных металлических прутьев (*G*), а сверху — при помощи гибкой пластиинки (*B*), приклепанной к затвору и прижимающейся под давлением воды к деревянному бруски (*7*), прикрепленному к лицевой стенке шлюза.

Ч. 50. К двум опорным стойкам из двутаврового железа № 42 $\frac{1}{2}$, по германскому нормальному сортаменту, прикреплены при помощи коротких уголков 0,070 \times 0,070 \times 0,009 m два горизонтальных ребра: верхнее из двутаврового железа № 42 $\frac{1}{2}$ и нижнее — в виде клюпанной балки из четырех уголков 0,100 \times 0,100 \times 0,012 m и горизонтального листа, толщиной 0,010 m и шириной, посередине пролета, 0,600 m и у опор 0,425 m , усиленной снизу стороны, посередине пролета, на протяжении 2,20 m вертикальным листом 0,210 \times 0,010 m .

Обшивка из четырех полос листового железа толщиной 0,010 m усиlena одиннадцатью вертикальными ребрами из корытного железа № 16, приклепанными при помощи фасонных листов к горизонтальным ребрам. В каждой катковой раме по десять катков, диаметром 0,090 m . Для пропуска малых расходов воды и льда над катковым затвором сверху помещено четыре щитка высотою по 0,300 m с горизонтальной осью вращения, которыми маневрируют при помощи особых цепей, по две на щиток, одной для его открывания и другой для закрывания. Затвор подвешен на двух проволочных канатах по краям, с противовесами, и на двух зубчатых рейках.

На чертежах 51—54 представлены катковые затворы швейцарских плотин:

Ч. 51. Шеэр на реке Роне.

Ч. 52. Аугст-Вилен на реке Рейне.

Ч. 53. Албула.

Ч. 54. Лейк.

Ч. 55. Деталь устройства катковой рамы с направляющими обоймами для уменьшения сотрясений от ударов воды.

Ч. 56. Затвор состоит из шести горизонтальных ребер, из прокатного железа по краям зетового № 20, по германскомуциальному сортаменту, и посередине корытного № 20, из двух опорных стоек из корыт № 12, усиленных уголками и прикрепленных к ребрам при помощи коротких уголков и

6 миллиметровой обшивки, как с верховой, так и с низовой стороны затвора. Шары, диаметром 60 мм., могут свободно вращаться в медных парных обоймах, зажатых при помощи болтов между железными полосами. Уплотнение затвора достигается при помощи деревянных брусьев, окаймляющих затвор со всех сторон.

Шандорные и спицевые затворы. Затвор, составленный из нескольких отдельных горизонтальных брусьев или досок, положенных друг на друга и упирающихся концами в пазы, устроенные в боковых стенках водопропускного отверстия, называется шандорным, а спицевым называет затвор, состоящий из ряда отдельных брусьев, поставленных стойм я друг о друга и имеющих упор вверху и внизу водопропускного отверстия.

Для шандорных затворов часто применяют деревянные брусья значительных размеров. Так, каждый из пятидесяти пролетов Канадской плотины Шодьер на р. Оттаве закрывается одиннадцатью шандорами длиною по 7,75[—] и вышиною по 0,40[—] (черт. 62), при чем толщина брусьев изменяется от 0,46[—] внизу до 0,36[—] вверху, а в затворе одной из плотин на р. Молдаве в гор. Няре в Богемии шандоры состоят из брусьев длиною 11,5[—] и вышиною 0,25[—], при чем они снабжены по концам роликами для уменьшения трения, а зазоры с боков затвора закрываются особыми вертикальными брусьями (черт. 63).

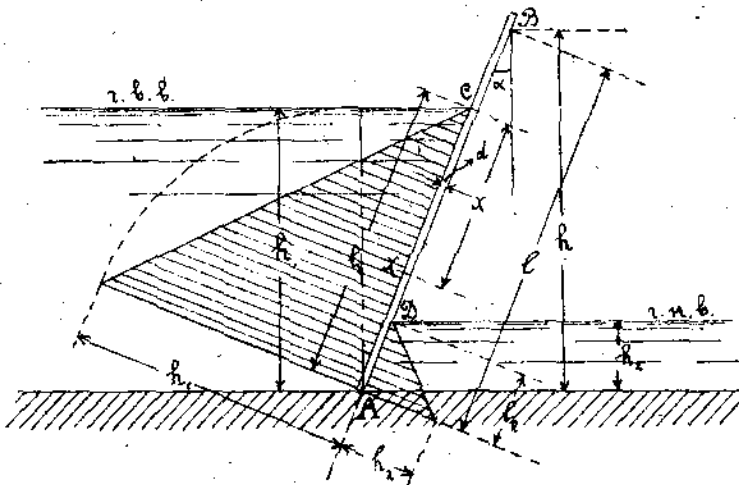
На чертежах 64—69 показаны различные захваты у шандоров в виде колец, скоб, штырей и т. п. для подъема шандоров барагами.

Шандоры делаются также и металлическими из прокатных, или клепанных двутавровых балок, достигающих иногда значительных размеров.

Спицы делаются исключительно деревянные из брусьев не тоньше 0,05[—], при чем высота их доходит до 5,50[—], а вес до 400 кил. (черт. 71).

Для подъема вручную вес спицы не должен быть больше 30 килогр.

Толщина d спицы со свободно опертными концами A и B см. ч. 12 текста), наклоненной к вертикали под углом α и находящейся под давлением воды слоем h_1 с верховой и h_2 с низовой стороны, определяется по наибольшему изгибаю-



Черт. 12.

щему моменту от нагрузок по заштрихованным площадям треугольников. Обозначив вес 1 куб. метра воды через Δ ; $AB = l$; $AC = l_1$; $AD = l_2$, найдем для реакции B верхней опоры значение:

$$B = \frac{\left[\frac{h_1 l_1}{2} \cdot \frac{l_1}{3} - \frac{h_2 l_2}{2} \cdot \frac{l_2}{3} \right] \cdot \Delta}{l} = \frac{(l_1^3 - l_2^3) \cos \alpha \cdot \Delta}{6l};$$

и для изгибающего момента в произвольном сечении X между B и D на расстоянии x от C будем иметь:

$$M_x = B(x + l - l_1) - \frac{x^3 \cos \alpha \cdot \Delta}{6};$$

Положив: $\frac{d(M_x)}{dx} = 0$,

найдем:

$$B - \frac{x^2 \cos \alpha \cdot \Delta}{2} = 0;$$

откуда:

$$x = \sqrt{\frac{2B}{\cos \alpha \cdot \Delta}} = \sqrt{\frac{l_1^3 - l_2^3}{3l}}$$

$$\text{и } M_{\max} = \left(\frac{l_1^3 - l_2^3}{6h} \cdot \frac{\Delta}{\cos^2 \alpha} \right) \cdot \left[(h - h_1) + \frac{2}{3} \sqrt{\frac{l_1^3 - l_2^3}{3h}} \right]$$

Положив $h_2 = h$, получим:

$$M_{max} = -\frac{h^3}{6h} \cdot \frac{\cos^2 \alpha}{\cos^2 \alpha} \left[(h - h_1) + 3 \sqrt{\frac{h^3}{3h}} \right]$$

Так как h_1 обыкновенно мало отличается от h , то, положив $h_1 = h$, получим:

$$M_{max} = \frac{h^3}{9 \sqrt{3} \cos^2 \alpha}$$

$\cos^2 \alpha$ редко делается меньше 0,9; полагая $\Delta = 1$; $\cos^2 \alpha = 0,9$, получим:

$$M_{max} = 0,07h^3.$$

Если положить, что $\cos^2 \alpha = 1$, то получим:

$$M_{max} = 0,064h^3.$$

Если обозначить допускаемое напряжение на изгиб для материала спиц через k в килограммах на 1 кв. сант. и толщина спицы d выражена в сант., а M_{max} в тоннометрах,

то

$$1000 M_{max} = \frac{d^2}{6} \cdot k;$$

откуда

$$d = \sqrt{\frac{6000 \cdot M_{max}}{k}},$$

для значения $k = 100 \frac{\text{кил.}}{\text{см.}^2}$ найдем, что

$$d = 7,75 \sqrt{M_{max}}.$$

Если $h_1 = h$ и $\cos \alpha = 1$, то для значения $k = 60 \frac{\text{кил.}}{\text{см.}^2}$ $d = 2,53 \sqrt{h^3}$; для $k = 80 \frac{\text{кил.}}{\text{см.}^2}$ $d = 2,20 \sqrt{h^3}$ и для $k = 100 \frac{\text{кил.}}{\text{см.}^2}$ $d = 1,96 \sqrt{h^3}$ при h , выраженному в метрах.

Толщина шандоров определяется по соответственно распределенной нагрузке от давления воды, как при расчете деревянных задвижек затворов или ребер у железных затворов.

На ч.ч. 57—60 показаны устройства для быстрого открывания шандорных затворов.

Ч. 57. Шандоры упираются одним концом в брус (1) с вертикальною осью вращения, выдающийся из стен пллюза

и удерживаемый на месте клином (2), и другим концом — в паз, устроенный обычным способом в другой стене шлюза. По вынутии клина из его гнезда, брус под напором давления воды на шандоры, поворачивается на своей оси, заходя в соответствующее углубление в стене шлюза, и шандоры, потеряв тут опору, поворачиваются в горизонтальном направлении около неподвижной опоры, открывая водопропускное отверстие.

Ч. 58. Упорный брус в виде полуцилиндра, с вертикальной осью вращения, удерживается на месте, при закрытом шлюзе, крючком (1).

Ч. 59. Упорный брус прикреплен к полу шлюза шарниром с горизонтальной осью вращения.

Ч. 60. Средняя подвижная опора двухпролетного шлюза² устроена в виде стойки таврового сечения, прикрепленной шарнирно к полу шлюза также, как и подкос, подпирающий ее при закрытом шлюзе.

Для того, чтобы открыть шлюз, нужно оттянуть подкос от стойки при помощи цепи с берега канала.

При спицевых затворах верхний упорный брус тоже может быть устроен поворотным около горизонтальной или вертикальной оси для того, чтобы дать возможность спицам быстро открывать водопропускное отверстие.

В подобных конструкциях шандоры и спицы привязывают на цепях или веревках к стене шлюза для того, чтобы их не уносило течением (ч. ч. 58—60).

Для пропуска через шандорные затворы малых расходов воды и небольших количеств льда достаточно поднять один или несколько верхних шандоров, в чем этот тип выгодно отличается от задвижных щитов больших размеров, но как шандоры, так и спицы плохо держат воду, благодаря обилию стыков, для уплотнения которых до некоторой степени может служить такой материал, как деревянные опилки, хвоя и т. п., насыпанные в воду с верховой стороны затвора, а кроме того, на сборку шандорных и спицевых затворов, а также их разборку, в случае, если не имеется на то особых приспособлений, требуется значительно больше времени, чем для маневрирования с задвижными щитами, а потому шандорные затворы очень часто применяются только в качестве вспомогательных на случай порчи или ремонта глав-

ных затворов какого-нибудь другого типа, для чего в стенах шлюза делаются особые пазы, как с верховой, так иногда и с низовой стороны основного затвора.

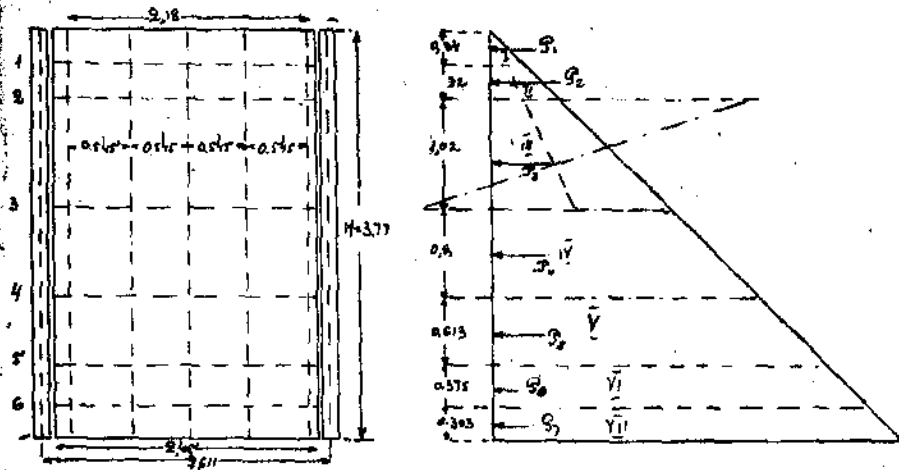
Расчет колесного плотинного затвора, представленного на черт. 41.

Высота щита $H = 3,77$ мт.

Ширина „ $b = 2,45$ „

1) Расчет горизонтальных балок (ребер).

Длина пролета балок $l = 2,18$ мт.



Черт. 13.

Определим нагрузку от давления воды, приходящуюся на 1 пог. метр длины каждой из горизонтальных балок.

Для этого найдем силы давления воды в отдельных частях (секциях) щита, разграниченных балками.

$$P_1 = f_1 \cdot b^1 \cdot q = \frac{0.34 \times 0.34}{2} \times 1 \times 1000 = 57,8 \text{ кгр.}$$

где f_1 — соотв. грузовая площадь,

„ b^1 — 1 пог. метр. ширины щита,

„ q — вес 1 куб. метра воды = 1000 кгр.

$$P_2 = f_2 \cdot b^1 \cdot q = \frac{0,34 + 0,66}{2} \times 0,32 \times 1 \times 1000 = 160,0 \text{ кгр.}$$

$$P_3 = f_3 \cdot b^1 \cdot q = \frac{0,66 + 1,68}{2} \times 1,02 \times 1 \times 1000 = 1193,4 \text{ кгр.}$$

$$P_4 = f_4 \cdot b^1 \cdot q = \frac{1,68 + 2,48}{2} \times 0,8 \times 1 \times 1000 = 1664,0 \text{ кгр.}$$

$$P_5 = f_5 \cdot b^1 \cdot q = \frac{2,48 + 3,093}{2} \times 0,613 \times 1 \times 1000 = 1708,1 \text{ кгр.}$$

$$P_6 = f_6 \cdot b^1 \cdot q = \frac{3,093 + 3,468}{2} \times 0,375 \times 1 \times 1000 = 1230,2 \text{ кгр.}$$

$$P_7 = f_7 \cdot b^1 \cdot q = \frac{3,468 + 3,770}{2} \times 0,303 \times 1 \times 1000 = 1096,6 \text{ кгр.}$$

Точки приложения указанных сил (в центре тяжести соотв. грузовой площади) находим графически, как изображено на черт. 13 текста.

Определенные выше, силы давления воды по закону рычага передаются на горизонтальные балки следующим образом: (см. черт. 14 текста).

Балка I.

$A_1 = A'_1 + A''_1$; где A'_1 = результат действия силы P_1 на балку A_1

$\text{и } A''_1 = \text{результат действия силы } P_2 \text{ на балку } A_1$

$$A'_1 = P_1 = 57,8 \text{ кгр.}$$

$$A''_1 = \frac{P_2 \cdot l''_2}{l_2} = \frac{160 \times 0,146}{0,32} = 73 \text{ кгр.}$$

(плечо l''_2 взято графически из чертежа).

$$A_1 = A'_1 + A''_1 = 57,8 + 73 = 130,8 \text{ кгр.}$$

Балка II.

$$A_2 = A'_2 + A''_2; \quad A'_2 = P_2 - A'_1 = 160 - 73 = 87,0 \text{ кгр.}$$

$$A''_2 = \frac{P_3 \cdot l''_3}{l_3} = \frac{1193,4 \times 0,44}{1,02} \times 514,8 \text{ кгр.}$$

$$A_2 = 87 + 514,8 = 601,8 \text{ кгр.}$$

Балка III.

$$A_3 = A'_3 + A''_3; \quad A'_3 = P_3 - A''_2 = 1193,4 - 514,8 = 678,6 \text{ кгр.}$$

$$A''_3 = \frac{P_3 \cdot l''_3}{l_3} = \frac{1664 \times 0,375}{0,8} = 780,0 \text{ кгр.}$$

$$A_3 = 678,6 + 780 = 1458,6 \text{ кгр.}$$

Балка IV.

$$A_4 = A'_4 + A''_4; \quad A'_4 = P_4 - A''_3 = 1664,0 - 780,0 = 884,0 \text{ кгр.}$$

$$A''_4 = \frac{P_4 \cdot l''_4}{l_4} = \frac{1708,1 \times 0,3}{0,613} = 852,5 \text{ кгр.}$$

$$A_4 = 884 + 852,5 = 1736,5 \text{ кгр.}$$

Балка V.

$$A_5 = A'_5 + A''_5; \quad A'_5 = P_5 - A''_4 = 1708,1 - 852,5 = 855,6 \text{ кгр.,}$$

$$A''_5 = \frac{P_5 \cdot l''_5}{l_5} = \frac{1230,2 \times 0,185}{0,375} = 606,9 \text{ кгр.}$$

$$A_5 = 855,6 + 606,9 = 1462,5 \text{ кгр.}$$

Балка VI.

$$A_6 = A'_6 + A''_6; \quad A'_6 = P_6 - A_5 = 1230,2 - 606,9 = 623,3 \text{ кгр.}$$

$$A''_6 = P_7 = 1096,6 \text{ кгр.}$$

$$A_6 = 623,3 + 1096,6 = 1719,9 \text{ кгр.}$$

Проверка нагрузки на 1 пог. метр ширины щита по всей высоте щита (по треугольнику давления):

$$Q = A_1 + A_2 + A_3 + A_4 + A_5 + A_6 = 130,8 + 601,8 + \\ + 1458,6 + 1736,5 + 1462,5 + 1719,9 = 7110,1 \text{ кгр.}$$

$$Q = f \cdot b' \cdot q = \frac{3,77 \times 3,77}{2} \times 1 \times 1000 = 7106,5 \text{ кгр.,}$$

что показывает достаточную точность подсчета.

Все балки нагружены соответствующей нагрузкой A , сосредоточенной в 5 точках (посредством 5 стоек), отстоя-

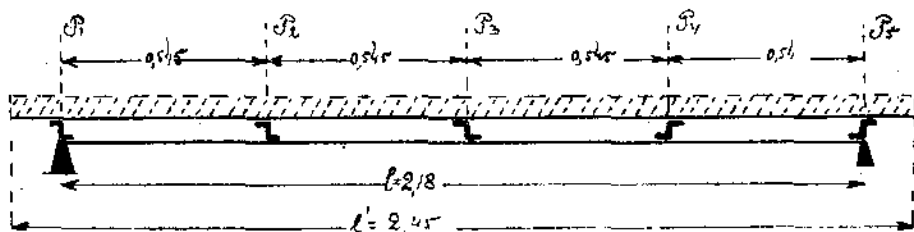
щих друг от друга на равных расстояниях (см. ч. 15 текста). Следовательно, для определения M_{max} можем применить формулу равномерно распределенной нагрузки, что аналитически одно и то же:

$M_{max} = \frac{P \cdot l}{8}$; где $P = A \cdot l$ — вся нагрузка, приходящаяся на каждую горизонтальную балку.

l — вся ширина обшивки = 2,45 мет.,

A — нагрузка на 1 пог. метр ширины обшивки.

l — длина горизонт. балок = 2,18 мет.



Черт. 15.

По конструктивным соображениям, балки 1 и 2 берем одного размера, а балки 3, 4, 5 и 6 также одного между собою размера, но большего, чем первые.

Из 3, 4, 5 и 6 горизонтальных балок рассчитываем только 4-ю, как наиболее нагруженную.

$$A_4 = 1736,5 \text{ кгр.}; P_4 = A_4 l = 1736,5 \times 2,45 = 4253,8 \text{ кгр.}$$

$$M_{4max} = \frac{P_4 \cdot l \cdot 100}{8} = \frac{4253,8 \times 2,18 \times 100}{8} = 115917 \text{ кгр. см.}$$

Из двух одинакового размера балок 1 и 2 рассчитываем 2-ю, как более нагруженную.

$$M_{2max} = \frac{P_2 \cdot l}{8}; P_2 = A_2 l = 610,8 \times 2,45 = 1474,4 \text{ кгр.}$$

$$M_{2max} = \frac{P_2 \cdot l \cdot 100}{8} = \frac{1474,4 \cdot 2,18 \cdot 100}{8} = 40178 \text{ кгр. см.}$$

Переходим к подбору сечений.

Начнем с балки № 2; $M_{max} = 40178 \text{ кгр. см.}$

$$W = \frac{M_{max}}{\mu} = \frac{40178}{1000} = 40,18 \text{ см.}^3$$

Берем швеллер № 14 русского норм. сортамента (см. ч. 16 текста).

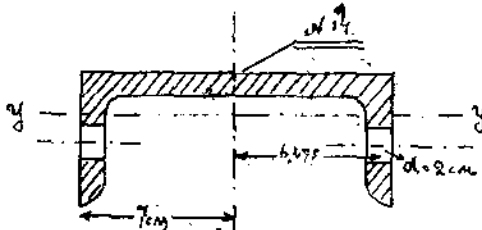
$$I_{brutto} = 624 \text{ см.}^4.$$

Диаметр всех заклепок щита берем $d = 2 \text{ см.}$

$$I \text{ закл. отн. средн. линии} = \frac{b \cdot h^3}{12} = \frac{2 \times 1,05^3}{12} = 0,19 \text{ см.}^4 = 0,2 \text{ см.}^4$$

I' заклепок отн. нейтр. сечения =

$$= I - f \cdot r^2 = 0,20 + 2 \times 1,05 \times 6,475^2 = 88,25 \text{ см.}^4$$



Черт. 16.

Для 2-х заклепок $I = 2 \times 88,25 = 176,5 \text{ см.}^4$

$$I_{netto} = 624 - 176,5 = 447,5 \text{ см.}^4$$

$$W_{netto} = \frac{447,5}{7} = 64,0 \text{ см.}^3;$$

$$n = \frac{M_{max}}{W} = \frac{40175}{64,0} = 628 \text{ кгр./см.}^2 < \text{допускаемого на изгиб.}$$

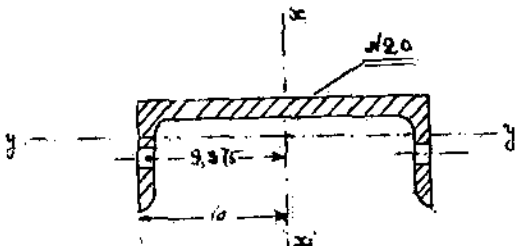
Балка 4-я.

$$W_4 = \frac{M_{4max}}{n} = \frac{115917 \text{ кгр.}}{1000} = 115,9 \text{ см.}^3$$

Взят швеллер № 20 по норм. русскому сортаменту (см. черт. 17 текста).

$$I_{br.} = 2018 \text{ см.}^4$$

$$I \text{ закл.} = \frac{b \cdot h^3}{12} = \frac{2 \times 1,25^3}{12} = 0,325 \text{ см.}^4$$



Черт. 17.

закл. отн. пейтр. оси сечения: $I + f \cdot r^2$.

$$= 0,325 + 2 \times 1,25 \times 9,375^2 = 220,3 \text{ см.}^4$$

Для 2-х заклепок: $2 \times I' = 2 \times 220,3 = 440,6 \text{ см.}^4$

$$I_{netto} = 2018 - 440,6 = 1577,4 \text{ см.}^4$$

$$W = \frac{1577,4}{10} = 157,74 \text{ см.}^3$$

$$n = \frac{M_{max.}}{W} = \frac{115917}{157,74} = 734,86 \text{ кгр./см.}^2 < \text{допускаемого на изгиб.}$$

Определим площадь сечения 4-х болтов, прикрепляющих балку № 6 к подшипникам.

Болты берем стальные; напряжение принимаем

$$= 800 \text{ кгр. см.}^2$$

Поперечная сила на опоре:

$$A = \frac{A_b \cdot l'}{2} = \frac{1719,9 \times 2,45}{2} = 2106,8 \text{ кгр.}$$

Площадь сечения болтов:

$$\omega = \frac{2106,8}{800} = 2,63 \text{ см.}^2$$

Площадь сечения каждого болта:

$$\omega' = \frac{2,63}{4} = 0,66 \text{ см.}^2$$

Берем 4 болта, диаметром $d = \frac{3}{4}'' = (1,95 \text{ см.})$.

Площадь сечения каждого болта будет: $\omega' = 2,83 \text{ см.}^2$

К горизонтальным балкам прикрепываются стойки из уголков. Принимая во внимание только что рассмотренный выше расчет болтов, будет вполне достаточно разместить в каждой стойке по 1 заклепке (считая по одной горизонтали и принимая во внимание 5 стоек).

Число и размер болтов, прикрепляющих балку к верхним подшипникам, берем те же самые, что и у нижних подшипников.

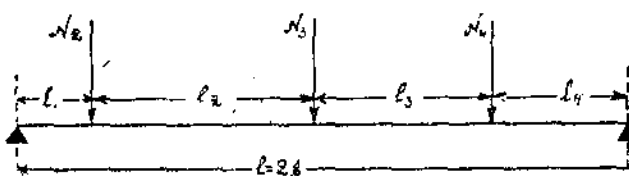
2) Рассчет опорных стоек, расположенных по своей высоте между 1 и 5 горизонт. балками (см. ч. 18 текста).

Сила, действующая на каждую из стоек, от давления соответствующей горизонтальной балки N_2 , N_3 и N_4 будет:

$$P_{N_2} = \frac{A_2 l'}{2} = \frac{691,8 \cdot 2,45}{2} = 737,2 \text{ кгр.}$$

$$P_{N_3} = \frac{A_3 l'}{2} = \frac{1458,6 \cdot 2,45}{2} = 1786,76 \text{ кгр.}$$

$$P_{N_4} = \frac{A_4 l'}{2} = \frac{1736,0 \cdot 2,45}{2} = 2126,92 \text{ кгр.}$$



Черт. 18.

Реакции опор будут:

$$N_1 = P_{N_4} \cdot l_4 + P_{N_3} (l_4 + l_3) + P_{N_2} (l_4 + l_3 + l_2) = 2126,92 \cdot 0,61 + 1786,76 \cdot (0,61 + 0,80) + 737,2 \cdot (0,61 + 0,80 + 1,02) = 5608,148;$$

$$N_1 = \frac{5608,148}{2,8} = 2002,91 \text{ кгр.}$$

$$N_5 = 737,2 + 1786,76 + 2126,92 = 2002,91 = 2647,97 \text{ кгр.}$$

$$M_{max} = [N_5 \cdot (l_4 + l_3) - P_{N_4} \cdot l_3] \times 100 = \\ = [2647,97 \cdot 1,41 - 2126,92 \cdot 0,8] \cdot 100 = 203209,8 \text{ кгр. см.}$$

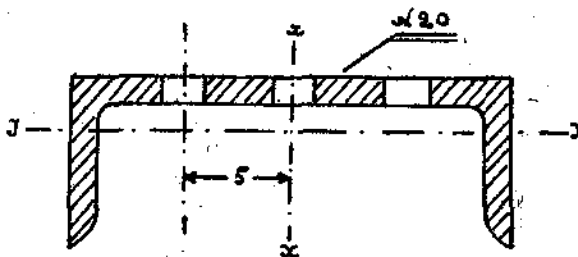
$$W = \frac{M_{max}}{n} = \frac{203209,8}{1000} = 203,21 \text{ см.}^3$$

Взят швеллер № 20 норм. русского сортамента (см. ч. 19 текста).

$$W_{br.} = 202 \text{ см.}^3; W_{закл.} = \frac{2 \times 2 \times 0,85 \times 5^2}{10} = 8,5 \text{ см.}^3$$

$$W_{net.} = 202 - 8,5 = 193,5 \text{ см.}^3$$

$$\mu_{\text{доп.}} = \frac{M_{max}}{W} = \frac{203209,8}{193,5} = 1051 \text{ кгр./см.}^2, \text{ что допустимо.}$$

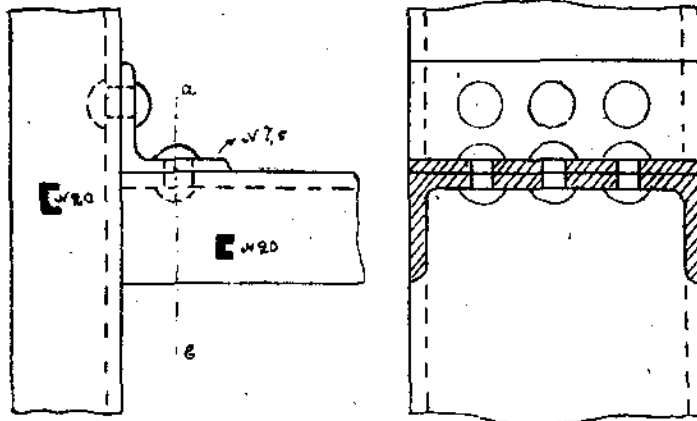


Черт. 19.

Площадь сечения заклепок, прикрепляющих горизонтальные балки к опорным стойкам (см. ч. 20 текста).

$$Q = \frac{A}{\text{перезывание}} = \frac{2127}{800} = 2,66 \text{ см.}^2,$$

разр по а-б



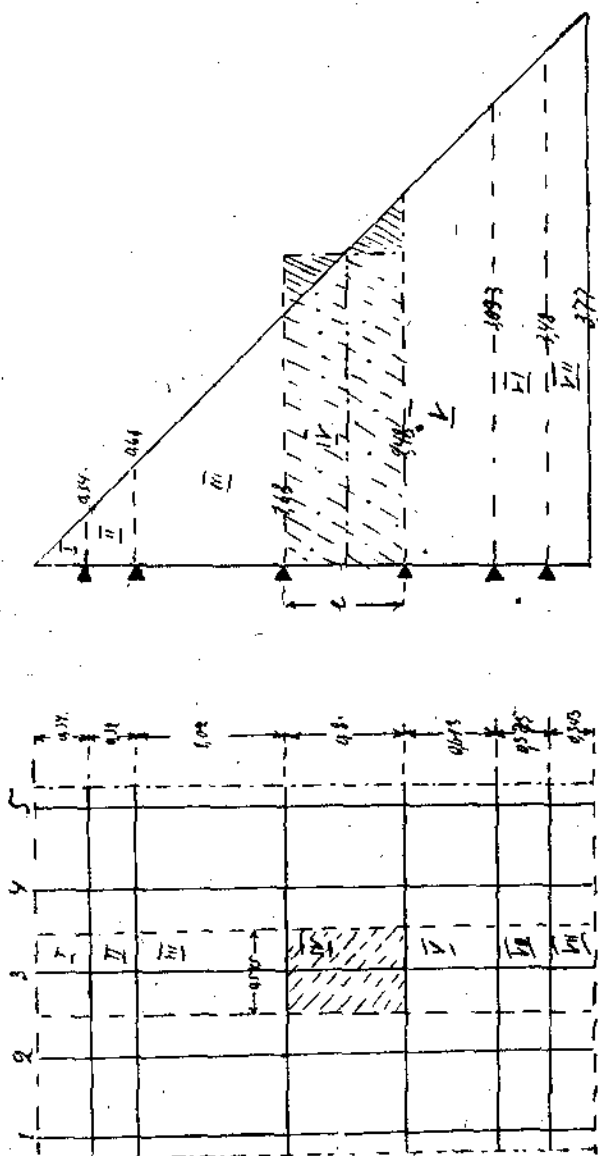
Черт. 20.

следовательно, трех заклепок, диаметром $d = 2$ см. и общей площадью $3 \cdot \frac{\pi d^2}{4} = f \approx 9,5 \text{ см.}^2$, будет вполне достаточно.

3) Расчет промежуточных стоек. (См. ч. 21 текста).

Стойки нагружены силошной равномерно увеличивающейся книзу нагрузкой.

С достаточной точностью для практических целей, мы можем их рассматривать как балки, равномерно нагружен-



Черт. 21.

ные средней нагрузкой, равной горизонтальной стороне прямоугольника, равновеликого соответствующей грузовой площади (трапеции).

Для общности расчета, впоследствии укажем точные, хотя и более сложные, аналитический и графический способы расчета.

Стойки все нагружены более или менее одинаково; для расчета возьмем среднюю и определим M_{max} во всех секциях, кроме I и II, где нагрузки будут незначительны.

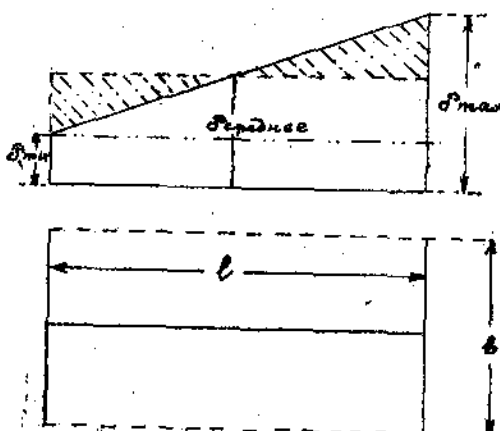
3.а. Расчет по среднему давлению (см. ч. 22 текста).

Начнем с III секции:

b = ширина распределения нагрузки на каждую балку =
= 0,545 мт.

l = длине балки в мт.

q = весу 1 мт.³ воды = 1000 кгр.



Черт. 22.

$$P_{ep,III} = b \cdot 1 \cdot \frac{h_{min} + h_{max}}{2} \cdot q = 0,545 \times 1 \times \frac{0,66 + 1,68}{2} \cdot 1000 = \\ = 637,65 \text{ кгр.}$$

$$M_{max,III} = \frac{l^2 \cdot 100}{8} = \frac{637,65 \times 1,02^2 \times 100}{8} = 8292,6 \text{ кгр. см.}$$

IV Секция.

$$P_{ep,IV} = b \cdot 1 \cdot \frac{h_{min} + h_{max}}{2} \cdot q = 0,545 \times 1 \times \frac{1,68 + 2,48}{2} \times \\ \times 1000 = 1133,6 \text{ кгр.}$$

$$M_{max,IV} = \frac{P_{ep} l^2 \cdot 100}{8} = \frac{1133,6 \times 0,8^2 \times 100}{8} = 9068,8 \text{ кгр. см.}$$

V Секция.

$$P_{\text{ср. v}} = b \cdot 1 \cdot \frac{h_{\min} + h_{\max}}{2} = 0,545 \times 1 \times \frac{2,480 + 3,093}{2} \times 1000 = 1518,64 \text{ кгр}$$

$$M_{\max. v} = \frac{P_v l^2 \cdot 100}{8} = \frac{1518,64 \times 0,613^2 \times 100}{8} = 7137,6 \text{ кгр. см.}$$

.VI Секция.

$$P_{\text{ср. vi}} = b \cdot 1 \cdot \frac{h_{\min} + h_{\max}}{2} = 0,545 \times 1 \times \frac{3,093 + 3,468}{2} \times 1000 = 1787,8 \text{ кгр.}$$

$$M_{\max. vi} = \frac{P_{vi} l^2 \cdot 100}{8} = \frac{1787,8 \times 0,375^2 \cdot 100}{8} = 3142,5 \text{ кгр. см.}$$

VII Секция.

$$P_{\text{ср. vii}} = 0,545 \times 1 \cdot \frac{3,468 + 3,770}{2} \times 1000 = 1972,4 \text{ кгр.}$$

$$M_{\max. vii} = \frac{P_{vii} l^2 \cdot 100}{8} = \frac{1972,4 \times 0,303^2 \times 100}{8} = 2268,3 \text{ кгр. см.}$$

Секции I и II, как незначительно нагруженные, вовсе не рассчитываем на том основании, что стойки снизу до верху по конструктивным соображениям берутся одинакового размера.

Наиболее нагруженной частью для стоек будет секция IV с $M_{\max} = 9068,8$ кгр. см.

Прежде, чем перейти к подбору сечения стойки, определим M_{\max} для данной ее части аналитически и графически (IV секция).

3,8. *Аналитический способ* (см. ч. 23 текста).

Балку рассматриваем, как нагруженную равномерной нагрузкой 1) $p_1 = 9,156$ кгр. на пог. см. и 2) по треугольнику с $p_2 = 4,36$ кгр. на пог. см.,

$$\text{где } P = p_1 \cdot l = 9,156 \times 80 = 732,48 \text{ кгр.}$$

$$\text{и } Q = \frac{p_2 l}{2} = \frac{4,36 \times 80}{2} = 174,4 \text{ кгр.}$$

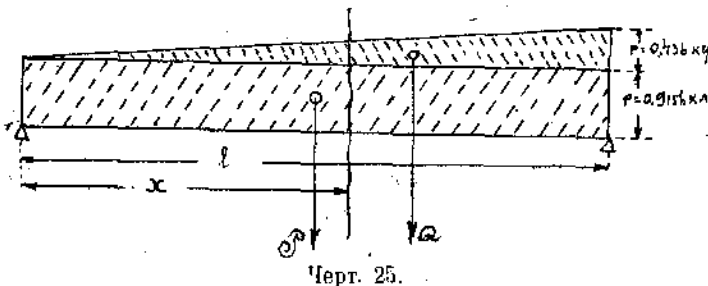
Определим положение опасного сечения M_{max} .

$$M_{max} = \frac{P}{2}x\left(1 - \frac{x}{l}\right) + \frac{Q}{3}x\left(1 - \frac{x^2}{l^2}\right).$$

Для определения расстояний x опасного сечения от левой опоры, берем первую производную от M_{max} и приравниваем ее нулю.

$$\frac{dM}{dx} = \frac{P}{2} - \frac{Px}{l} + \frac{Q}{3} - \frac{Qx^2}{l^2} = 0; \frac{Q}{l^2}x^2 + \frac{P}{l}x - \left(\frac{P}{2} + \frac{Q}{3}\right) = 0.$$

$$x = \frac{-\frac{P}{l} \pm \sqrt{\frac{P^2}{l^2} + 4 \frac{Q}{l^2} \left(\frac{P}{2} + \frac{Q}{3}\right)}}{2 \frac{Q}{l^2}}$$



Черт. 25.

или после упрощения:

$$x = \frac{-6Pl \pm \sqrt{36P^2 + 24Q(3P + 2Q)}}{12Q},$$

$$x = \frac{-6 \times 732,48 \times 0,8 \pm 0,8 \sqrt{36 \times (732,48)^2 + 24 \times 174,4(3 \cdot 732,4 + 2 \cdot 174,4)}}{12 \times 174,4},$$

отсюда:

$$(+)\ x_1 = 0,4127 \text{ мт.} = 41,27 \text{ см.}$$

$$(-)\ x_2 = 3,772 \text{ мт.}$$

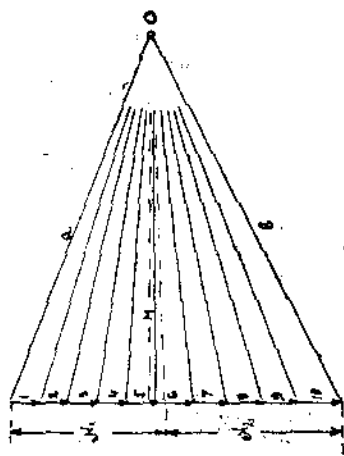
$$M_{max} = \frac{P}{2}x\left(1 - \frac{x}{l}\right) + \frac{Q}{3}x\left(1 - \frac{x^2}{l^2}\right) = \frac{732,48}{2} \times 41,27 \times \\ \times \left(1 - \frac{41,27}{80}\right) + \left(\frac{174,4}{3} \times 41,27\right) \times \left(1 - \frac{41,27^2}{80^2}\right) = 9076 \text{ кгр. см.}$$

З.с. Графический способ (см. ч. 24 текста).

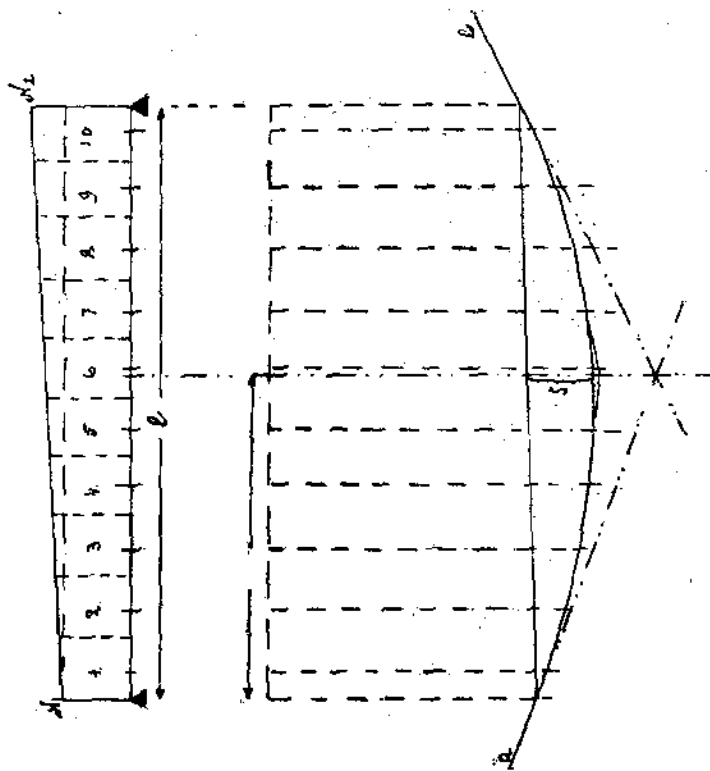
Принимаем:

1) γ = масшт. длян. = 1 м/м. = 1 см.

1) μ = " сил. = 1 м·м. = 20 кгр.



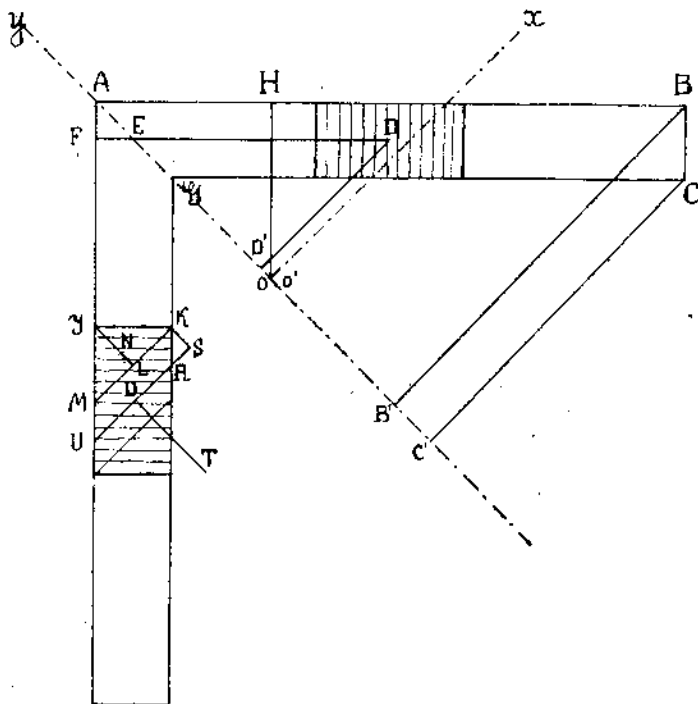
Mepi. 24.



$M_{max} = \tau_i \cdot \mu \cdot S \cdot H = 1 \times 20 \times 9,05 \times 50 = 9050$ кгр. см.
Сопоставляя все три способа, имеем:

- 1) По среднему давлению $M_{max} = 9068,8$ кгр. см.
- 2) По аналитич. способу $M_{max} = 9076$ " "
- 3) По графич. " $M_{max} = 9050$ " "

Берем уголок № 8 по русскому нормальному сортаменту при толщине в 10 мм. О центр тяжести уголка (см. ч. 25 текста), OY и OX главные оси инерции.



Черт. 25.

$J_x = 35,8$ сант.⁴; $J_y = 138,6$ сант.⁴; $F = 15,11$ сант.²;
 HO перпендикулярна к AB :

$$HO = AH = 2,34 \text{ сант.}$$

$$AO = HO \sqrt{2} = 2,34 \cdot 1,41 = 3,30 \text{ сант.}$$

Считая сечение ослабленным двумя заклепками с диаметром $d = 2$ сант. и с центром тяжести D в расстоянии $DE = 4$ сант. от подошвы полки уголка

$$DE + DF - EF = 4,0 - 0,5 = 3,5 \text{ сант.}$$

$$DD' \text{ (перпендикулярная к } OY) = D'E = \frac{DE}{\sqrt{2}} = \frac{3.5}{\sqrt{2}} = 2.48 \text{ сант.}$$

$$AE + AF = 2 + 0.5 \cdot 1.41 = 0.71 \text{ сант.}$$

$$EO = AO - AE = 3.30 - 0.71 = 2.59 \text{ сант.}$$

$$DO = EO - DE = 2.59 - 2.48 = 0.11 \text{ сант.}$$

Расстояние OH от центра тяжести ослабленного сечения от O определяется из соотношения: $15.11 : 4 = x : 0.11$, откуда $11.11 : x = 0.44$; $x = 0.04$ сант. и расстояние центра тяжести D заклепки от новой оси X — ов, проходящей через O' , равно $0.04 + 0.11 = 0.15$ сант. Проведя через точки D и K (на левой стороне ч. 25 текста) линии $UDRS$ и KLM параллельные OX и через точки J и K линии JL и KS перпендикулярные к OX , найдем, что

$$KM = JK\sqrt{2} = 1.\sqrt{2} = \sqrt{2};$$

$$JL = KL = \frac{1}{2} KM = \frac{1}{2}\sqrt{2};$$

$$KS = KR = \frac{1}{2} = \frac{1}{4}\sqrt{2};$$

центр тяжести N треугольника JKM находится от KM на расстоянии

$$LN = \frac{1}{3} \cdot JL = \frac{1}{6}\sqrt{2}$$

и от линии $UDRS$ на расстоянии

$$LN + KS = \frac{1}{6}\sqrt{2} + \frac{1}{4}\sqrt{2} = \frac{5}{12}\sqrt{2}.$$

Момент инерции треугольника JKM относительно оси, проходящей через N и параллельной OX , равен

$$\frac{1}{36} \cdot KM \cdot (JL)^3 = \frac{1}{36} \cdot \sqrt{2} \cdot \frac{1}{9} \cdot 2\sqrt{2}^3 = \frac{2.2}{36 \cdot 8} = \frac{1}{36.2} = \frac{1}{72} \text{ сант.}^4,$$

а момент инерции этого же треугольника относительно оси, $UDRS$ будет

$$\frac{1}{72} + \frac{1}{2} \cdot \sqrt{2} \cdot \frac{\sqrt{2}}{2} \left(\frac{5}{12}\sqrt{2} \right)^2 = \frac{1}{72} + \frac{2 \cdot 25.2}{4 \cdot 144} = \frac{1}{72} + \frac{25}{144} = \frac{27}{144} = \frac{3}{16} \text{ сант.}^4;$$

затем момент инерции параллелограмма $MKRU$ относительно оси UR будет

$$\frac{1}{3} \cdot UR \cdot KS^3 = \frac{1}{3} \cdot 1\sqrt{2} \left(\frac{1}{4}\sqrt{2} \right)^3 = \frac{1 \cdot 2 \cdot 2 \cdot \sqrt{2}}{3 \cdot 64} = \frac{4}{3.61} = \frac{1}{3.16} = \frac{1}{48} \text{ сант.}^4$$

и потому момент инерции трапеции $JKRU$ относительно оси UR будет равен

$$\frac{3}{16} + \frac{1}{48} = \frac{10}{48} = \frac{5}{24} \text{ сант.}^4$$

и момент инерции всей заклепки относительно оси, проходящей через ее центр тяжести D и параллельной OX будет

$$2 \cdot \frac{5}{24} = \frac{5}{12} = 0,417 \text{ сант.}^4$$

Момент инерции заклепки относительно оси, проходящей через D и параллельной OY , будет такой же. Момент инерции ослабленного сечения относительно оси $O'X'$ (параллельной OX) будет

$$\begin{aligned} I_x &= 35,8 + 15,11 \cdot (0,04)^2 - 2 \cdot [0,417 + 2 \cdot (0,15)^2] = \\ &= 35,800 + 0,024 - 2[0,417 + 0,045] = 35,824 - 2 \cdot 0,462 = \\ &= 35,824 - 0,924 = 34,9 \text{ сант.}^4, \end{aligned}$$

а момент инерции ослабленного сечения относительно оси $O'Y$ определится в

$$\begin{aligned} I_y &= 138,6 - 2[0,417 + 2 \cdot (2,48)^2] = 138,6 - 2(0,417 + 12,250) \\ &= 138,6 - 2 \cdot 12,667 = 138,600 - 25,334 = 113,3 \text{ сант.}^4 \end{aligned}$$

Разлагая изгибающий момент для стойки равный 9068,7 км. сант. на два момента M_x и M_y , действующие в плоскостях перпендикулярных к $O'X$ и $O'Y$, получим

$$M_x : M_y = \frac{9068,7}{\sqrt{2}} = \frac{9068,7}{1,41} = 6432 \text{ кил. сант.} \text{ Затем вычислим}$$

$$\frac{M_x}{I_x} = \frac{6432}{34,9} = 184 \cdot \frac{\text{кил.}}{\text{сант.}^3}$$

$$\frac{M_y}{I_y} = \frac{6432}{113,3} = 57 \cdot \frac{\text{кил.}}{\text{сант.}^3}$$

Опустив из точек B и C перпендикуляры BH и CC' на OY , получим:

$$x_1 = BH = AB = \frac{8}{\sqrt{2}} = 5,67 \text{ сант.},$$

$$y_1 = BO' = AB - AO' = 5,67 - 3,34 = 2,33 \text{ сант.}$$

$$x_2 = CC' = GC' = \frac{7}{\sqrt{2}} = 4,96 \text{ сант.}$$

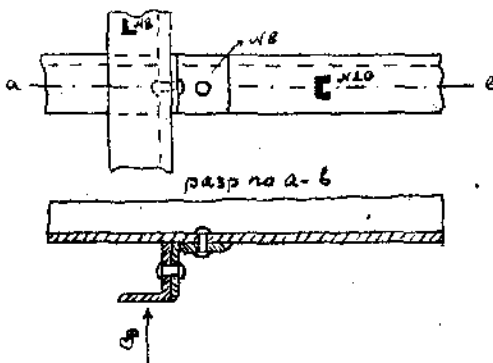
$$y_2 = O'O = BO' + \frac{1}{\sqrt{2}} = 2,33 + 0,71 = 3,04 \text{ сант.}$$

от моментов M_x и M_y в точках B и C получатся напряжения:

в точке B $184,2,33 + 57,5,67 = 428,72 + 323,19 = 752$ кил. на кв. сант.

и в точке C $184,3,04 + 57,4,96 = 559,36 + 282,72 = 842$ кил. на кв. сант.,

в точке же A получается значительно меньшее напряжение.

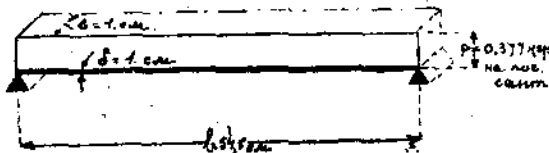


Черт. 26.

Уголки, прикрепляющие средние стойки к горизонтальным балкам (см. ч. 26 текста), подбираем по конструктивным соображениям на возможность разместить по одной заклепке $d = 2$ см. Взят уголок № 8.

4) Расчет обшивки щита.

Так как обшивка щита прикрепывается к вертикальным стойкам, не касаясь горизонтальных балок, то ее рассматриваем



Черт. 27.

ваем, как балку равномерно нагруженную и опирающуюся на две опоры—промежуточные стойки. Для расчета вырезываем на глубине 3,77 мт. в горизонтальном направлении стой шириной 1 см., длиной $l = 54,5$ см. (м. ч. 27 текста).

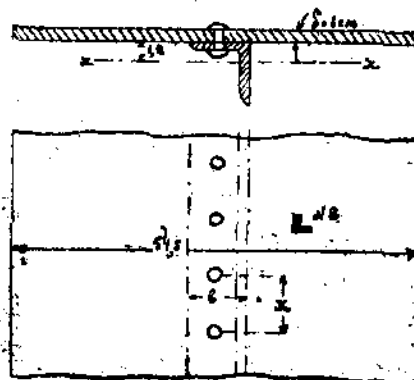
Равномерная нагрузка, приходящаяся на 1 пог. см. длины рассматриваемого слоя:

$$p = 1 \times 1 \times 377 = 377 \text{ кгр. на 1 пог. см.}$$

$$M_{\max} = \frac{p \cdot l^2}{8} = \frac{0,377 \times 54,5^2}{8} = 139,97 = 140 \text{ кгр. см.}$$

Обшивка взята толщиной $\delta = 10 \text{ м/м.}$

$$n = \frac{M}{bh^3} = \frac{140}{11^3} = \frac{140}{1} = 840 \text{ кгр./см.}^2, \text{ что допустимо.}$$



Черт. 28.

Для заклепок, прикрепляющих обшивку к стойкам, принят шаг в 10 сант. (см. ч. 28 текста).

5) Расчет всей щиты. (см. ч. 29 текста).

Полное давление на щит:

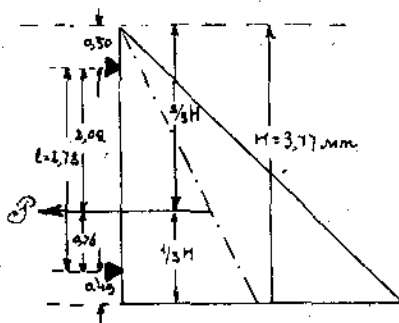
$$P = (Q \cdot b) = f \cdot b = \frac{3,77 \times 3,77}{2} \times 2,45 \times 1000 = 17410,8 \text{ кгр.}$$

На верхнюю ось по закону рычага передается давление (см. ч. 29 текста).

$$P_1 = \frac{P \cdot l^2}{l} = \frac{17410,8 \times 0,76}{2,78} = 4759,7 \text{ кгр.}$$

На нижнюю ось передается давление:

$$P_2 = \frac{P \cdot l_1}{l} = \frac{17410,8 \times 2,02}{2,78} = 12651,1 \text{ кгр.}$$



Черт. 29.

Для верхней оси (см. ч. 30 текста).

$$M_{max} = \frac{P_1 l}{4} = \frac{4759,7 \times 20}{4} = 23798,5 \text{ кгр. см.}$$

$$W = \frac{M_{max}}{\sigma} ; \quad \frac{\pi d^3}{32} = \frac{23798,5}{1000} ;$$

откуда:

$$d = \sqrt[3]{\frac{23798,5}{1000 \cdot 0,098}} = 6,2 \text{ см.}; \text{ берем } d = 7 \text{ см.}$$



Черт. 30.

для нижней оси

$$M_{max} = \frac{P_2 l}{4} = \frac{12651,1 \times 20}{4} = 63255,5 \text{ кгр. см.}$$

$$d = \sqrt[3]{\frac{63255,5}{0,098 \times 1000}} = 8,5 \text{ см.}, \text{ берем } d = 9 \text{ см.}$$

6) Расчет колес.

Из расчета осей имеем:

P_1 — давление на верхнюю пару колес = 4759,7 кн.

P_2 — " в нижнюю " " = 12651,1 "

Для расчета колес применяем формулу Герца

$$\sigma_a = 0,423 \sqrt{\frac{P \cdot E}{r \cdot b}},$$

где P — давление на пару колес

- E — модуль упругости в тоннах на сант.² = 2200 для стали,
- r — радиус колеса в см.,
- b — ширина обоих колес в см.
- σ — напряжение в тоннах на см.²

Для верхней пары колес имеем $r = 10,75$; $b = 10$ см.

$$\sigma = 0,423 \sqrt{\frac{4,7597 \cdot 2200}{10,75 \cdot 10}} = 4,17 = 004,2 \text{ t/cm.}^2$$

Для нижней пары имеем: $r = 16,25$ см.; $b = 12,5$ см.

$$\sigma = 0,423 \sqrt{\frac{12,6511 \cdot 2200}{16,25 \cdot 12,5}} = 4,95 = 005 \text{ t/cm.}^2$$

7) Подсчет веса щита.

обшивка	3,77 · 2,45 · 78 = 721
промежуточные стойки	10,3 · 77 · 11,86 = 447
опорные	2,2 · 8,25 · 0,05 = 140
ребра	4,2 · 45 · 25,05 = 245
"	2,2 · 45 · 16,42 = 80
верхняя ось	2,55 · 30 · 21 = 77
нижняя	2,55 · 49 · 95 = 127
верхние подшипники	2,15 = 30
нижние	2,25 = 50
верхние колеса	2,10 = 20
нижние	2,15 = 30
на заклепочные головки, накладки и прочее, около 5%	103
всего	2070 кил.

8) Расчет подъемной силы.

Подъемная сила равняется весу щита G , сложенному с силой P трения в подшипниках и колесах от давления воды.

Для определения P имеем формулу

$$P = \frac{Q(t + \mu r)}{R}$$

где ρ — давление воды, приходящ. на пару колес,
" $t = 0,055 - 0,1$ сант. коэф. трения качения колес,
" $\mu = 0,2$ коэф. трения в подшипниках,
" R — рад. колеса,
" r — рад. оси.

По ранее определенному нам известно:
для верхней оси:

$$Q = 4759,7 \text{ кн.}$$
$$d = 7 \text{ см.}$$
$$D = 21,5 \text{ см.},$$

для нижней оси:

$$Q = 12651,1 \text{ кн.}$$
$$d = 9 \text{ см.}$$
$$D = 32,5 \text{ см.}.$$

Откуда имеем:

$$P_1 \text{ верхн. оси} = \frac{4759,7 \cdot (0,1 + 0,2 \cdot 3,5)}{10,75} = 354,2 \text{ кгр.}$$

$$P_2 \text{ нижн. оси} = \frac{12651,1 \cdot (0,1 + 0,2 \cdot 4,5)}{16,25} = 778,5 \text{ кгр.}$$

Следовательно, для подъема щита необходима сила:

$$P = G + P_1 + P_2 = 2070,0 + 354,2 + 778,5 = 3203 \text{ кгр.}$$

9) Расчет напряжений от собственного веса затвора.

Приняв, что каждое ребро вместе с соответственной долею промежуточных стоек и обшивки изгибаются от собственного веса независимо от прочих ребер, получим для четвертого ребра при его весе $26,6 \cdot 2,45 = 65$ кил.; половине веса 5 стоек в двух смежных пролетах

$$5 \cdot \frac{0,80 + 0,61}{2} \cdot 11,9 = 5 \cdot 0,7 \cdot 11,9 + 3,5 \cdot 11,9 = 42 \text{ кил.}$$

и половине веса обшивки в этих же пролетах

$$2,45 \cdot 0,7 \cdot 78 = 1,715 \cdot 78 = 134 \text{ кил.}$$

наибольший изгибающий момент посередине ребра

$$(65 + 42 + 134) \frac{245}{8} = \frac{241 \cdot 245}{8} = 7380 \text{ кил. сант.}$$

Затем, так как площадь швеллера № 20 равна 33,9 сант.², а площадь двух заклепок $2 \cdot 1,25 \cdot 2 = 5,0$ сант², расстояние центра тяжести швеллера от подошвы его основания = 2,1 сант. а расстояние центра тяжести заклепок от этой же линии = 3,7 сант., то положение центра тяжести ослабленного сечения определится из соотношения:

$$(33,9 - 5,0)x = 33,9 \cdot 2,1 - 5 \cdot 3,7, \text{ или}$$

$$28,9x - 71,19 - 18,50 = 52,69, x = \frac{52,69}{28,9} = 1,8 \text{ сант.}$$

момент инерции ослабленного сечения относительно горизонтальной оси будет

$$\begin{aligned} 159,2 + 33,9(2,1 - 1,8)^2 - 5 \cdot (3,7 - 1,8)^2 \\ = 159,2 + 3,1 - 18,1 = 144,2 \text{ сант.}^4 \end{aligned}$$

и так как расстояние наиболее удаленного волокна от нейтральной оси = $7,5 - 1,8 = 5,7$ сант., то дополнительное напряжение в ребре от собственного веса будет

$$\frac{7380}{144,2} \cdot 5,7 = 292 \text{ кил. на кв. сант.}$$

В действительности напряжение от собственного веса будет меньше, потому что отдельные части затвора довольно жестко соединены одна с другой и затвор от действия собственного веса будет изгибаться, в некоторой степени как одно целое. (Большая часть приведенного выше расчета выполнена под руководством К. В. Попова).

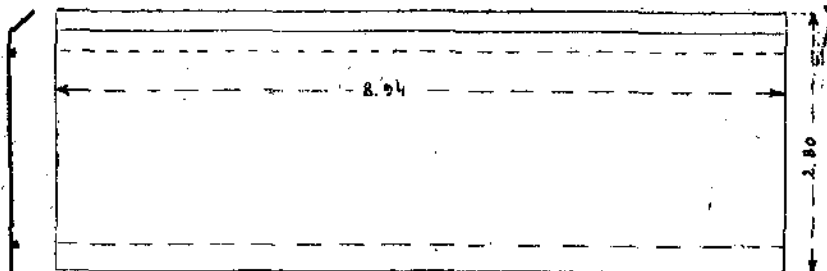
Расчет плотинного затвора системы Стонея, представленного на ч. 50.

$$\begin{aligned} \text{Высота } H = 2,80 \text{ мт.} \\ \text{Ширина } b = 8,94 \text{ "} \end{aligned}$$

Как обычно, при определении расчетной высоты напора воды, не принимаем во внимание ее противодействия с стороны низовой.

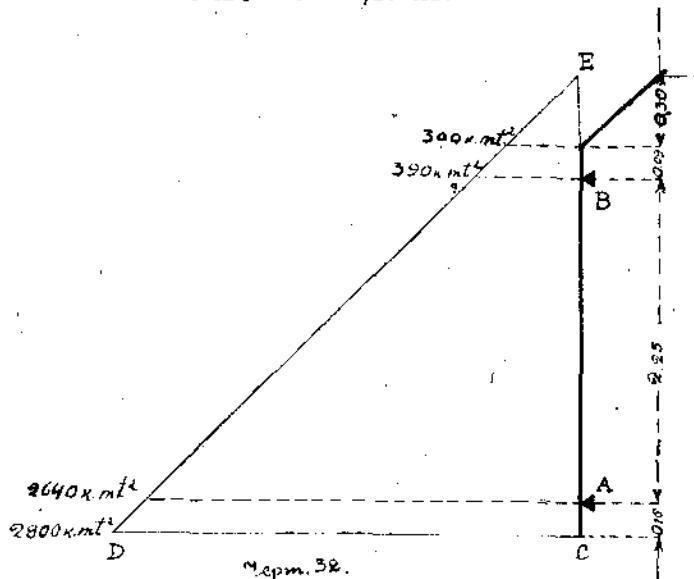
Наклонная часть щита, кроме горизонтального давления воды, испытывает также и вертикальное, равное весу находящейся над ней призмы воды. В видах упрощения расчета этого вертикального давления учитывать не будем.

Схематический разрез щита представляется таким (см. ч. 31 текста): общая высота щита $H=2,80$ мт., следовательно нижняя часть щита испытывает давление в 2800 кгр. на квадратный метр.



Черт. 31.

Горизонтальные балки—ребра A и B (см. ч. 32 текста) испытывают давление, равное реакциям опор A и B консольной балки CE , подверженной действию нагрузки с интенсивностью, изменяющейся по закону треугольника. Средний пролет AB рассматриваемой консольной балки $l=2,25$ мт., верхняя консоль $BE=a=0,09+0,30=0,39$ мт., величина же нижней консоли $AC=b=0,16$ мт.



Черт. 32.

Черт. 32.

Расстояние от направления равнодействующей давления до опоры *A*

$$h_A = \frac{a + l + b}{3} - b = \frac{1}{3}(a + l - 2b) = \frac{1}{3}(0,39 + 2,25 - 2,0,16) = \\ = 0,773 \text{ мт.},$$

а до опоры *B*

$$h_B = \frac{2}{3}(a + l + b) - a = \frac{1}{3}(2l + 2b - a) = \frac{1}{3}(2,2,25 + 2,0,16 - \\ - 0,39) = 1,477 \text{ мт.}$$

Взяв моменты относительно точек *A* и *B* равнодействующей давления воды, соответствующей площади треугольника *CDE*, определим реакции опор *A* и *B*.

$$P = \frac{1}{2} \cdot 2800 \cdot 2,8 = 3920 \text{ кгр. на 1 мт. ширины.}$$

$$2,25B = 3920 \cdot 0,773;$$

$$B = \frac{3920 \cdot 0,773}{2,25} = 1346,7 \text{ кгр.}$$

$$2,25A = 3920 \cdot 1,477;$$

$$A = \frac{3920 \cdot 1,477}{2,25} = 2573,3 \text{ кгр.}$$

Округленно принимаем $B = 1347$ кгр., $A = 2573$ кгр. Эти величины реакций, выражющие интенсивность нагрузки на верхнюю (*B*) и нижнюю (*A*) двутавровые балки,— в килогр. на погонный метр их длины—позволят определить размеры этих балок.

1) Расчет горизонтальных балок и обшивки.

Полная нагрузка, воспринимаемая верхней балкой.

$$Q_1 = 1347 \cdot 8,94 = 12042 \text{ кгр.}$$

Наибольший изгибающий момент в середине балки

$$M_{1max} = \frac{Q_1 l}{8} = \frac{12042 \cdot 8,94}{8} = 1345694 \text{ кгр. см.}$$

Необходимый момент сопротивления:

$$W_{1max} = \frac{M_{1max}}{\eta \text{ доп.}} = \frac{1345694}{1000} = 1346 \text{ см.}^3$$

Выбираем двутавровое железо № 42½ по нормальному германскому сортаменту, для которого $W_z = 1740 \text{ см.}^3$. В рабочую площадь сечения балки введем также часть обшивки, шириной 16,3 см., равную ширине полки балки. Для этого определим сначала толщину обшивки, пользуясь формулой Баха. Для расчета выделяем часть обшивки, ограниченную двумя вертикальными балками, соединительным швом между верхней и нижней частями обшивки и снизу — двутавровой балкой. Размеры выделенной части таковы:

$$\begin{aligned} \text{высота } a &= 109 \text{ см.,} \\ \text{ширина } b &= 74,5 \text{ см.,} \end{aligned}$$

высота воды над верхним краем рассматриваемой части обшивки $h = 155 \text{ см.}$

Тогда толщина обшивки

$$\begin{aligned} c &= 0,1 + 0,0005ab\sqrt{\frac{2h+a}{a^2+b^2}} = 0,1 + 0,0005 \cdot 109 \cdot 74,5 \cdot \\ &\sqrt{\frac{2 \cdot 155 + 109}{109^2 + 74,5^2}} = 0,1 + 4,0603 \cdot \sqrt{\frac{419}{17431}} = 0,1 + 4,0603 \cdot \sqrt{0,0244} = \\ &= 0,1 + 0,65 \text{ см.} = 0,75 \text{ см., принимаем } c = 10 \text{ м/м.} \end{aligned}$$

Произведем теперь поверку напряжений; находим координату центра тяжести рабочего сечения балки, приняв в нее часть обшивки, шириной в 16,3 см. = ширине полки,

$$\begin{aligned} y_o &= \frac{16,3 \cdot 1 \cdot 21,75}{16,3 + 132} = \frac{354,5}{148,3} = 2,39 \text{ см.,} \\ I_{z1}(br) &= 36973 + (16,3 \cdot 21,75^2 + \frac{16,3 \cdot 1^2}{12}) = 44685 \text{ см.}^4, \\ I_{zo}(br) &= 44685 - 148,3 \cdot 2,39^2 = 43840 \text{ см.}^4, \end{aligned}$$

ослабление заклепками

$$\begin{aligned} I_{z1} &= 2,3 \cdot 3 \cdot 1,8 \cdot 20,6^2 + 2 \cdot 2,3 \cdot 1,8 \cdot 20,1^2 + 2 \cdot 1,53 \cdot 1,8 \cdot 11,35^2 + \\ &+ 2 \cdot 1,53 \cdot 1,8 \cdot 3,75^2 = 5041 + 3345 + 709 + 77 = 9172 \text{ см.}^4 \\ I_{zo} &= 9172 - 31,18 \cdot 2,39^2 = 9172 - 178 = 8994 \text{ см.}^4 \\ I(\text{netto}) &= 43840 - 8994 = 34846 \text{ см.}^4 \end{aligned}$$

Наибольшее напряжение в волокне, удаленном от нейтральной оси на $y = 23,64 \text{ см.}$

$$n_{max} = \frac{My}{I_{netto}} = \frac{1345694 \cdot 23,64}{34846} = 913 \text{ кн./см.}^2 \cdot 1000.$$

Если же в рабочее сечение вовсе не вводить обшивки, то мы получим:

$$I_o' (br) = 36973 \text{ см.}^4, I_o' \text{ закл.} = 7477 \text{ см.}^4$$

$$I_o' \text{ netto} = 36973 - 7477 = 29496 \text{ см.}^4$$

$$W \text{ netto} = \frac{29496}{21,25} = 1388 \text{ кгр./см.}^3$$

$$n = \frac{1345694}{1388} = 970 \text{ кгр. см.}^2 < 1000 \text{ кгр. см.}^2$$

Полная нагрузка на нижнюю балку:

$$Q_2 = Al = 2573,894 = 23003 \text{ кгр.}$$

Наибольший изгибающий момент в средине балки:

$$M_{2\max} = \frac{Q_2 l}{8} = \frac{23003,894}{8} = 2570585 \text{ кгр. см.,}$$

необходимый момент сопротивления

$$W \text{ netto} = \frac{M_{2\max}}{n \text{ доп.}} = \frac{2570585}{1000} = 2571 \text{ см.}^3$$

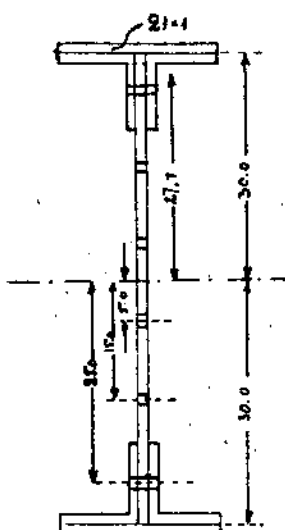
Сечение двутавровой клепаной балки для этого случая составляем из вертикальной стенки, высотою 60 см., толщиною 1 см., 4 равнобоких уголков, 10.10.1,2 см., и двух поясных листов, 21,1 см. (один из них, как и раньше, является выделенной частью обшивки). Один поясной лист мы не будем продолжать во всю длину, а оборвем, где это позволит сделать величина изгибающего момента.

Полное рабочее сечение (см. ч. 33 текста):

$$I_{br.} = 2 \cdot \left[\frac{21 \times 1^3}{12} + 21 \cdot 30,5^2 \right] (\text{поясн. л.}) + \frac{1 \cdot 60^3}{12} (\text{стенка}) + 4 \cdot$$

$$(206,4 + 22,73 \cdot 27,1^2) (\text{уголки}) = 2 \cdot [2 + 19535] + 18000 + 4 \cdot$$

$$[206,4 + 16693] = 39074 + 18000 + 67598 = 124672 \text{ см.}^4$$



Черт. 33.

Ослабление заклепками (диаметр $d = 18$ м/м.) — 4 заклепки в поясных листах и 6 заклепочных отверстий в стенках балки.

$$I_{\text{закл.}} = 4 \cdot 2,2 \cdot 1,8 \cdot 29,9^2 + 2,3 \cdot 4 \cdot 1,8 \cdot 25,0^2 + 2 \cdot 1 \cdot 1,8 \cdot 15,0^2 + 2 \cdot 1 \cdot 1,8 \cdot 5,0^2 = 14161 + 7650 + 810 + 90 = 22711 \text{ см.}^4$$
$$Inetto = 124672 - 22711 = 101961 \text{ см.}^4$$
$$W_{\text{netto}} = \frac{101961}{31} = 3289 \text{ см.}^3 > 2571 \text{ см.}^3$$

Наибольшее нормальное напряжение в середине балки

$$\sigma_{\max} = \frac{M_{\max}}{W_{\text{netto}}} = \frac{2570585}{3289} = 782 \text{ кгр./см.}^2$$

Определяем процентную неточность подбора сечения.

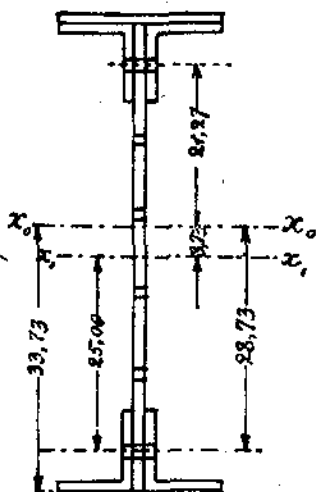
$$k = \frac{3289 - 2571}{2571} \cdot 100 = 28\%$$

Несмотря на эту как бы большую неточность, на данном сечении мы и останавливаем свой выбор.

Дело в том, что при расчете не принимался во внимание собственный вес всей конструкции; вес же щита больше всего действует на рассматриваемую балку, что и заставляет нас сохранить подобранное сечение. Определим теперь то расстояние x от опоры, на котором, считая от последней, сечение балки может быть ослаблено удалением 1 поясного листа 21,1 см. Для этого определим момент инерции ослабленного сечения.

Расстояние от старой нейтральной оси до нейтральной оси ослабленного сечения (см. ч. 34 текста).

$$y_0 = \frac{30,5 \cdot 21,1}{21 + 60 + 4 \cdot 22,73} = \frac{640,5}{171,92} = 3,73 \text{ см.}$$



Черт. 34.

Момент инерции сечения относительно старой оси:

$$I_{z1} = \left[\frac{21.1^3}{12} + 21.30,5^2 \right] + \frac{1.60^3}{12} + 4.(206,4 + 22,73.27,1) = \\ = 19537 + 18000 + 67598 = 105135 \text{ см.}^4$$

Момент инерции относительно нейтральной оси (*brutto*)

$$I_{zo} = I_{z1} - \omega y_o^2 = 105135 - 171,92.3,73^2 = 105135 - 2391 = \\ = 102744 \text{ см.}^4$$

Ослабление заклепками:

$$I_{z1} \text{ закл.} = 2.2.2.1.8.29,9^2 + 2.1.2.1.8.29,4^2 + 2.3.4.1.8.25^2 + \\ + 2.1.1.8.15^2 + 2.1.1.8.5^2 = 7080 + 3734 + 7650 + 810 + 90 = \\ = 19364 \text{ см.}^4$$

Площадь заклепочных отверстий:

$$w_1 = (2.2.2 + 2.1.2 + 2.3.4 + 4.1).1.8 = 31,68 \text{ см.}^2$$

$$I_{zo} \text{ закл.} = 19364 - 31,68.3,73^2 = 19364 - 440 = 18924 \text{ см.}^4$$

$$I_{zo} \text{ netto} = 102744 - 18924 = 83820 \text{ см.}^4$$

$$W_{zo} \text{ netto} = \frac{83820}{33,73} = 2485 \text{ см.}^3 < 2571 \text{ см.}^3$$

Сечение балки с моментом сопротивления $W_{netto} = 2485 \text{ см.}^3$ будет пригодно только для той ее части, где величина изгибающего момента не превосходит $M = W_{netto}.R = 2485.1000 = 2485000 \text{ кгр. см.}$

Определим расстояние от опоры, где $M_x = 2485000 \text{ кгр. см.}$
Общее уравнение момента равномерно загруженной балки

$$M_x = \frac{p}{2}x - \frac{p}{2}x^2;$$

следовательно, для нашего случая:

$$2485000 = \frac{25,73.894.x}{2} - \frac{25,73.x^2}{2}; x^2 - 894x + 193160 = 0;$$

$$x = 447 \pm \sqrt{447^2 - 193160} = 447 \pm 82; x_1 = 365 \text{ см.}, x_2 = 529 \text{ см.}$$

Следовательно, на расстоянии 365 см. от опоры надобности в одном листе 21.1 см. не имеется. Этим расстоянием определяется теоретическое место обрыва поясного листа. Дей-

ствительное же место обрыва приближается к опорам на величину полунакладки стыка этого листа (Патон., „Железные мосты“, т. I, гл. X, § 98). Рабочая площадь обрываемого листа, за вычетом 2 заклепок,

$$d = 1,8 \text{ см.}, \omega_{netto} = 21,1 - 2 \cdot 1,1 \cdot 1,8 = \\ = 21,0 - 3,6 = 17,4 \text{ см.}^2$$

Число заклепок

$$n = \frac{\omega_{netto}}{0,8 \frac{\pi d^2}{4}} = \frac{17,4}{0,8 \frac{\pi \cdot 1,8^2}{4}} = \\ = 8,5 \text{ закл.} \leq 10$$

Расстояние между заклепками $3d = l_1 = 3 \cdot 1,8 = 54 \text{ м/м.} \overline{S} 5 \text{ см. Расстояние от последней пары заклепок до края листа}$

$$= 1,5 = 1,5 \cdot 1,8 = 3 \text{ см.}$$

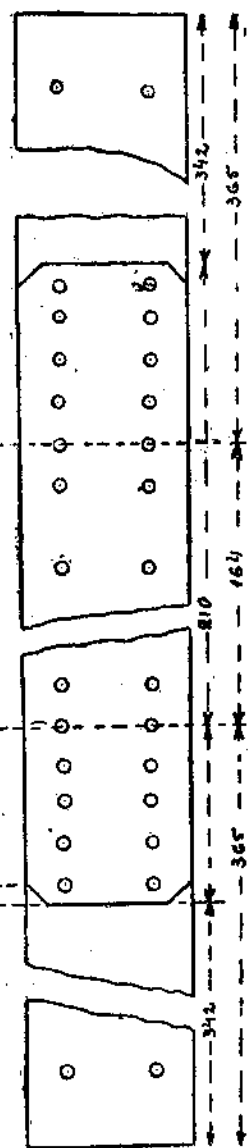
Теоретическая длина поясного листа

$$l_1 = x_2 - x_1 = 529 - 365 = 164 \text{ см.},$$

благодаря же заклепочным соединениям (5 пар заклепок на расстоянии 50 м/м.), длина листа с каждой стороны увеличивается на $5,0,4 + 3 = 23 \text{ см.}$, следовательно, истинная длина листа $l = l_1 + 23 \cdot 2 = 164 + 46 = 210 \text{ см.}$, что поясняется чертежом (см. ч. 35 текста).

В месте теоретического обрыва поясного листа произведем поверку на косые нормальные и касательные напряжения для волокна на расстоянии 28,73 см. от нейтральной оси. Величина изгибающего момента в месте теоретического обрыва поясного листа

$$M_{365} = \frac{1}{2} \cdot 25,73 \cdot 894 \cdot 365 - \frac{1}{2} \cdot 25,73 \cdot 365^2 = 2484039 \text{ кгр. см.}$$



Черт. 35.

Статический момент половины сечения с парой уголков и частью стенки ниже заклепочного отверстия $S = 2.[27,1 + + 3,73].22,73 + 4,1.31,68 = 2.22,73.30,83 + 130 = 1432$ см.³. Нормальное напряжение на уровне оси заклепки, прикрепляющей уголки к стенке:

$$n = \frac{My}{I_{netto}} = \frac{2484039.28,73}{83820} = 852 \text{ кгр./см.}^2$$

Касательное напряжение

$$t = \frac{Q \cdot S}{Jb} \cdot \frac{e}{e - d}$$

Поперечная сила

$$Q = \frac{23003}{2} = 2573.3,65 = 2110 \text{ кгр.}$$

Шаг заклепок заранее принимаем $e = 10$ см., тогда касательное напряжение

$$t = \frac{2110.1432}{102744,1} \cdot \frac{10}{10 - 1,8} = 36 \text{ кгр./см.}^2,$$

наибольшее косое нормальное напряжение:

$$n' = \frac{n}{2} + \sqrt{\frac{n^2}{4} + t^2} = \frac{852}{2} + \sqrt{\frac{852^2}{4} + 36^2} = 853 \text{ кгр./см.}^2, \\ < 1000 \text{ кгр./см.}^2,$$

наибольшее косое касательное напряжение:

$$t' = \sqrt{\frac{n^2}{4} + t^2} = \sqrt{\frac{852^2}{4} + 36^2} = 427 \text{ кгр./см.}^2 < 800 \text{ кгр. см.}^2,$$

наибольшее же нормальное напряжение:

$$n_{max} = \frac{M_{max}}{W_{netto}} = \frac{2484039}{2485} = 999,7 \text{ кгр./см.}^2 < 1000 \text{ кгр. см.}^2$$

Определим теперь шаг поясных заклепок. Касательная сила, приходящаяся на единицу длины балки около опоры, стремящаяся сдвинуть поясной лист и уголки со стенкой $T = \frac{QS}{I}$, где Q — поперечная сила на опоре, S — статический момент двух уголков и листа.

Находим момент инерции (*brutto*) сечения с высотой стенки $h = 41,5$ см., так как по конструктивным соображе-

ниям в местах прикрепления концов этой балки к вертикальным крайним стойкам, из двутаврового железа за № 42,5, ей необходимо придать общую высоту вместе с обшивкой в 42,5 см.

Расстояние от нейтральной оси до оси, проходящей через центр тяжести сечения:

$$y_o = \frac{21 \cdot 1 \cdot 21,25}{21 + 41,5 + 4,22,73} = \frac{446,25}{153,42} = 2,91 \text{ см.}$$

Момент инерции относительно оси, проходящей через центр тяжести сечения x_1x_1 (см. ч. 36 текста).

$$I_{x_1} = \left[\frac{21 \cdot 1^3}{12} + 21 \cdot 21,25^2 \right] + 4 \cdot (206,4 + 22,73 \cdot 17,85^2) + \\ + \frac{1 \cdot 41,5^3}{12} = 9484 + 29795 + 5956 = 45235 \text{ см.}^4$$

$$I_{x_0} = 45235 - 153,42 \cdot 2,91^2 = 45235 - 1299 = 43936 \text{ см.}^4$$

Статический момент верхней пары уголков и листа относительно оси (x_0x_0)

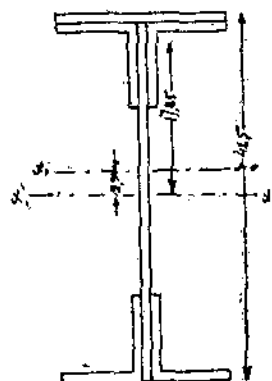
$$S = 2 \cdot 22,73 \cdot 14,94 + 21 \cdot 1 \cdot 18,34 = \\ = 679 + 385 = 1064 \text{ см.}^3$$

поперечная сила на опоре

$$Q = \frac{23003}{2} = 11502 \text{ кгр.}$$

Касательная сила на единицу длины:

$$T = \frac{11502,1064}{43936} = 279 \text{ кгр.}$$



Черт. 36

Шаг заклепок должен быть

- 1) $a < \frac{\pi d^2}{2T} R_t$ $(R_t = 0,8, R = 800 \text{ кгр./см.}^2)$.
- 2) $a < \frac{d^2}{T} R_s$ $(R_s = 2, R = 2000 \text{ кгр./см.}^2)$.
- 3) $a > \frac{d}{1 - T/d R_t}$

Первое неравенство дает:

$$a < \frac{3,14 \cdot 1,8^2}{2 \cdot 279} \cdot 800; a < 14,6.$$

Из второго неравенства:

$$a < \frac{1,8 \cdot 1}{279} \cdot 2000; a < 12,9 \text{ см.}$$

Третье неравенство дает предел:

$$a > \frac{1,8}{1 - \frac{279}{1.800}}; a > 2,9 \text{ см.}$$

На основании всех этих неравенств принимаем шаг в 10 см.
Проверим далее скользящие напряжения у опор балки

$$t = \frac{QS}{I_b b} \cdot \frac{e}{e - d},$$

где S — статический момент половины сечения на опоре (*brutto*).

$$S = 2.22,73.14,94 + 21.1.18,34 + 17,84.1.8,92 = \\ = 679 + 385 + 159 = 1223 \text{ см.}^3$$

$$t = \frac{11502.1223}{43936.1} \cdot \frac{10}{10 - 1,8} = 390 \text{ кгр./см.}^2,$$

что менее допускаемого напряжения на скольжение $R_t = 0,8R = 800 \text{ кгр. см.}^2$

2) Расчет стоек.

Стойки доходят до полок верхних и нижних горизонтальных балок двутаврового сечения, тем не менее, при расчете полагаем, что длина их равна расстоянию между центрами тяжести сечения двутавровых балок, т.е. $l = 2,25 \text{ мт.} = 225 \text{ см.}$

Истинная же длина их:

$$l = 225 - \left[10,5 + \frac{16,3}{2} \right] = 225 \text{ см.} - 18,6 = 206,4 \text{ см.}, \text{ где } 10,5 -$$

расстояние от края уголка (10.10.1,2) до оси, проходящей через центр тяжести сечения нижней балки, а величина $\frac{16,3}{2}$ — половина ширины полки верхней двутавровой балки № 42,5.

Трапецию давления воды разбиваем на составляющие ее прямоугольник и треугольник (см. ч. 37 текста). Определим величину каждого составляющего давления на часть

щита, шириной 0,745 мт.
(расстояние между вертикальными стойками).

Величина нагрузки прямоугольником:

$$p_1 = 390 \cdot 2,25 \cdot 0,75 = \\ = 654 \text{ кгр.}$$

Нагрузка треугольником:

$$p_2 = (2640 - 390) \cdot \frac{2,25}{2} \cdot 0,75 = \\ = 1886 \text{ кгр.}$$

Под действием равномерно распределенной нагрузки, общим весом p_1 , балка подвергается изгибающему моменту

Черт. 37

$$M'_x = \frac{p_1 x}{2} \left(1 - \frac{x}{l}\right).$$

Найдем также общее выражение момента в случае распределения нагрузки по закону треугольника (см. ч. 38 текста). Пусть интенсивность нагрузки на опоре A — p кгр. на пог. метр, величина пролета $= l$.

Величина всей нагрузки:

$$p_2 = \frac{1}{2} p l.$$

опорные реакции:

$$A = \frac{2}{3} p_2, \quad B = \frac{1}{3} p_2,$$

а момент в расстоянии x от опоры B :

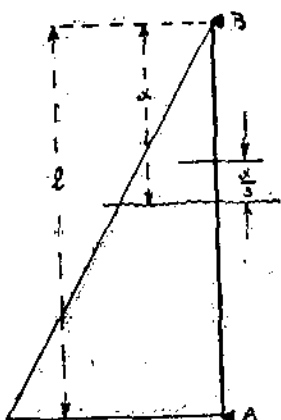
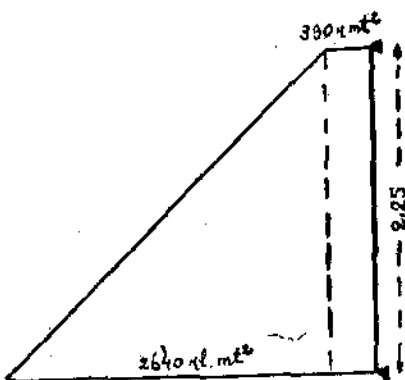
$$M''_x = Bx - \left[\frac{1}{2} p_2 x\right] \frac{x}{3}.$$

Величину p_2 определяем из отношения

$$\frac{p_2}{p} = \frac{x}{l}; \quad p_2 = \frac{px}{l}.$$

Тогда

$$M''_x = \frac{p_2}{3} x - \left[\frac{1}{2} \frac{px^2}{l}\right] \frac{x}{3}, \quad p = \frac{p_2}{l/3} = \frac{2p_2}{l}.$$



Следовательно:

$$M''_x = \frac{p_2}{3}x - \frac{1}{2} \cdot \frac{2p_2x^2}{l} \cdot \frac{x}{3} = \frac{p_2x}{3} \left[1 - \frac{x^2}{l^2} \right].$$

Суммарная же величина момента в любом сечении при одновременном действии обоих нагрузок.

$$M_x = M'_x + M''_x = \frac{p_1x}{2} \left(1 - \frac{x}{l} \right) + \frac{p_2x}{3} \left(1 - \frac{x^2}{l^2} \right).$$

Подставляя значения p_1 и p_2 , находим максимальный изгибающий момент:

$$M_x = \frac{654x}{2} \left[1 - \frac{x}{225} \right] + \frac{1886x}{3} \left[1 - \frac{x^2}{225^2} \right] = 955,7x - 1,453x^2 - 0,01242x^3.$$

$$\frac{dM_x}{dx} = -3 \cdot 0,01242x^2 - 2 \cdot 1,453x + 955,7 = 0,03726x^2 + 2,906x - 955,7 = 0,$$

$$x = \frac{-2,906 \pm \sqrt{2,906^2 + 4 \cdot 0,03726 \cdot 955,7}}{2 \cdot 0,03726} = \frac{2,906 \pm 12,283}{0,07452},$$

$$x = \frac{12,283 - 2,906}{0,07452} = \frac{9,377}{0,07452} = 126 \text{ см.}$$

Величина наибольшего изгибающего момента

$$M_{\max} = 955,7 \cdot 126 - 1,453 \cdot 126^2 - 0,01242 \cdot 126^3 = \\ = 120418 - 23068 - 24845 = 72505 \text{ кгр. см.}$$

Для данного M_{\max} необходим момент сопротивления

$$W_{netto} = \frac{72505}{1000} = 73 \text{ см.}^3$$

По русскому нормальному сортаменту выбираем профиль корытного железа № 16 с моментом инерции $I = 954 \text{ см.}^4$ и $W = 119 \text{ см.}^3$ (см. ч. 39 текста).

Вводим ослабление 2 заклепками в полках, как показано на чертеже,

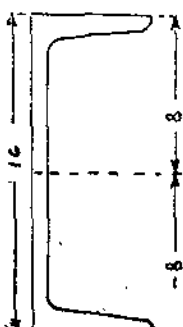
$$I \text{ зал.} = 2 \cdot 1,8 \cdot 1,1 \cdot 7,45^2 = 220 \text{ см.}^4$$

$$Inetto = 954 - 220 = 734 \text{ см.}^4$$

$$W_{netto} = \frac{734}{8} = 92 \text{ см.}^3 > 73 \text{ см.}^3$$

Напряжение:

$$n = \frac{72505}{92} = 788 \text{ кгр./см.}^2 < 1000 \text{ кгр./см.}^2$$



Черт. 39.

По второму способу рассчитываем данную стойку, как балку, закрепленную своими концами и, для простоты расчета, загруженную равномерной нагрузкой средней для пролета интенсивности.

Полный вес этой нагрузки

$$P = p_1 + p_2 = 654 + 1886 = 2540 \text{ кгр.}$$

Тогда наибольший по абсолютной величине изгибающий момент на опоре:

$$M_{\max} = \frac{Pl}{12} = \frac{2540 \cdot 225}{12} = 47625 \text{ кгр. см.}$$

и напряжение в этом случае:

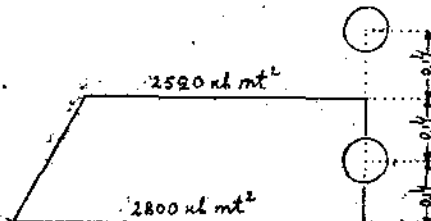
$$n' = \frac{47625}{92} = 518 \text{ кгр./см.}^2$$

В действительности же способ закрепления балки занимает некоторое среднее положение между двумя разобранными нами случаями, т.-е. можно считать, что стойка не вполне закреплена своими концами.

Тогда среднее напряжение:

$$n \text{ ср.} = \frac{1}{2}(n + n') = \frac{1}{2}(788 + 518) = 653 \text{ кгр./см.}^2$$

Для большей тяжести всей конструкции, напряжения в вертикальных стойках не повышаем, а все стойки делаем из корытного железа № 16. Шаг заклепок, связывающих обшивку с вертикальными стойками, оставляем равным шагу поясных заклепок нижней горизонтальной двутавровой клепаной балки $l = 10 \text{ см.}$



Черт. 40.

3) Расчет катков.

Расчет катков, воспринимающих давление воды, ведем как расчет таковых для мостовых опор, исходя из наибольшего усилия, воспринимаемого нижней парой катков. Полагаем, что на каждой стороне щита находится 10 катков

на расстоянии h один от другого, нижние же катки отстоят от дна шлюза на величину $\frac{h}{2}$. (см. ч. 40 текста).

В этом случае:

$$\frac{H}{10} = h = \frac{280}{10} = 28 \text{ см.} = 0,28 \text{ мт.}$$

$$\frac{h}{2} = \frac{28}{2} = 14 \text{ см.} = 0,14 \text{ мт.}$$

Давление, воспринимаемое парой нижних катков:

$$2P = \frac{1}{2} \cdot (2800 + 2520) \cdot 0,28 \cdot 8,94 = 6659 \text{ кгр.}$$

На каждый же каток передается

$$P = \frac{6659}{2} = 3329 \text{ кгр.}$$

Задаемся размерами катка, принимая длину его $l = 20$ см., $d = 10$ см., и производим поверку по формуле Герцца. Напряжение в месте соприкосновения катка с плоскостью качения:

$$\delta = 0,598 \sqrt{\frac{p}{r} \cdot \frac{E_1 E_2}{E_1 + E_2}},$$

где p — нагрузка на единицу длины катка,

r — радиус катка в см.,

E_1 и E_2 — модули упругости материалов катка и плоскости качения,

т.е.

$$p = \frac{P}{l} = \frac{3329}{20} = 166 \text{ кгр.} = 0,166 \text{ тонн.},$$

$$r = \frac{d}{2} = \frac{10}{2} = 5 \text{ см.},$$

$E_1 = 2150$ для литого железа,

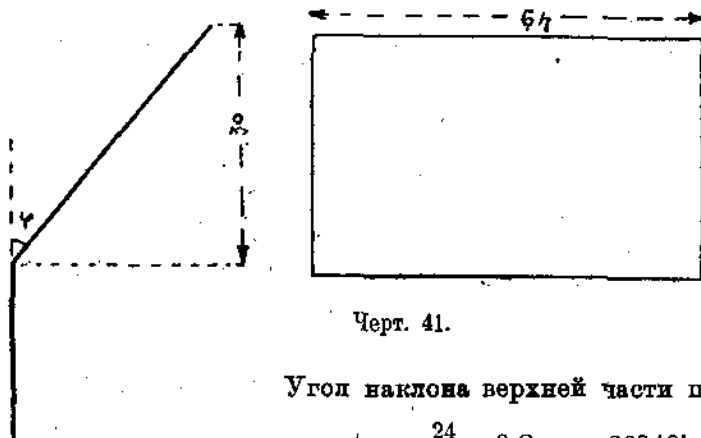
$E_2 = 2200$ для стали.

Тогда

$$\delta = 0,588 \sqrt{\frac{0,166 \cdot 2150 \cdot 2200}{5 \cdot (2150 + 2200)}} = 3,5 \text{ тонн. на кв. сант.}$$

4) Расчет наклонной части щита.

Наклонную часть рассчитываем как мачту, по формуле Баха, учитывая наклон ее к горизонту под углом α (см. ч. 41 текста).



Черт. 41.

Угол наклона верхней части щита:

$$\operatorname{tg} \varphi = \frac{24}{30} = 0,8; \varphi = 38^\circ 40'.$$

Длина наклонной части:

$$AB = \frac{30}{\cos 38^\circ 40'} = 38 \text{ см.}$$

Толщина щита:

$$\delta = 0,1 + 0,0005ab \sqrt{\frac{h}{a^2 + b^2}} = \\ = 0,1 + 0,0005 \cdot 49 \cdot 38 \sqrt{\frac{30}{49^2 + 38^2}} = 0,13 \text{ см.}$$

Принимаем $\delta = 5 \text{ м/м.}$

5) Подсчет веса щита.

Вертикальная обшивка $v = (894 + 16,3) \cdot 250 = 227575 \text{ см.}^3$,

$$p = v \cdot d = 227575 \cdot 7,8 = 1775085 \text{ гр.} = 1775 \text{ кгр.}$$

Наклонная обшивка $v = 38,4 \cdot 894 \cdot 0,5 = 17165 \text{ см.}^3$,

$$p = v \cdot d = 17165 \cdot 7,8 = 133887 \text{ гр.} = 134 \text{ кгр.}$$

Вертикальные стойки I железа 11 штук № 16 по 2,064 мт.

$$p = 11 \cdot 2,064 \cdot 18,56 = 421 \text{ кгр.}$$

Боковые стойки I железа 2 шт. № 42,5 по 2,25 мт.

$$2 \cdot 2,25 \cdot 104 = 468 \text{ кгр.}$$

Верхняя горизонтальная балка I жел. № 42,5 в 8,94 мт.

$$104 \cdot 8,94 = 930 \text{ кгр.}$$

Уголки $10 \times 10 \times 1,2$ нижней клепаной балки — 4 шт. по 8,94 мт.

$$17,84 \cdot 4 \cdot 8,94 = \infty 638 \text{ кгр.}$$

Уголки $7,0 \cdot 7,0 \cdot 0,9$ на нижней балке 11 шт.

$$9,32 \cdot 11 \cdot 0,6 = \infty 62 \text{ кгр.}$$

Стенка клепаной балки

$$v = 60,894 \cdot 1 = 53640 \text{ см.}^3,$$

$$p = vd = 53640 \cdot 7,8 = 418392 \text{ гр.} = \infty 418 \text{ кгр.}$$

Поясной лист клепаной балки:

$$v = 21,210 \cdot 1 = 4410 \text{ см.}^3$$

$$p = vd = 4410 \cdot 7,8 = 34398 \text{ гр.} = 34 \text{ кгр.}$$

Накладки для склеек листов, шириной 12 см.,

$$v = (250 + 894) \cdot 12 \cdot 1 = 13728 \text{ см.}^3$$

$$p = vd = 13728 \cdot 7,8 = 107078 \text{ гр.} = \infty 107 \text{ кгр.}$$

Фасонные прокладки для скрепления горизонтальных балок с вертикальными стойками 10 шт. по 6 кгр.

$$6 \times 10 = 60 \text{ кгр.}$$

Дубовый брус $14,3 \cdot 20$ см. =

$$= 14,3 \cdot 20 \cdot 894 \cdot 1 = 255684 \text{ гр.} = \infty 256 \text{ кгр.}$$

5303 кгр.

$\infty 5\%$ на заклепочные головки 275 кгр.

Итого $P_1 = 5578 \text{ кгр.}$

6) Расчет подъемной силы.

Для преодоления силы трения необходимо приложить силу:

$$Q = P_2 \cdot \frac{f}{r},$$

где P_2 — полное давление воды на щит,

“ f — коэффициент трения качения = 0,1 сант.,

“ r — радиус катка = 5 см.

Полное горизонтальное давление воды на щит

$$P_2 = \frac{1}{2} \cdot 2800 \cdot 2,8 \cdot 8,94 = 35045 \text{ кгр.},$$

поэтому:

$$Q = 35045 \cdot \frac{0,1}{5} = 701 \text{ кгр.}$$

Наклонная часть щита вызывает появление вертикального давления воды, равного весу призмы воды,

$$P_2 = \frac{1}{2} \cdot 0,3 \cdot 0,24 \cdot 8,94 \cdot 1000 = 322 \text{ кгр.}$$

Следовательно, для подъема щита необходима сила

$$P = P_1 + Q + P_2 = 5578 + 701 + 322 = 6601 \text{ кгр.}$$

Принимая во внимание возможность различных случайных сопротивлений при подъеме, подъемный механизм рассчитываем на силу 6700 кгр.

7) Расчет напряжений от собственного веса затвора.

Так как отдельные части затвора довольно жестко соединены между собой, то весь затвор от действия собственного веса изгибаются до некоторой степени как одно целое и задача нахождения величины напряжений в частях затвора довольно неопределенна, тем более, что напряжения зависят и от веса противовесов; если же принять, с значительным запасом в пользу прочности, что, например, нижнее ребро затвора вместе с соответствующей долею промежуточных стоек и обшивки изгибается независимо от верхнего ребра, то при весе ребра в 1152 кил., весе половины всех промежуточных стоек = 210 кил. и весе половины обшивки = 887 кил., вес ребра со стойками и обшивкой будет

$$1152 + 210 + 887 = 2249 \text{ кил.}$$

и, следовательно, вес одного погонного сантиметра будет

$$2249 : 894 = 2,52 \text{ кил.}$$

и если рассматривать ребро как неразрезную балку на четырех опорах, соответствующих точкам прикрепления к затвору двух зубчатых реек, отстоящих одна от другой на 452 сант. и двух проволочных канатов, идущих к противовесам, по концам, отстоящих на 221 сант. от зубчатых реек,

то момент M на одной из средних опор определится, по теореме о трех моментах, из соотношения:

$$2M(221 + 452) + M \cdot 452 = -6.252 \cdot \frac{221^2}{12} \cdot \frac{1}{2} - 6.252 \cdot \frac{452^2}{12} \cdot \frac{1}{2}$$

$$\text{или } 1798M = -0,63(221^2 + 452^2)$$

$$\text{откуда } M = -\frac{0,63(48841 + 204304)}{1798} = -0,63 \cdot \frac{253145}{1798} = -0,63 \cdot 141 = \\ = -88,83 \text{ кил. сант.}$$

Реакция R крайней опоры определится из равенства

$$R \cdot 221 - 2,52 \cdot \frac{221^2}{2} = -88,83;$$

$$\text{откуда } R = 1,26 \cdot 221 - \frac{88,83}{221} = 278,5 - 0,4 = 278 \text{ кил.}$$

и реакция S средней опоры будет

$$S = \frac{2249}{2} - 278 = 1125 - 278 = 847 \text{ кил.}$$

Наибольший изгибающий момент будет в середине ребра и равен

$$278(221 + 226) + 847 \cdot 226 - \frac{2,52}{2}(221 + 226)^2$$

$$\text{или } 278 \cdot 447 + 847 \cdot 226 - 1,26 \cdot 447^2 = 124266 + 191422 - 251759 = \\ = 63929 \text{ кил. сант.,}$$

так как момент инерции ребра относительно горизонтальной оси будет

$$60 \cdot \frac{1}{12} + 2 \cdot 1 \cdot \frac{21^3}{12} + 4(206,4 + 22,7 \cdot 3,4^2) - 4 \cdot 1,8 \cdot 2,2 \cdot 5,5^2 =$$

$$= 5 + 1543 + 4(206,4 + 22,7 \cdot 11,56) - 3,96 \cdot 121 =$$

$= 1548 + 4(206,4 + 262,4) - 479 = 1069 + 1875 = 2944 \text{ сант.}^4$,
и так как расстояние наиболее удаленного волокна от нейтральной оси $= 10,5$ сант., то добавочное напряжение в нижнем ребре затвора от собственного веса будет

$$\frac{63929}{2944} \cdot 10,5 = 21 \times 10,5 = 230 \text{ кил. на кв. сант.}$$

(Большая часть вышеприведенного расчета выполнена под руководством К. В. Попова).

Чертежи 1 — 71, помещенные на первых шестнадцати листах атласа, заимствованы, главным образом, из следующих сочинений:

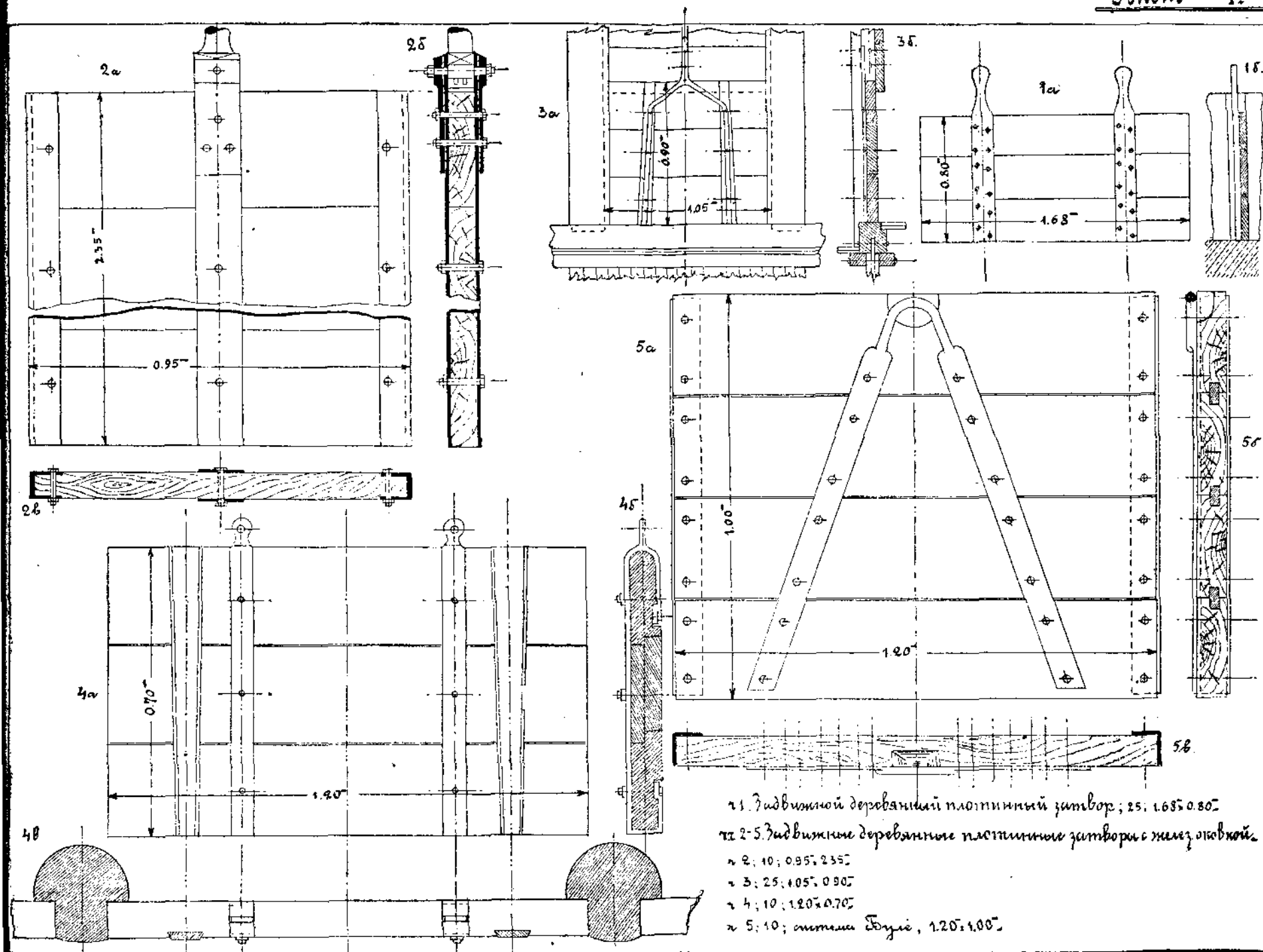
- 1) Prof. K. E. Hilgard, M. Am. Soc. C. E., Zürich.
Die beweglichen Wehre.
(Handbuch der Jngenieurwissenschaften. Dritter Teil. (Der Wasserbau)
Zweiter Band (Stauwerke). Erste Abteilung (Wehre und Fischwege).
Vierte Auflage. Leipzig. 1912).
- 2) Dr.—Ing. Adolf Ludin.
Die Wasserkräfte, ihr Ausbau und ihre wirtschaftliche Ausnutzung.
Berlin. 1913.
- 3) E. Mattern. Die Talsperren. Technische und wirtschaftliche Grundlagen.
(Handbuch der Jngenieurwissenschaften. Dritter Teil. (Der Wasserbau) Zweiter
Band (Stauwerke), Dritter Abschnitt (Talsperren) Vierte Auflage.
Leipzig und Berlin. 1913.
- 4) Max Möller. Grundriss des Wasserbaues. Für Studierende und Jngenieure.
In zwei Bänden. Leipzig. 1906.
- 5) C. Schiffmann. Leitfaden des Wasserbaues. Leipzig. 1905.
- 6) Friedrieh. Kulturtechnischer Wasserbau 1912.
- 7) S. Deutsch. Der Wasserbau. 1906.
- 8) Robert Burton Buckley, C. S. I. The Irrigation Works of India. Second
Edition. London. New-York. 1905.
- 9) W. Willcocks, Egyptian Irrigation, 1913.
- 10) N. H. Henket, Dr. Ch. M. Schols en J. M. Telders. Waterbouwkunde.
Eerste Deel. Afd. VII. Bevloeiingen bewerkt door I. E. de Meijer
'S—Gravenhage. 1891.
- 11) Turazza. Derivazione dei canali artefatti dai fiumi o dai torrenti 1889.

Из журналов.

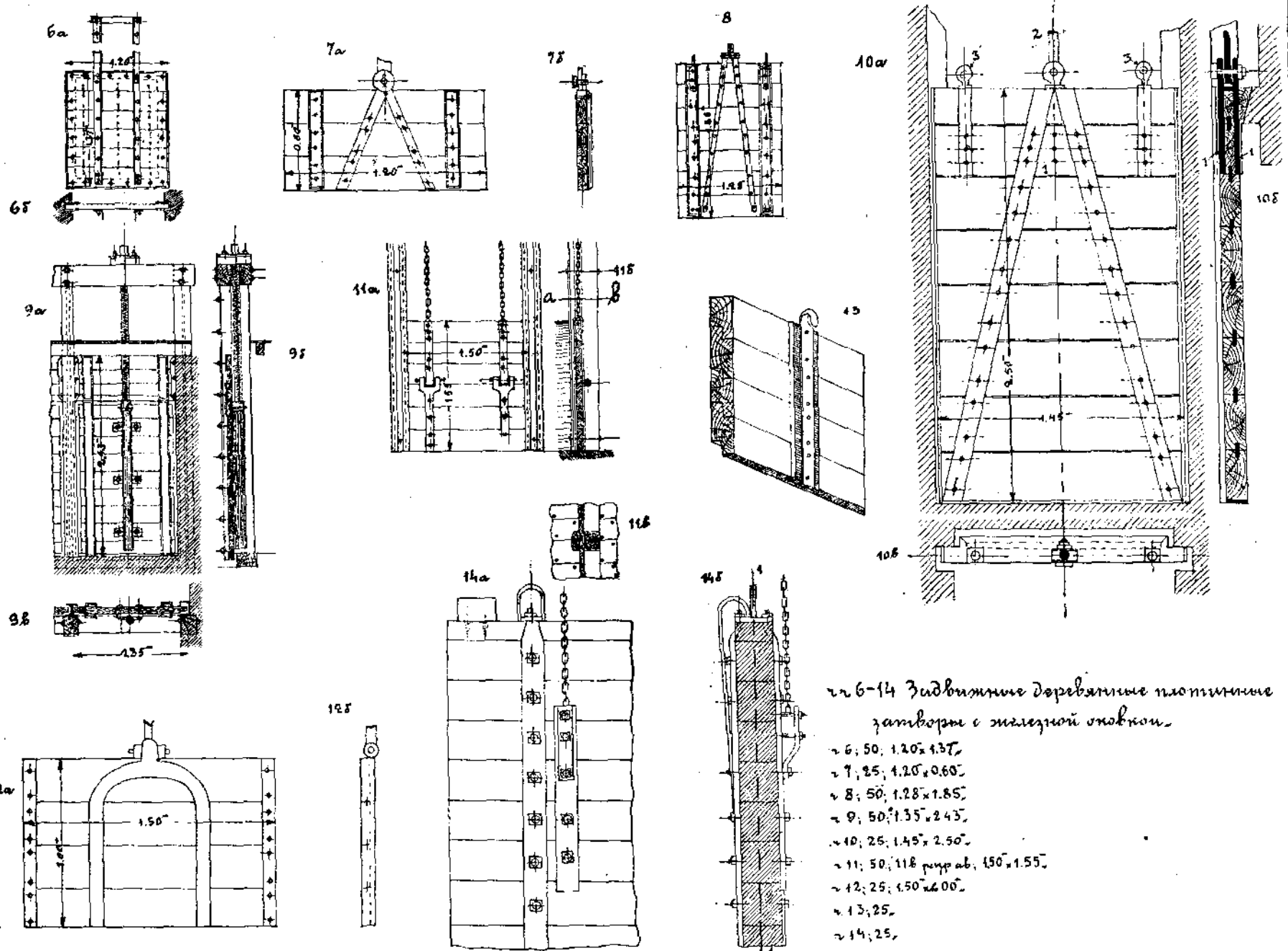
- I) Zeitschrift des Vereines deutscher Jngenieure.
- II) Zeitschrift für Bauwesen.
- III) Engineering News.
- IV) Engineering Record.
- V) Engineering News-Record.

Громадное большинство чертежей были вычерчены заново в раз навсегда определенных масштабах: 1:5; 1:10; 1:25; 1:50; 1:100; 1:250 и т. д.) эта работа была выполнена преимущественно инженером-агрономом Е. М. Чумичевым). Но, к сожалению, при изготовлении клише, по недоразумению, все чертежи на первых листах атласа, копчая шестнадцатым, были уменьшены в 1,25 раз, так что вместо 1:5 получился ни с чем несоставный масштаб 1:6,25 вместо 1:10—1:12,5; вместо 1:25—1:31,25; вместо 1:50—1:62,5; вместо 1:100—1:125 и т. д.

На ч. 39 текста должно быть по заклепке в каждой из полок.



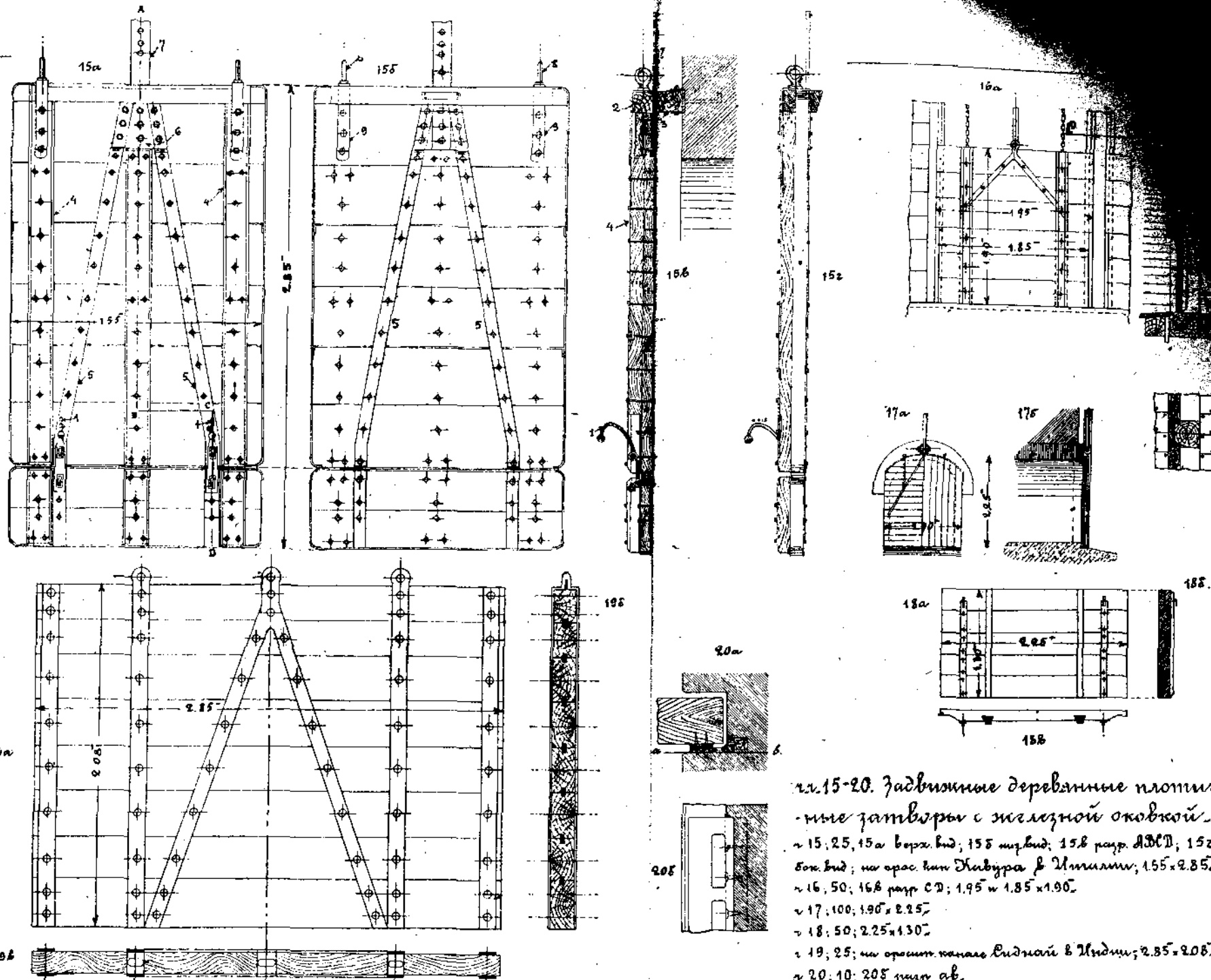
Show 2.



нр 6-14 Задвижка деревянная плоскостная
затвором с железной скобой.

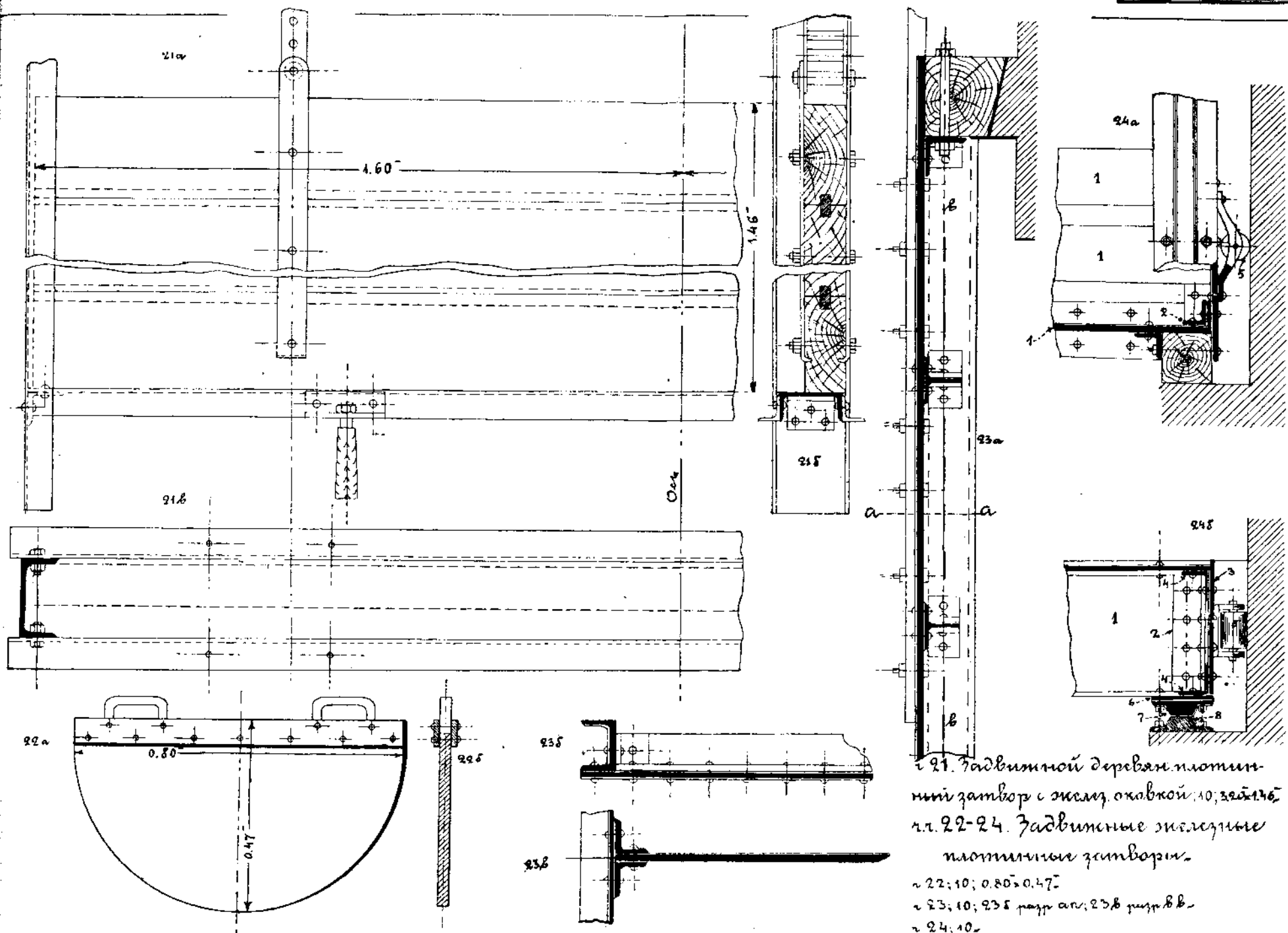
- ~ 6; 50; 1.20×4.37
 ~ 7; 25; 4.20×0.60
 ~ 8; 50; 1.28×1.85
 ~ 9; 50; 1.35×2.45
 ~ 10; 25; 1.45×2.50
 ~ 11; 50; 118 pump ab; 150×1.55
 ~ 12; 25; 1.50×2.00
 ~ 13; 25
 ~ 14; 25

В. В. Подарев. Гноминиц 22. 6-14



нр. 15-20. Задвижные деревянные плоти-
ные затворы с железной оковкой.
 ~ 15; 25; 45а ворх. вид; 15б шир. вид; 15в разр. АДСД; 15г
 бол. вид; на орос. канал Енисея в Читине; 1.55×2.85;
 ~ 16; 50; 16б разр. СД; 1.95 и 1.85×1.90;
 ~ 17; 100; 19б 2.25;
 ~ 18; 50; 2.25×1.30;
 ~ 19; 25; на орос. канал Енисея в Читине; 2.85×2.05;
 ~ 20; 10; 20б разр. об.

num 4.



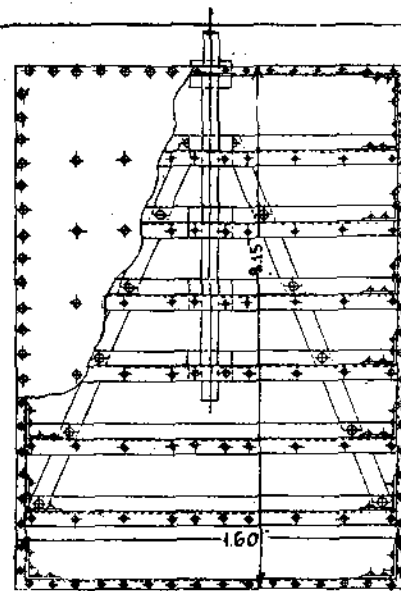
21. Гавитной деревян. пломин-
ной замков с засл. скобкой 10; зв. 146.

4.2.22-24. Задвижные и вентильные помповые установки.

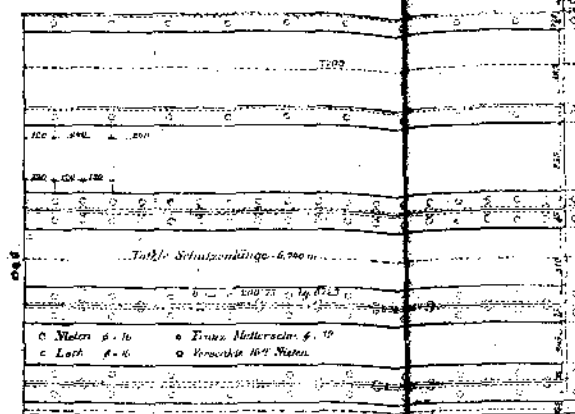
~22;10;0.80 \pm 0.47 \pm

~ 23; 10; 23.8 разр ам; 23.8 разр вк.

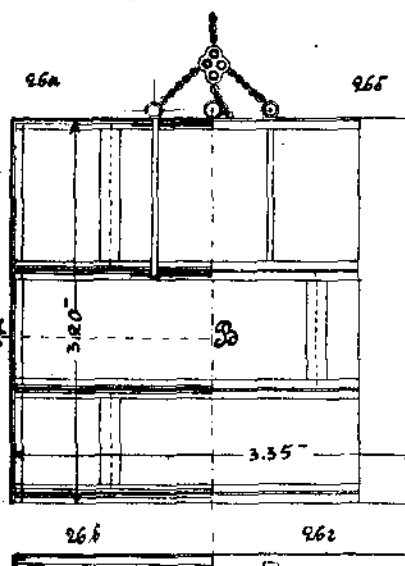
- 24, 10 -



25a



26a

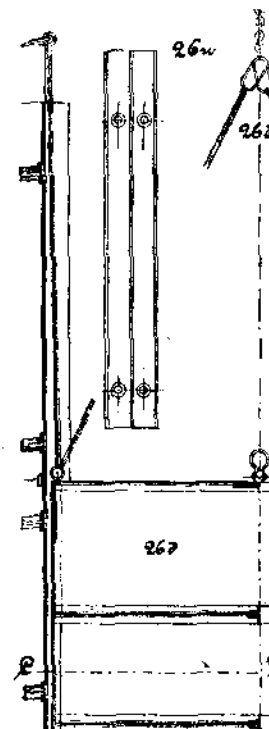


26b

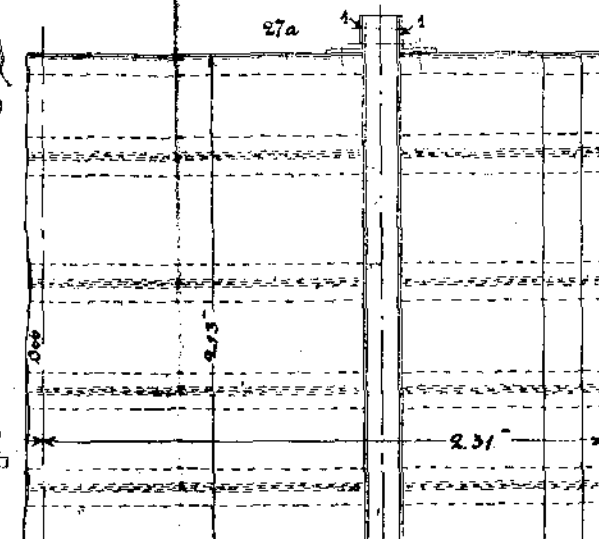
26c



26d



26e



26f

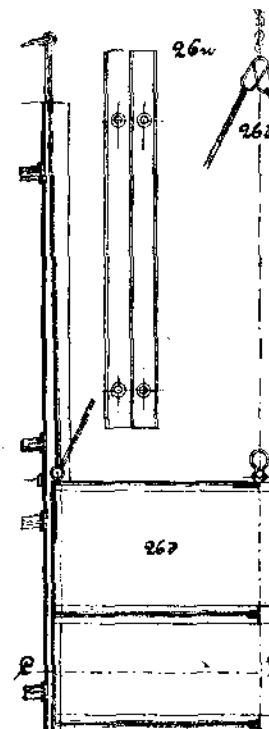


26g

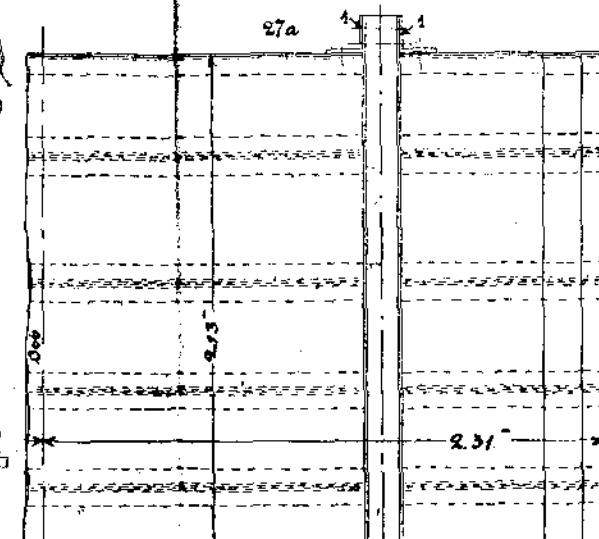


26h

26i



26j



26k



26l



26m



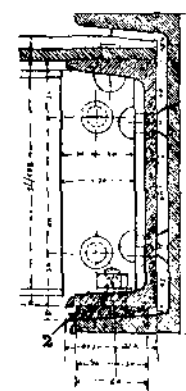
27a



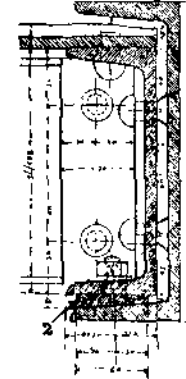
27c



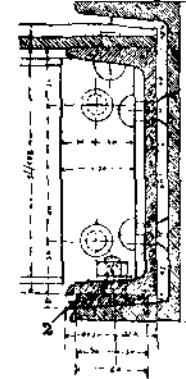
27d



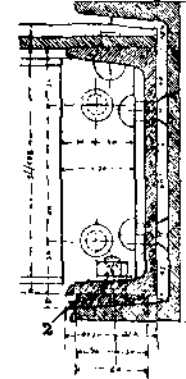
28a



28b



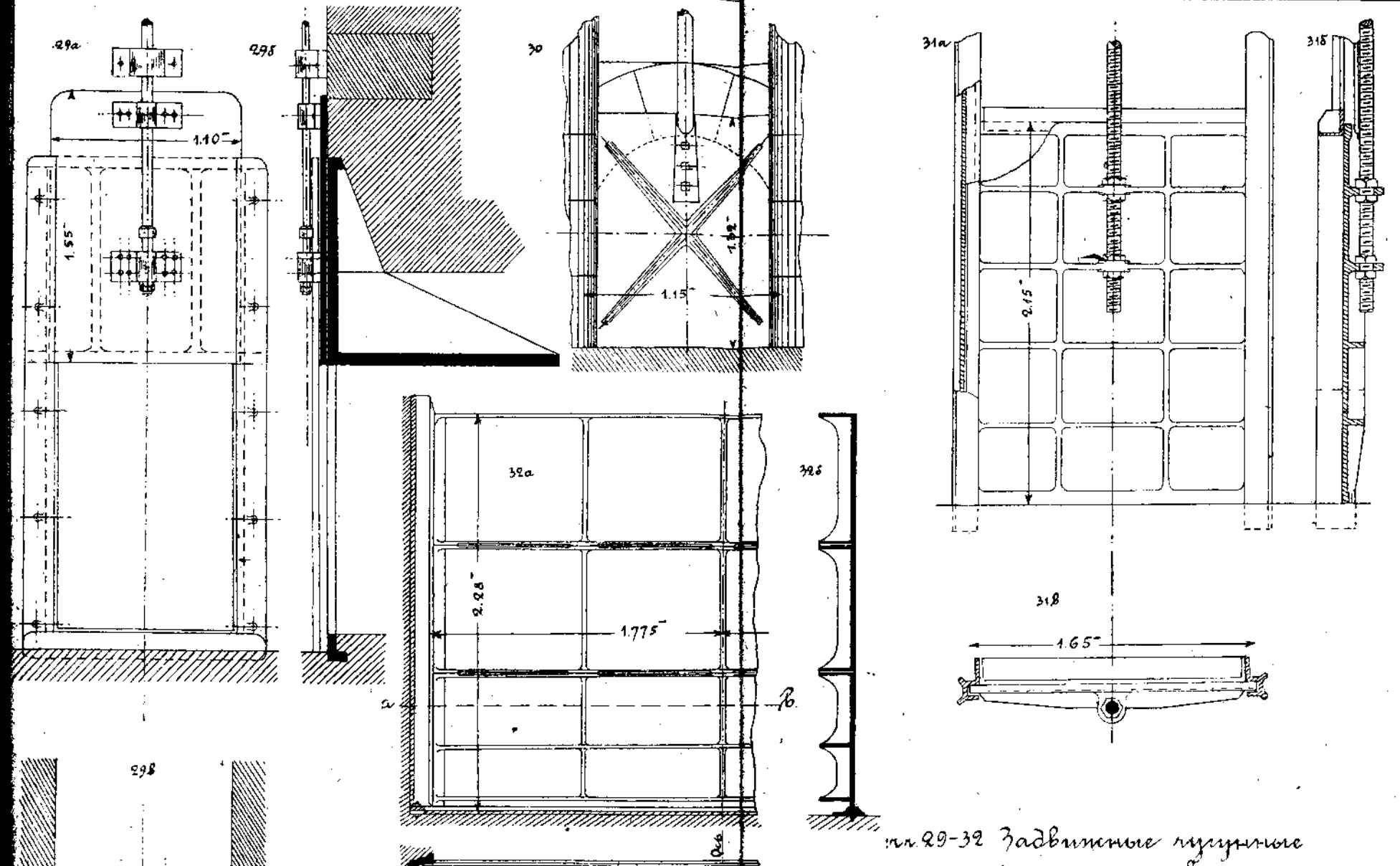
28c



28d

н. 25-28 Задвиж-
ные магистральные
поточные затворы.
н. 25, 25; 4.68 x 2.15.
н. 26; 50; 26 а-26 в верх-
няя часть затвора;
26 а верт. разр.;
26 в верт. вид;
26 в разр. в.в.;
26 в вид сверху;
26 д-26 ик нижняя часть
затвора; 26 д, верт. разр
26 в разр. в.д., 26 в вид
сверху; 26 в, верт. разр по
оси затвора;
26 в донный пазов 3.35 x 5.15
н. 27, 25; 4.68 x 2.15.
н. 28, 28 а-28 б, 25,
28 в; 5; 6.74 x 1.65.

Annex 6.



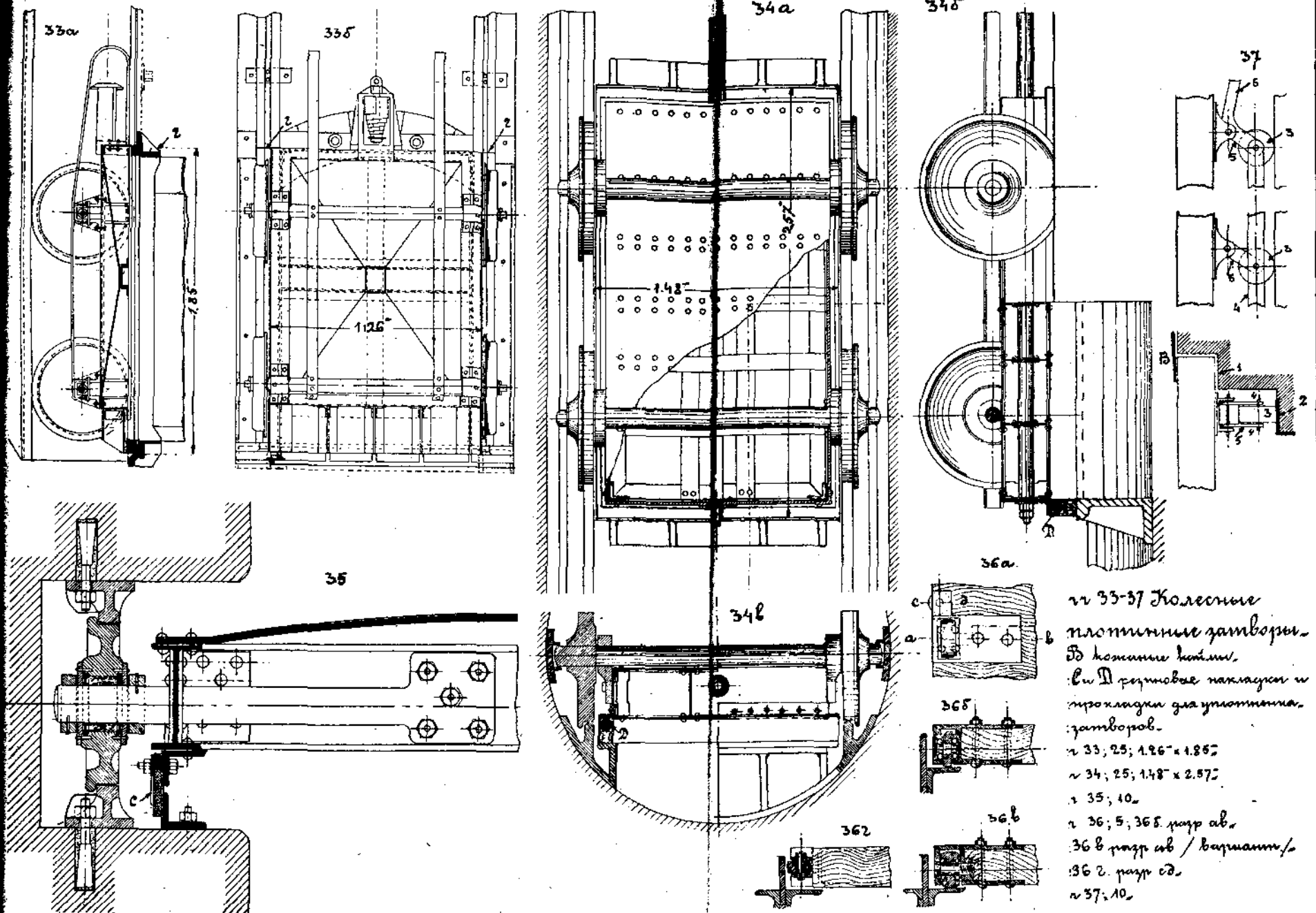
№ 29-32 Задвижные муфты
помещают гибкими.

(~99; 25; 110 x 155).

$\approx 30, 25, 1.15 \times 1.32$

~ 31 ; 25 ; 1.65 x 2.15

nr. 32; 25. 32 & pupp ab 355-228-



н 33-37 Колесные
плотинные затворы.

Боекомплект
Св. Резиновые пакеты и
прокладки для установки
затворов.

н 33; 25; 1.96" x 1.85"

н 34; 25; 1.48" x 2.57"

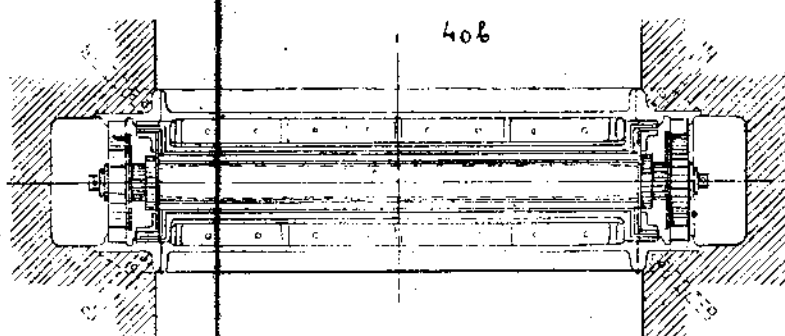
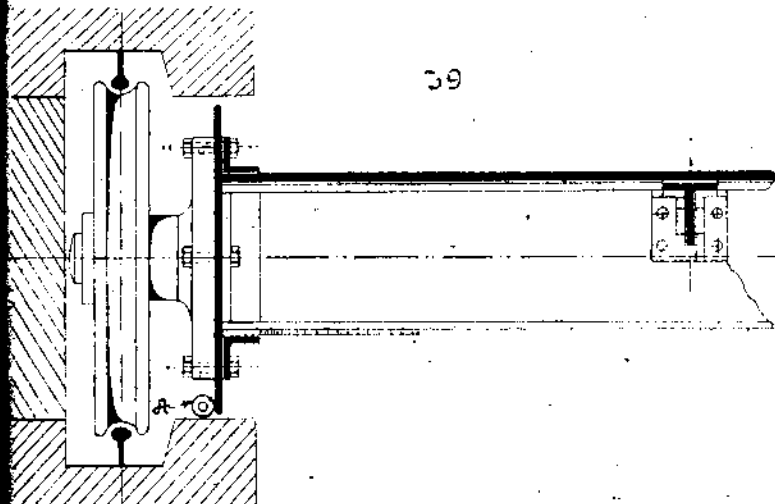
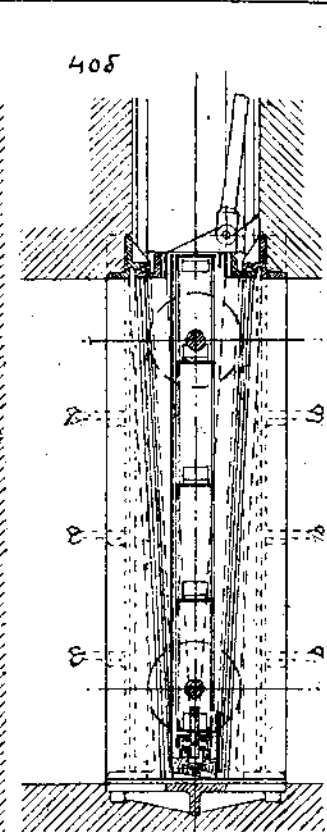
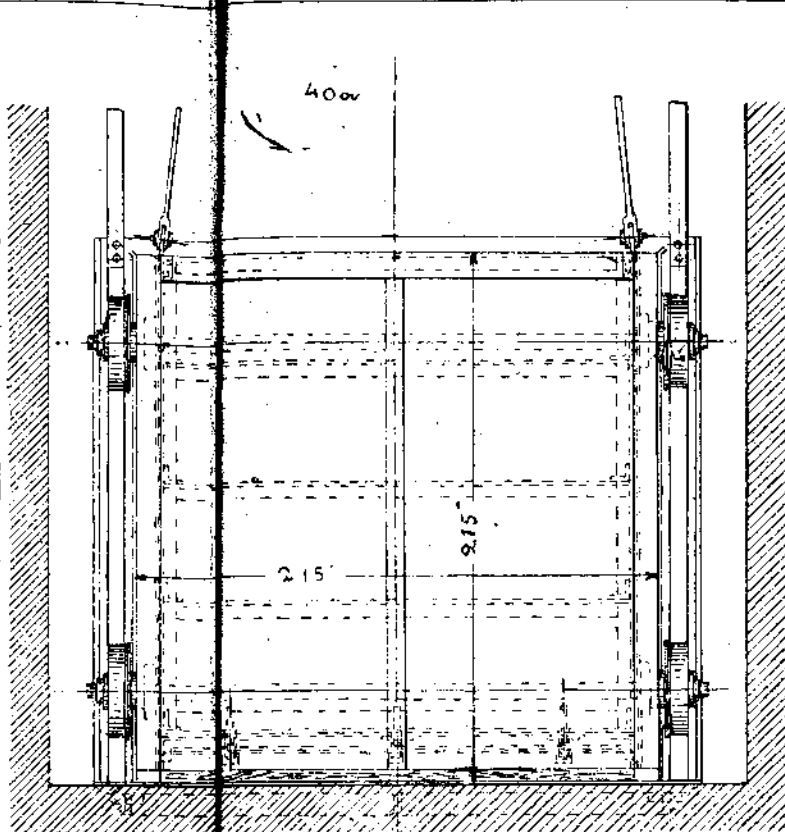
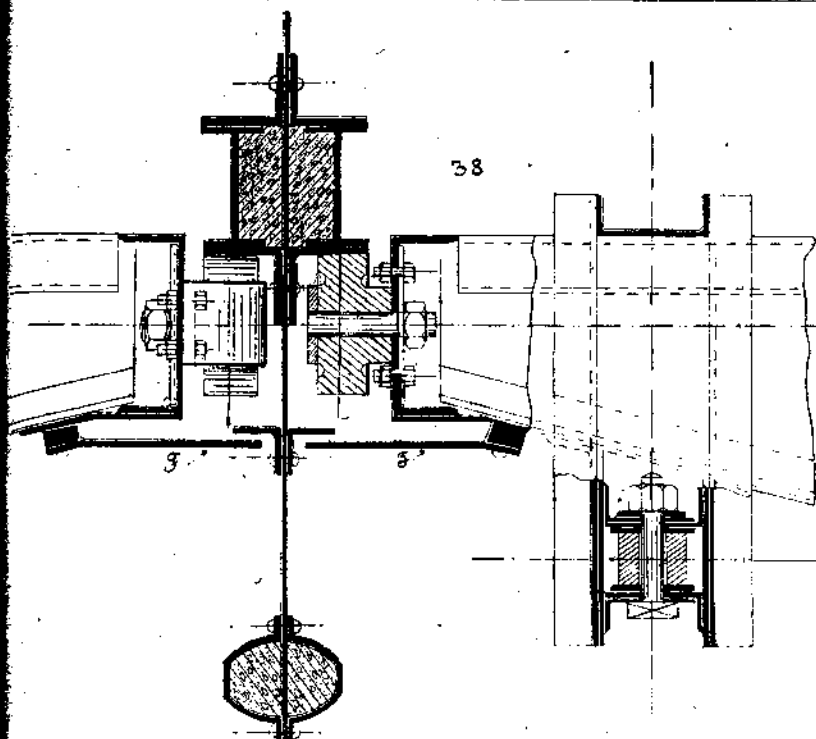
н 35; 10

н 36; 5; 36б. разр ав.

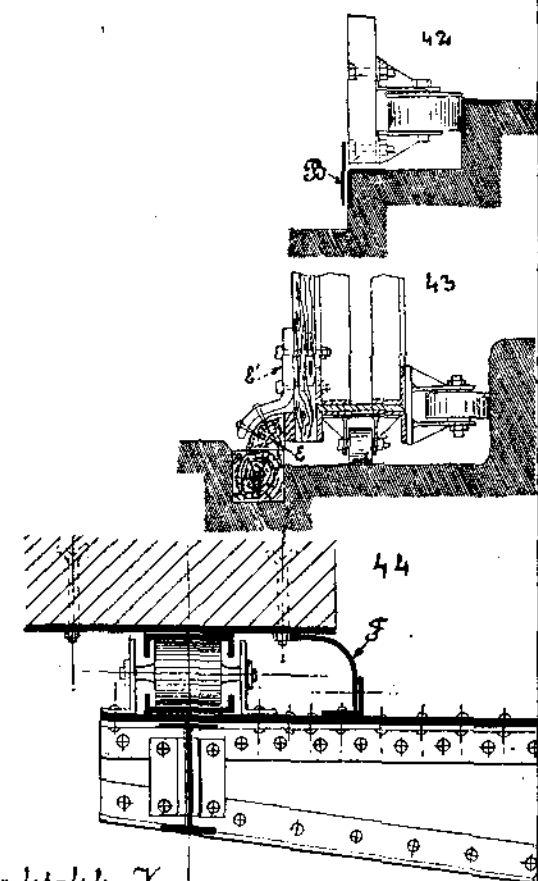
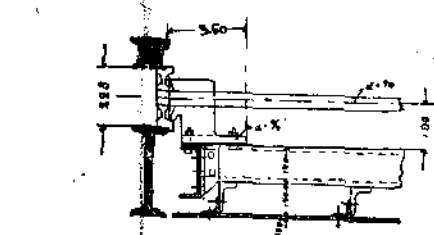
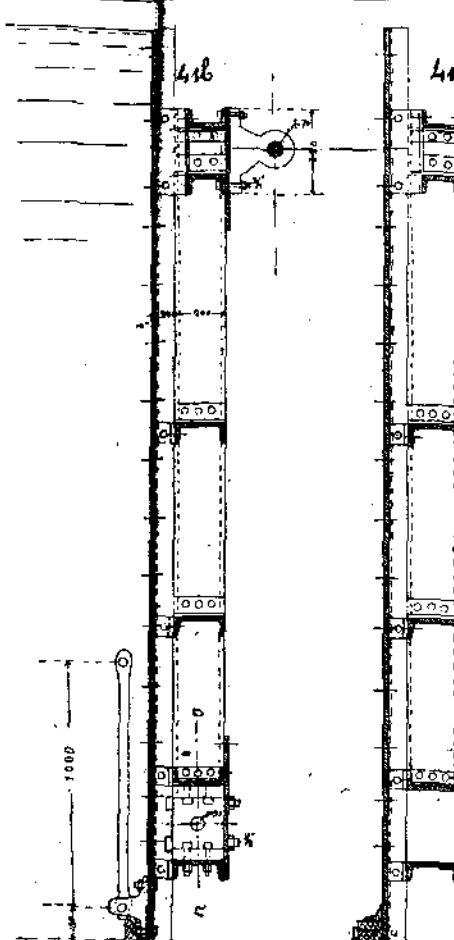
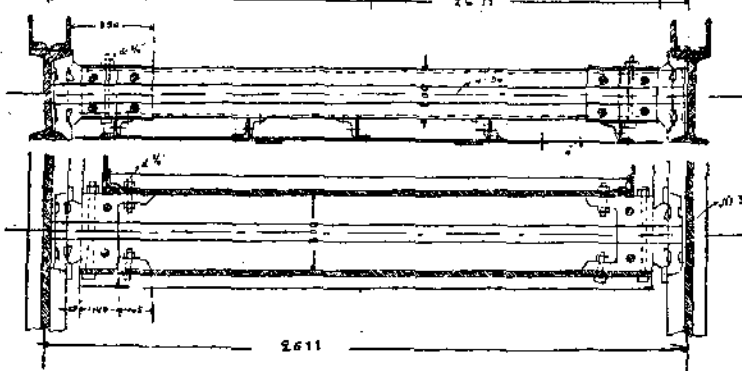
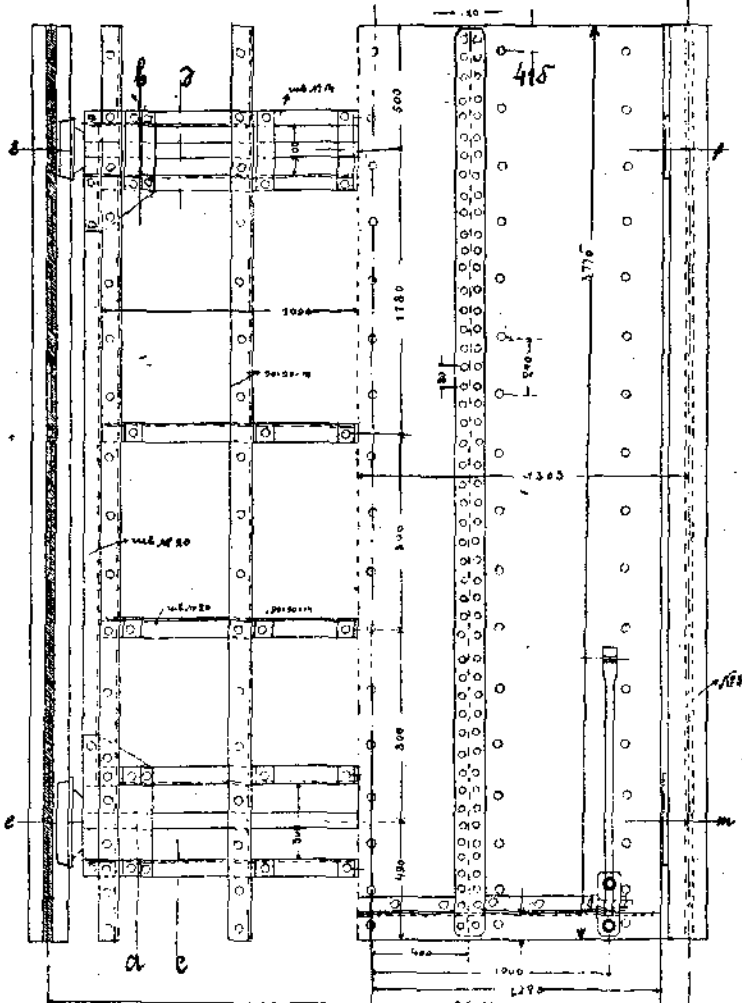
36б. разр ав / вариант /

362. разр сд.

н 37; 10



н.38-40 Жалюзийные
плотинные
затворы.
А - основные камеры.
Б - промежуточные
камеры для уменьшения
затворов.
~ 38; 10.
~ 39; 10.
~ 40; 25; 2,15 x 2,15



н 41-44 Контактные
моментные замки

В конечном итоге - это деревянные пристройки
и башни. Глинобитные пристройки пока
еще не были изобретены.

в 41, 25, 41а бор. быг без обшивки.

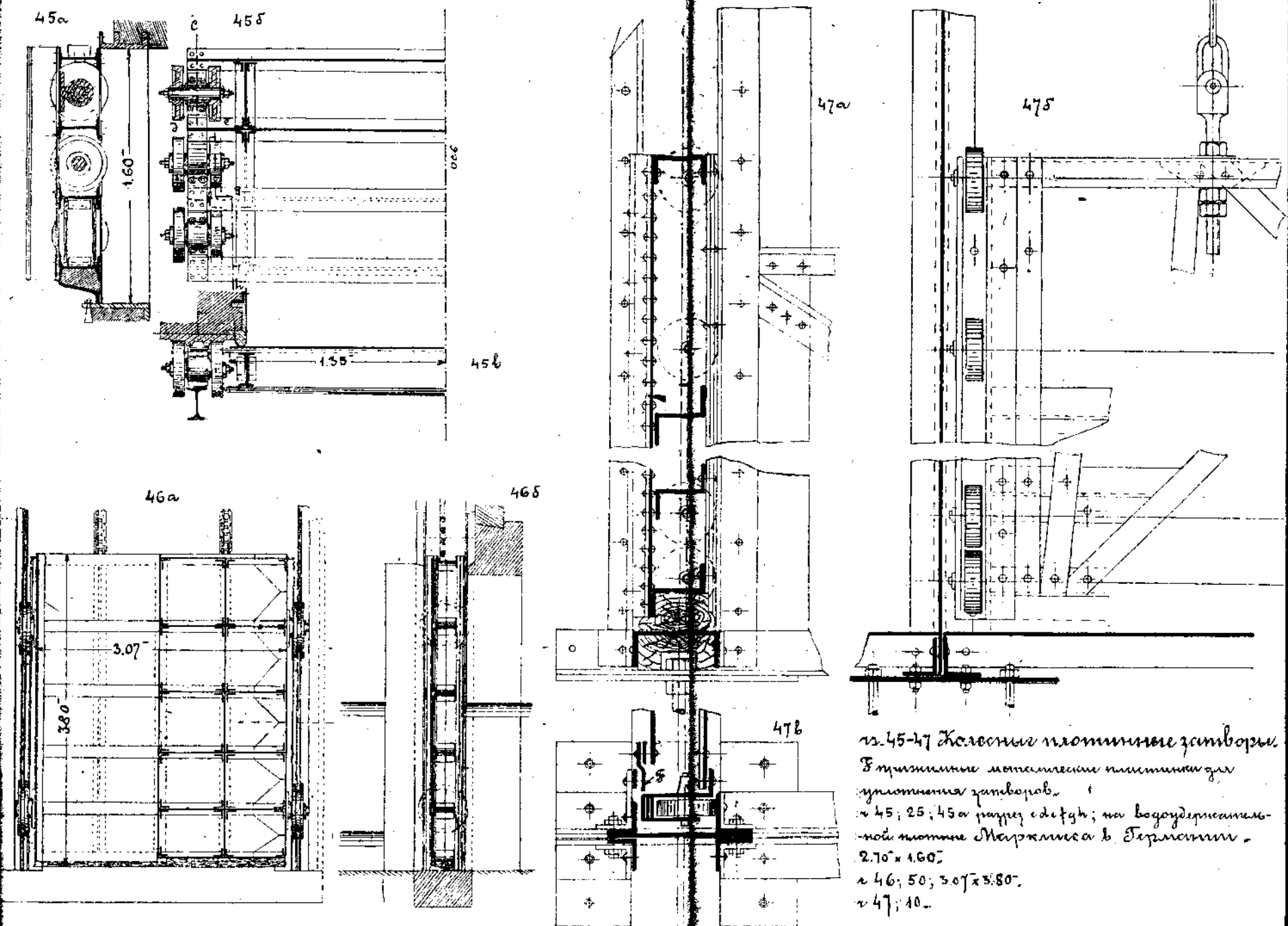
415 с обицвюю; 416 разгр ab; 412 разгр od.
413 разгр ef; 414 разгр low; 415 се разгр no.

2.45 x 3.77

v 42; 25.

~ 45; 25.

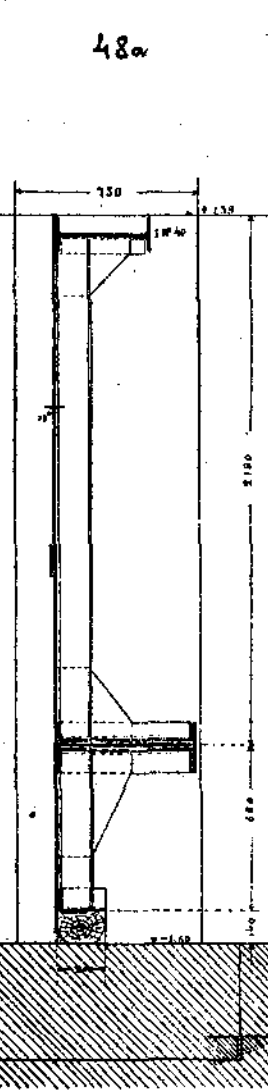
44; 10,



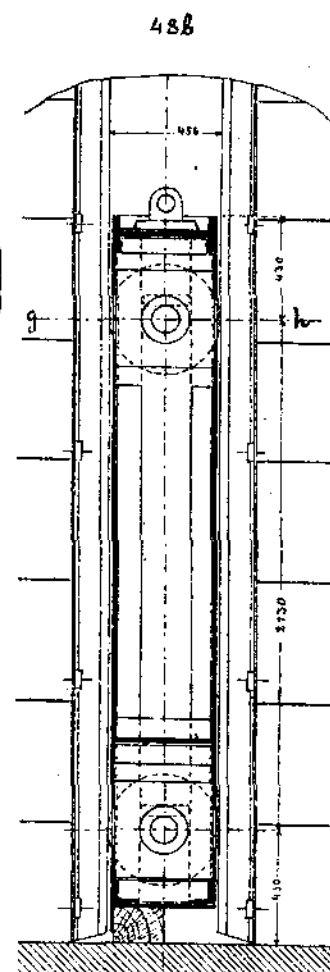
нр. 45-47 Железные плоскотные затворы.
В приведенные чертежи включены поперечные сечения
затворов.
 ~ 45; 45а разрез сдвоен; на вододержатель
ной шине Марка 100 в Германии -
 2.70×1.60 .
 ~ 46; 50; 3.07 \times 3.80.
 ~ 47; 10.

Лист 11

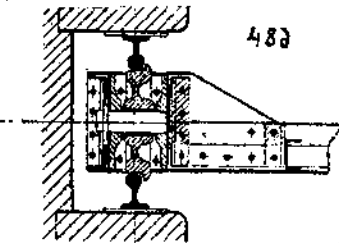
48а



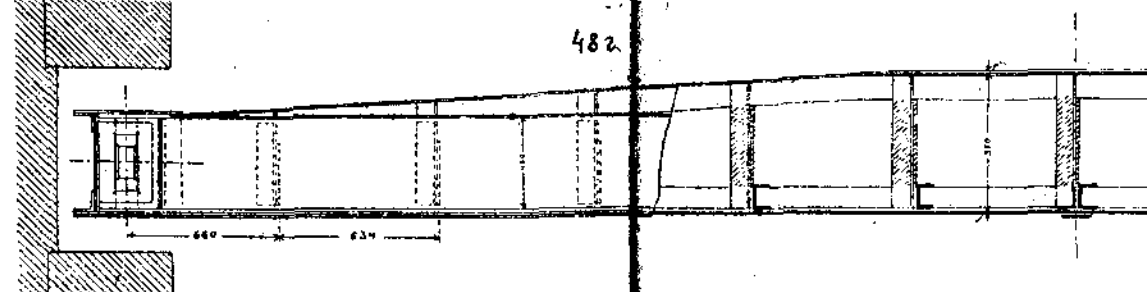
48б



48в



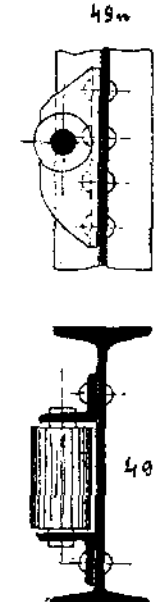
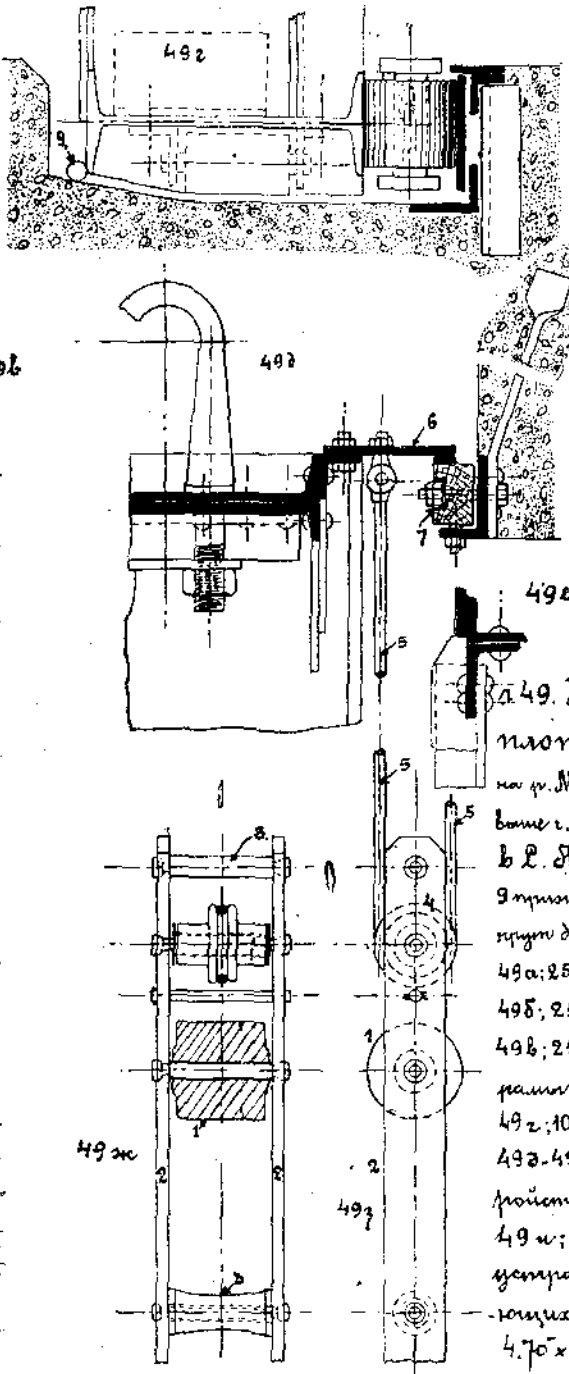
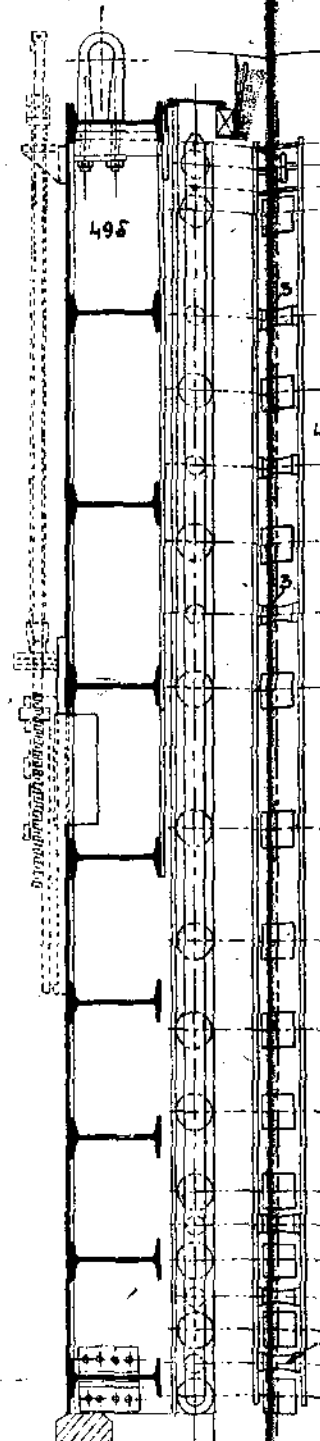
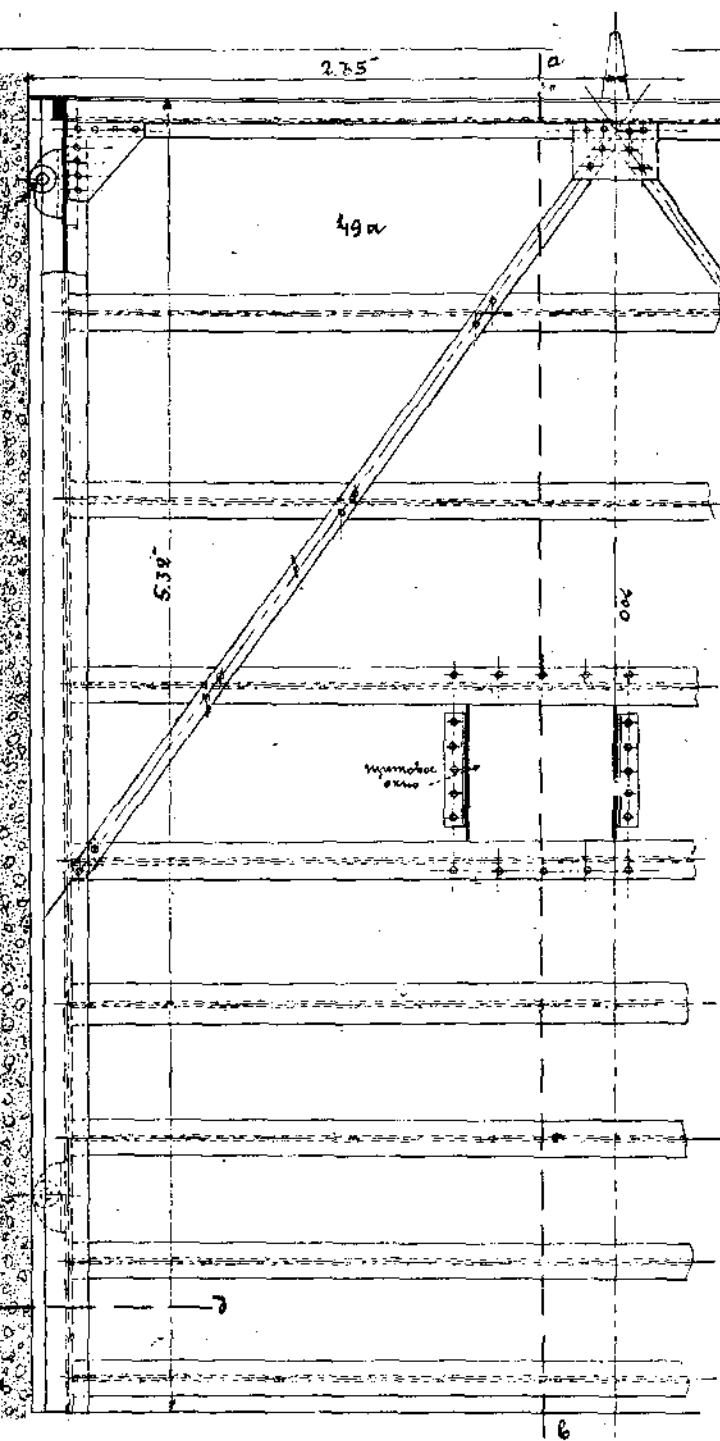
48г



В. В. Плодарев. Патент 226.48

48. Колесный затвор
в патенте Гоенгаузен
и Берлинско-Штадтскому
предприятию
в Берлине. № 25.48 в роз. ав.
48б патр. 48г патр. 48; 48д патр.
48; 8.28" x 2.09.

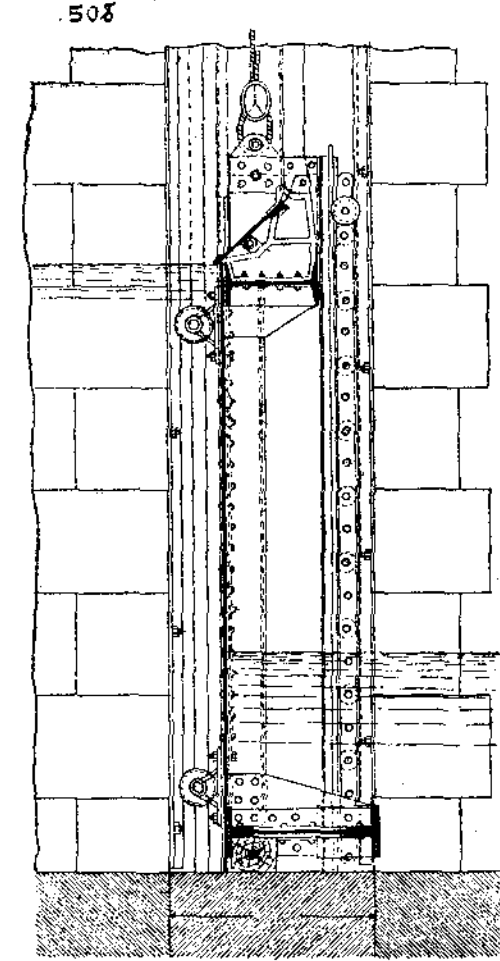
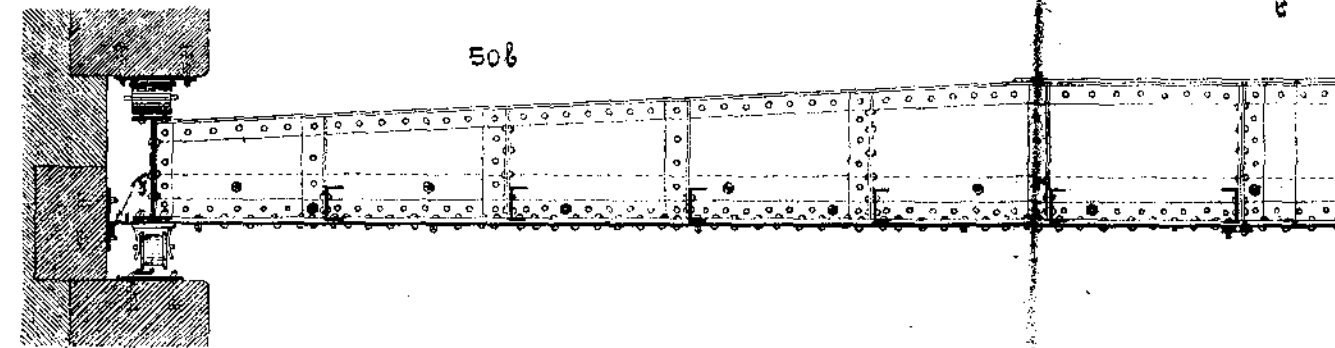
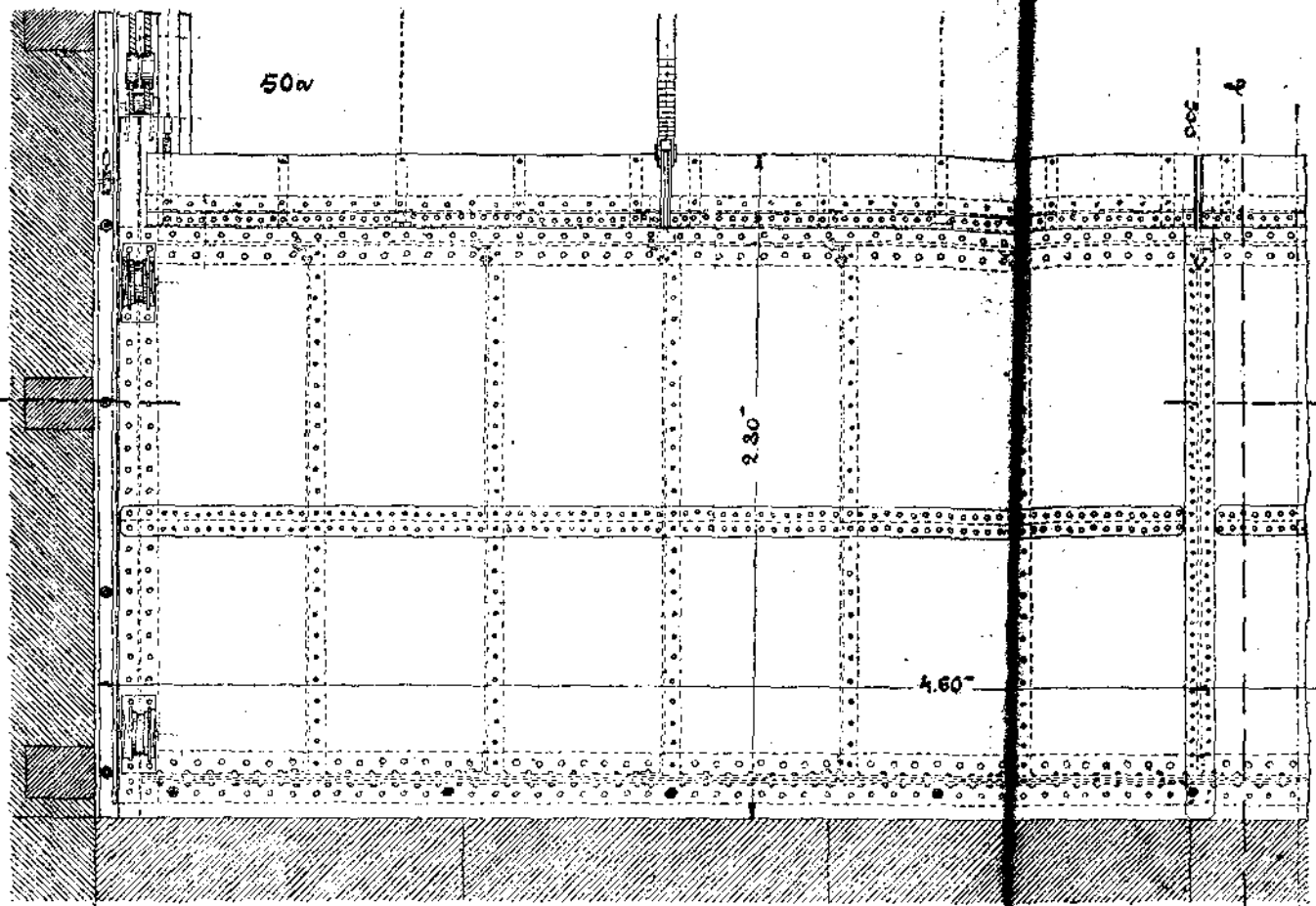
Документ 12



3149. Камковий
півотичний замок
на пр. Мисливському 8 мікр
боне с. Мисливське
в Л. Іллічівці.
9 півотичний камковий
змін для установки замка
49a; 25; змінний вуз.
495; 25; пази ab.
496; 25; низ вуз камковий
рама.
492; 10; пази cd.
493-494; 10; донни зам-
кою відповідно до замка
49a; 49k; 10; донни
замка відповідно до замка
49a; 49k; 10.

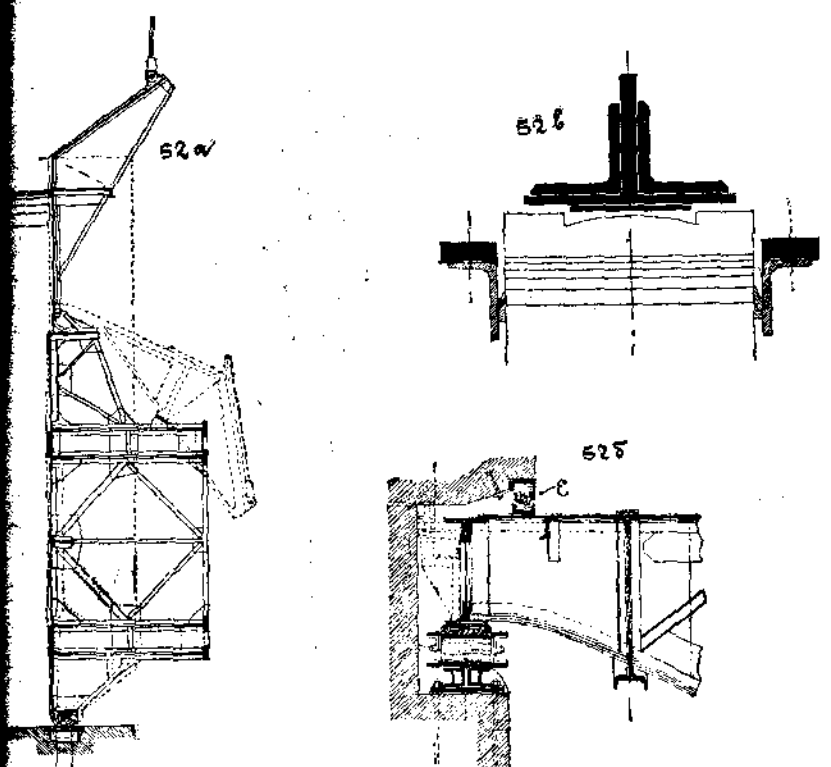
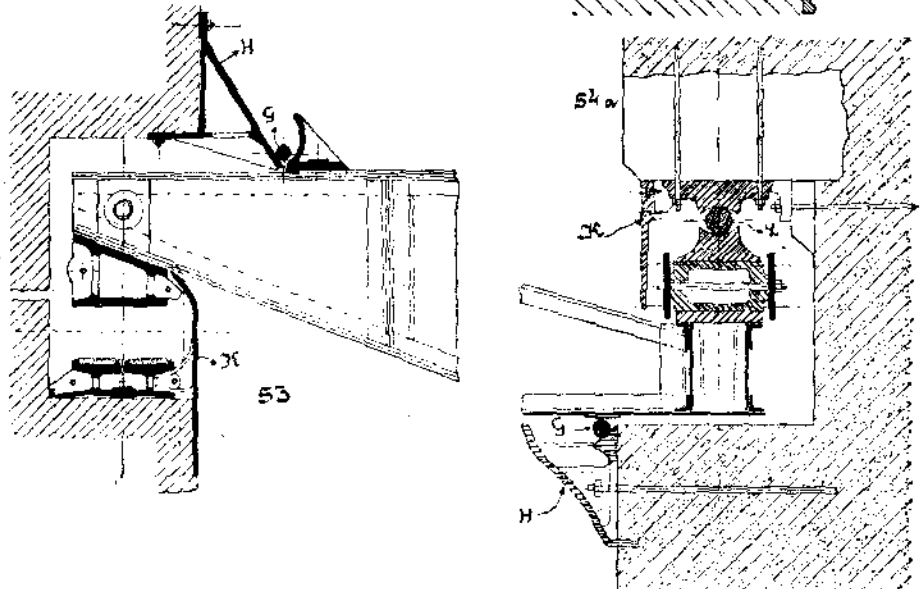
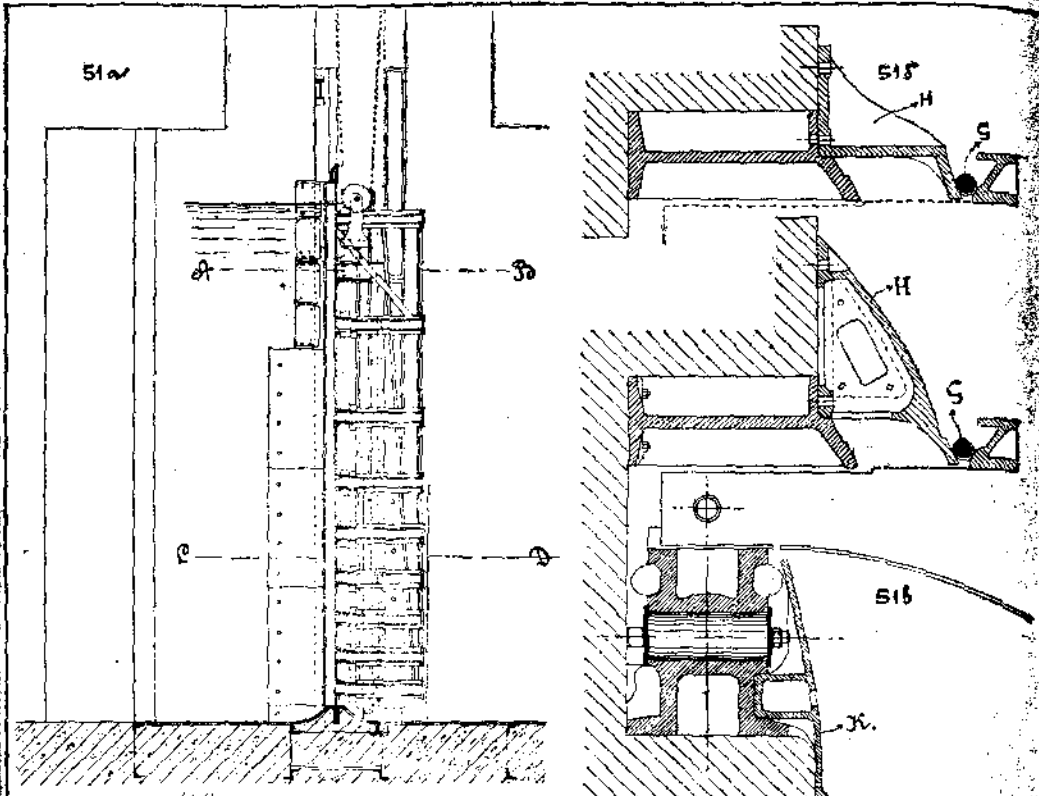
В. В. Подарев. Планшет 2.4.49

Лист 13



50; Камковый замок
в панели берёзовая на р. двери
на Дороге к сел. Зимском подъездном
пакете в Берёзовке 25.
50б разр. об; 50б разр. об.
9.80x2.80; Гравированная панельная
панелька для установки замков.

Лист 14.



nr 51-55. Ремонт устройства
кантовых плющильных замков.
С деревянные прокладки фрезами
G. шлифовальные пластины для уплотнение замков.
H. Ключ для предохранение хомутов от
ударов боли и молотов.
L. Вспомогательные наконечники для нанесения
перегородок гаечными на замки при устройстве
замков.

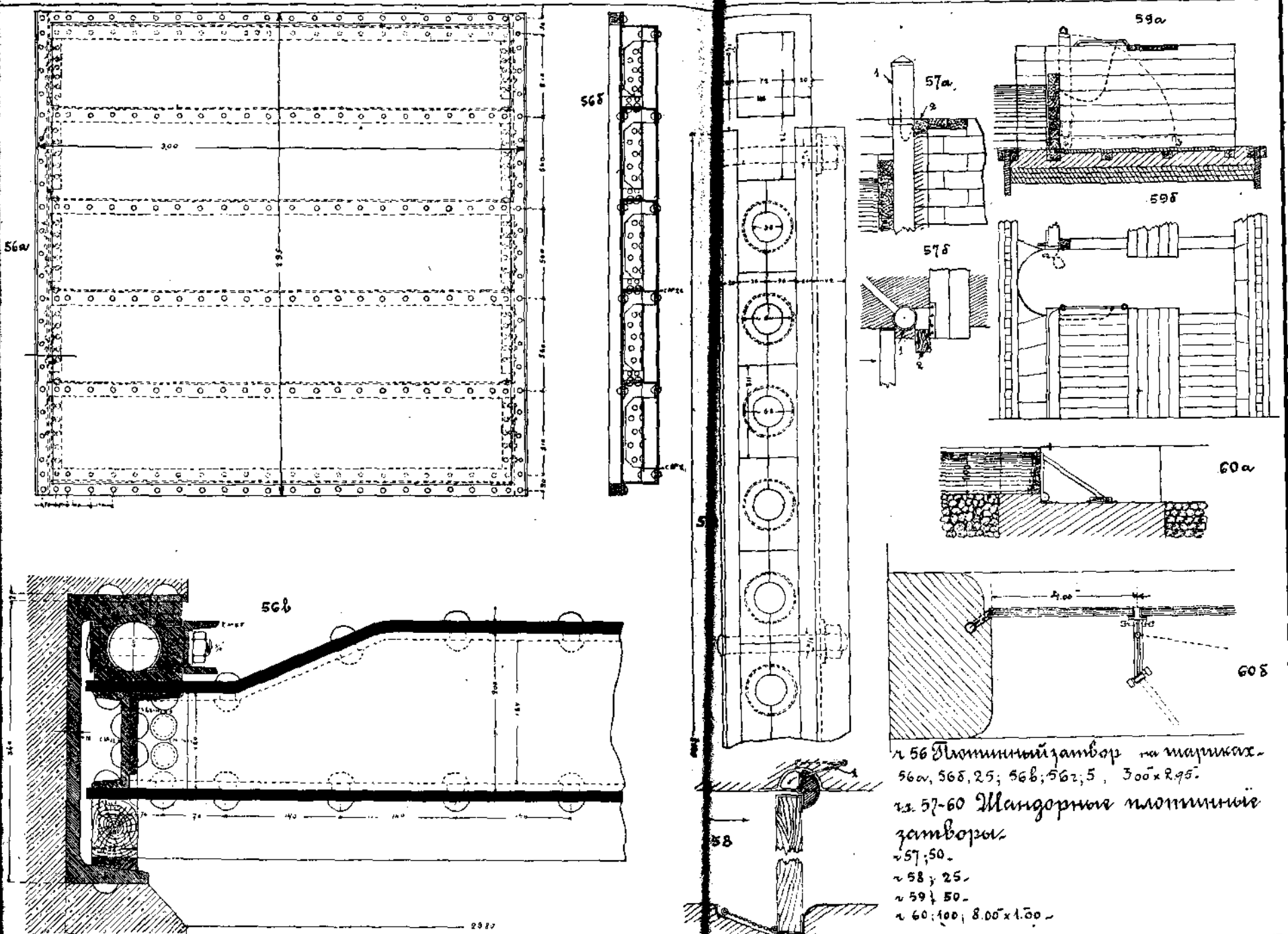
51a; 100; 51b; 25 пары дб; 51c; 25.
пары вд.

52a; 100; 52b; 50; 52c; 10.

53; 25.

54; 25. 545 бархатин 51a.

55; 10.



1. 56 Шлюзинный затвор на тариках.
56a, 56b, 25; 56b, 56c, 5, 300x295.

2. 57-60 Шлюзинные
затворы.

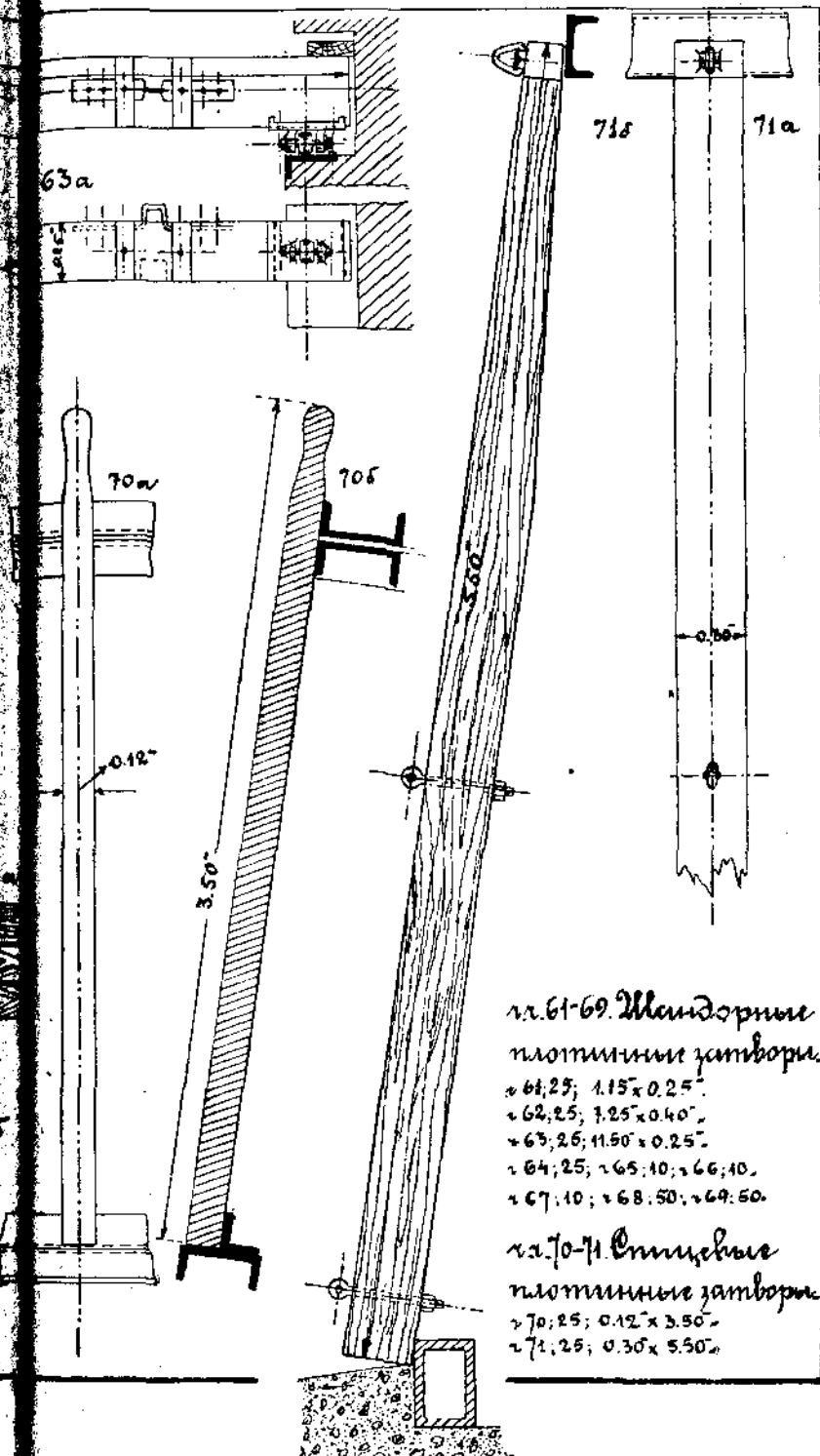
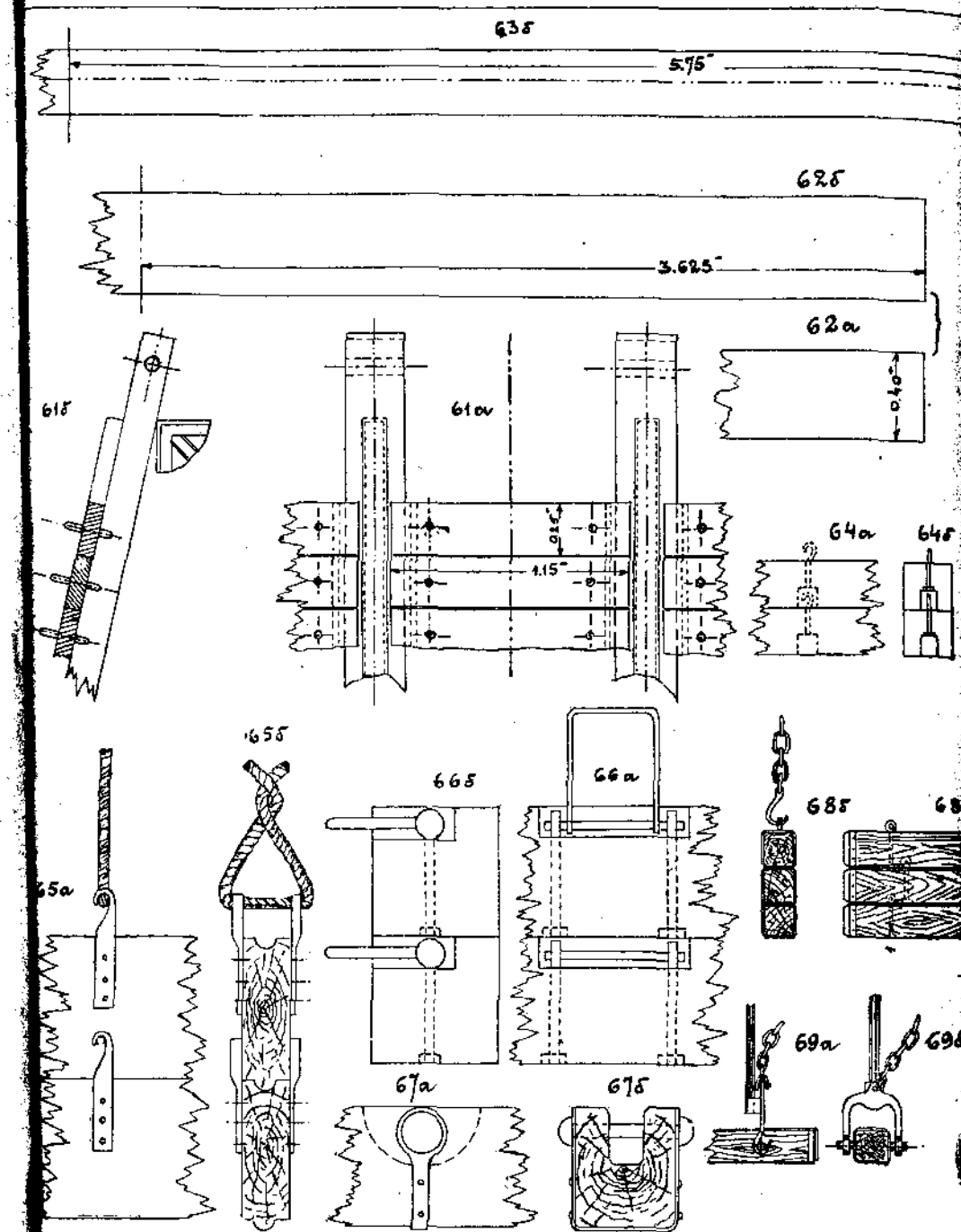
~57, 50.

~58, 25.

~59, 50.

~60, 100, 8.00x1.00.

JUN 16



нр. 61-69. Мандорные
помпонычатвори.

$\approx 64.25; 4.15 \times 0.25$

~62.25; 1.25 x 0.40~

+63; 26; 11.50 ± 0.25°.

264; 25; 265; 10; 266; 10.

~67:40; ~68:50; ~69:50.

11.10-71 Стические плющевые затворы

270; 25; 0.12 x 3.50 x

$\approx \{1.29; 0.30 \times 5.50\}$

В. В. Недорев. Письма № 61-71